

基于"解剖地震"研究中

物理模型的强震预测展望

中国地震局地震预测研究所

INSTITUTE OF EARTHQUAKE FORECASTING, CEA

邵志刚

2018 / 10 /21

介绍内容



- 1、研究背景及意义
- 2、国内外研究进展
- 3、关键科学问题及及技术路线
- 4、展望与讨论

INSTITUTE OF EARTHQUAKE FORECASTING, CEA

Earthquake Magnitudes and the Areas of Fault Rupture

The magnitude of an earthquake, M, which is a measure of
the energy released in the quake, is dependent on the area
of the fault plane that ruptures (length times depth) and the
distance the fault slips during the quake.

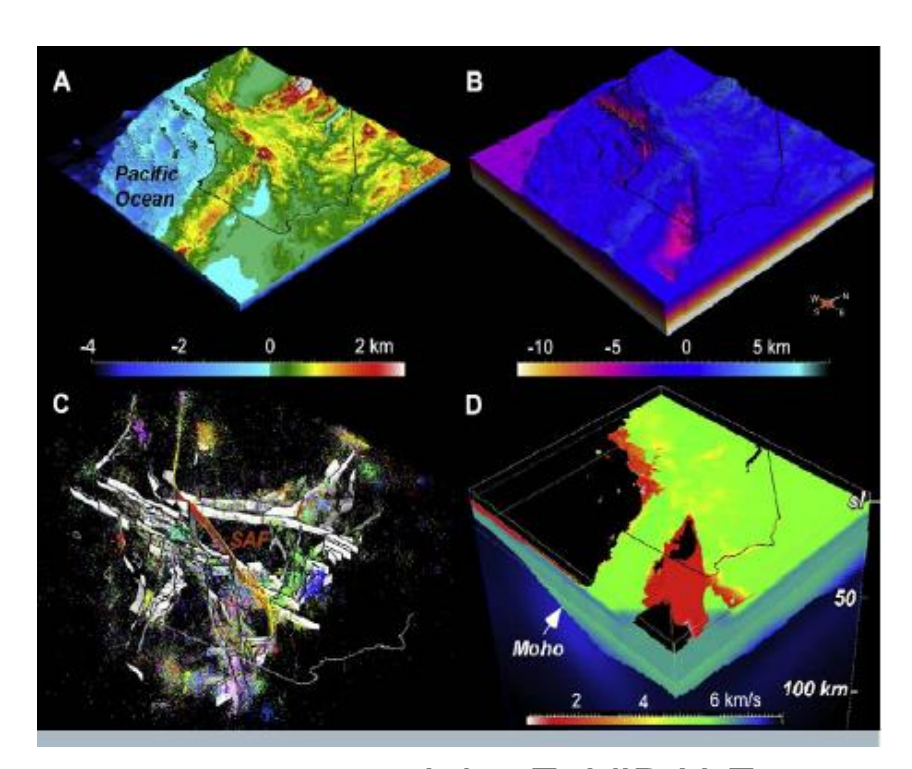
1 研究背景及意义

Geodesy

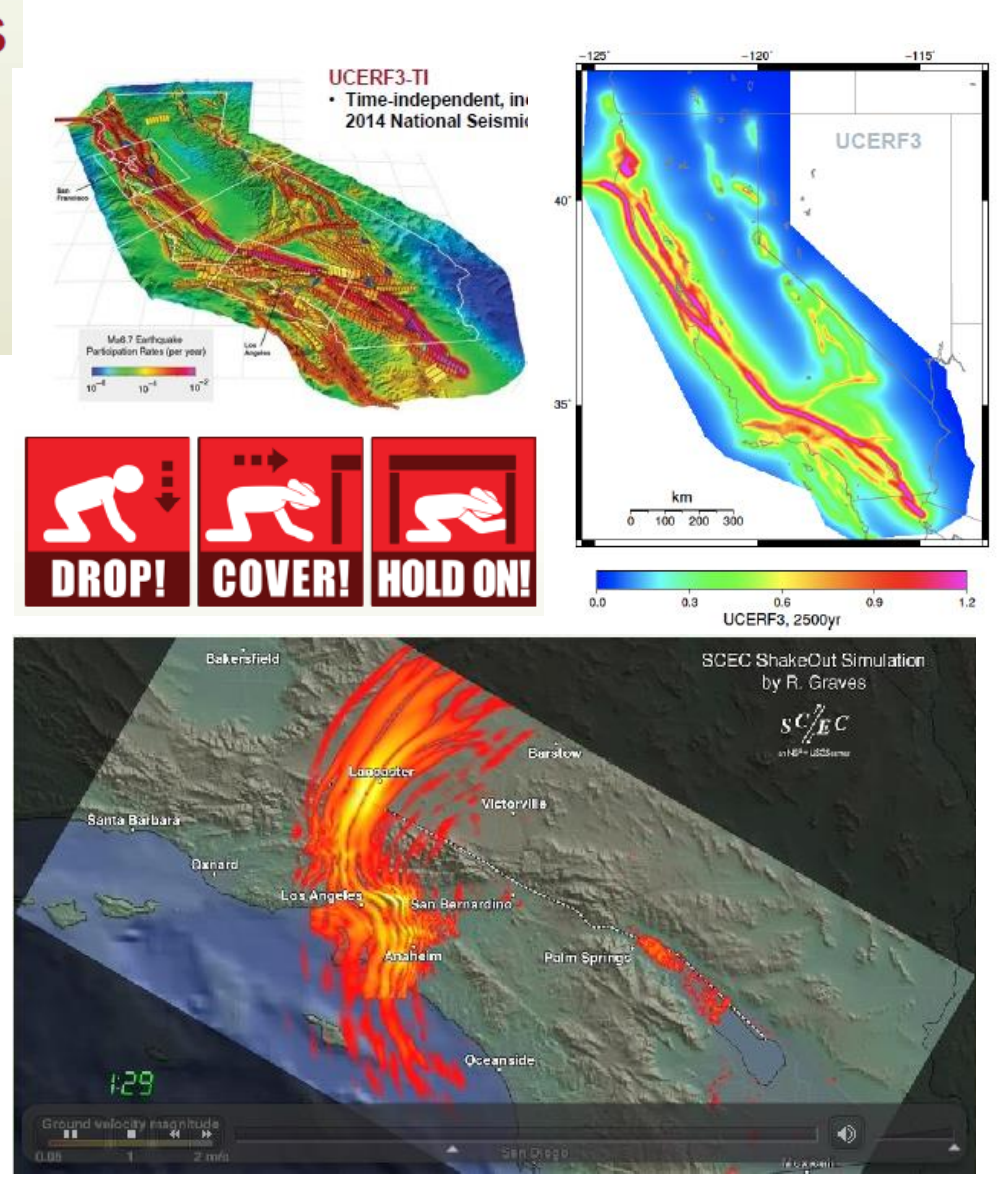
The validation of model-based predictions against data is a key SCEC activity engineering. As such, it represents the best available science with 基础研究成果应用和展示 respect to authoritative estimates of the magnitude, location, and likelihood of potentially damaging earthquakes throughout the state (further background on these models, especially with respect to ingredients, can be found in U.S. Geological Survey Fact 加州地震破裂预测 Sheet 2008-3027, http://pubs.usgs.gov/fs/2008/3027/). Figure 1. Three-dimensional perspective view of the likelihood that each region of California will experience a San Francisco **UCERF** magnitude 6.7 or larger (M≥6.7) earthquake in the 30-Year Earthquake Probability e of nd Uniform (The Composite Forecast—UCERF Rupture F Seismology Paleoseismology Geology Trenching across the Hayward Fault in Fremont

7.5

Basic science of earthquakes Earthquake forecasting Hazard estimation Public education



John E. VIDALE, 2018





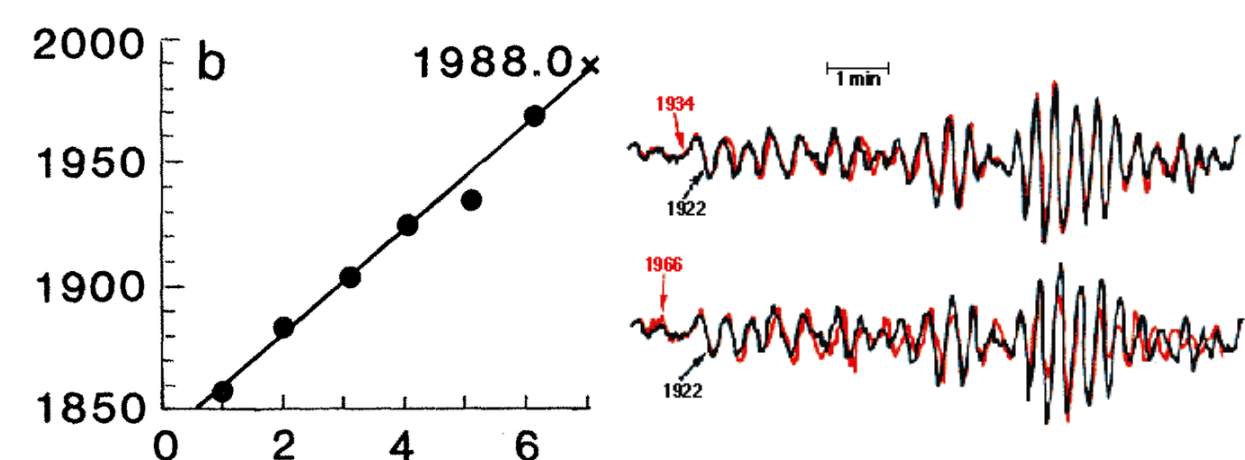
Southern California Earthquake Center

Studying earthquakes and their effects in California and beyond

一方面,经过30多年的发展,板块构造演化深入研究、断层模型已被广泛接受、 计算技术的快速发展,地震科学取得跨越式发展;另一方面,社会对减轻地震灾害的需求逐渐增加。

建立一个有效的框架来整合 (integrate) 某个区域内所有地震相关的科学信息以 达成科技界共识,然后在这个区域内推向公众。





INSTITUTE OF EARTHQUAKE FORECASTING, CEA

• His original Master Model goal remains inspiring: "to develop a model of the Earth's lithosphere in which we predict the occurrence of earthquakes on the basis of the space-time distribution of tectonic stress calculated using various geophysical observables, as the atmospheric scientists forecast weather by computer on the basis of observed pressure, temperature, wind speed."



Effect of local site conditions on ground motion

seismologists



engineers

Transportability of the Master Model Concept to Other Regions

Balance Synthesis Consensus



INSTITUTE OF EARTHQUAKE FORECASTING, CEA

From Master Model to the Physics of Earthquakes

Earthquake System Science:

- (a) the dynamics of fault systems
- (b) the dynamics of fault rupture
- (c) the dynamics of ground motions

断裂系统的动力学过程:在小时到世纪的时间尺

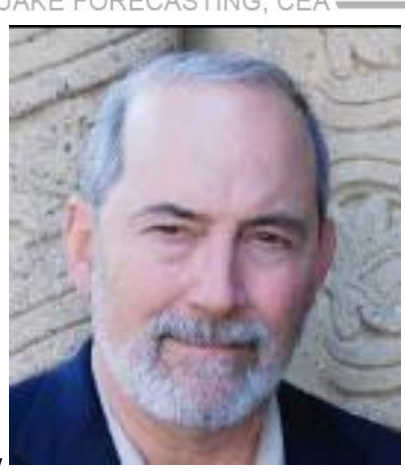
度,断裂系统内如何演化出一系列地震活动?

断层破裂的动力学过程:在秒到分钟的时间尺度,

断层是如何破裂最终导致一次地震事件?

地面运动的动力学过程:从断层破裂到地表晃动

的过程中, 地震波是如何传播的?



Two Approaches to Earthquake Prediction





Probabilistic Earthquake Forecasting "Silver-Bullet Approach"

Deterministic Earthquake Prediction "Brick-by-Brick Approach"

Collaboratory for the Study of Earthquake Predictability



SCEC's long-range science vision

Earthquake System Science:

- (a) the dynamics of fault systems
- (b) the dynamics of fault rupture
- (c) the dynamics of ground motions



Director of the Southern California...

SCEC5's core program is to provide new concepts that can improve

- (a) the predictability of the earthquake system models
- (b) new data for testing the models
- (c)a better understanding of model uncertainties







我有一个梦想



实现这个梦想要靠科学



科学应该去伪存真





INSTITUTE OF EARTHQUAKE FORECASTING, CEA

基础模型完善

地震系统科学: 断层系统动力学 断层破裂动力学 地表响应动力学

基于CVM实 现真实震源 物理的强地 面运动数值 模拟

 $M_{\rm W}$ 6.0 Parkfiled 2004

"传统煎港"

无意識的

SCEC3 发展

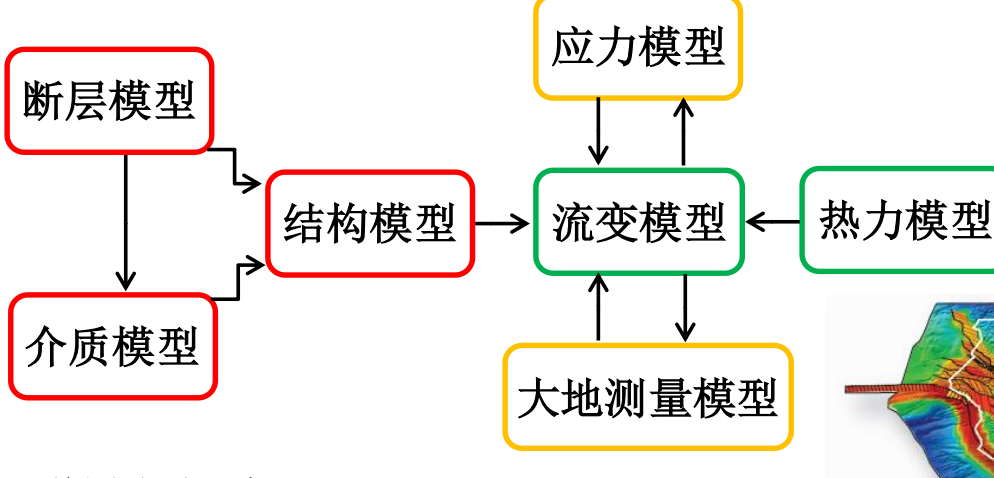
主体模型 (Master Model) 大地测量 观测的概 地震学 率预测 地震地质 场地效应 SCEC2

SCEC1 探索 $M_{\rm W}$ 7.于 Landers 1992 $M_{\rm W}$ 6.7 Northridge 1994 $M_{\rm W}$ 7.1 Hector Mine 1999 基于物理模型的强震概率于强型和强型和强型和强性的强力。 基于强地 型动算法验证 SCEC4

研究基于震源物理模型 的强地面高 频运动

完善

板块边缘的美国加州震源物理模型



美国地质调查局 美国南加州地震中心(2017)

美国加州地震预测

engineering. As such, it represents the best available science with respect to authoritative estimates of the magnitude, location, and likelihood of potentially damaging earthquakes throughout the state (further background on these models, especially with respect to ingredients, can be found in U.S. Geological Survey Fact Sheet 2008–3027, http://pubs.usgs.gov/fs/2008/3027/).

Figure 1. Three-dimensional perspective view of the likelihood that each region of California will experience a magnitude 6.7 or larger (M≥6.7) earthquake in the next 30 years (6.7 matches the magnitude of the 1994 Northridge earthquake, and 30 years is the typical duration of a homeowner mortgage).

Uniform California Earthquake Rupture Forecast (Version 3) (UCERF3)

1/100

1/1000

(percent)

Faults are shown by the rectangles outlined in black. The entire colored area represents greater

California, and the white line across the middle defines northern versus southern California. Results
do not include earthquakes on the Cascadia Subduction Zone, a 750-mile offshore fault that extends
about 150 miles into California from Oregon and Washington to the north.

30-year M≥6.7 likelihood

San Francisco



地震预报的难点

同时预测地震"时、空、强"三要素

地震预报的"亚"问题

仅同时预测"三要素"中的两个; 难度大大降低; 有助于防震减灾





近年来显著地震事件震前相关研究进展调研

智利中部终于发生大地震

早在10多年前就知道智利中部会发生地震,终于在2010年2月27日在强闭锁断层段发生了预期地震

Madariaga R et al., Science, 2010

Central Chile Finally Breaks

Raul Madariaga¹, Marianne Métois¹, Christophe Vigny¹, Jaime Campos²

It has been known for 10 years that the site of the Maule mega-earthquake of 27 February 2010 was fully locked and ready to break.

最大限度地利用地震研究 更好地利用已有的技术手段来改进地 震预报研究

Kanamori H., Nature, 2012

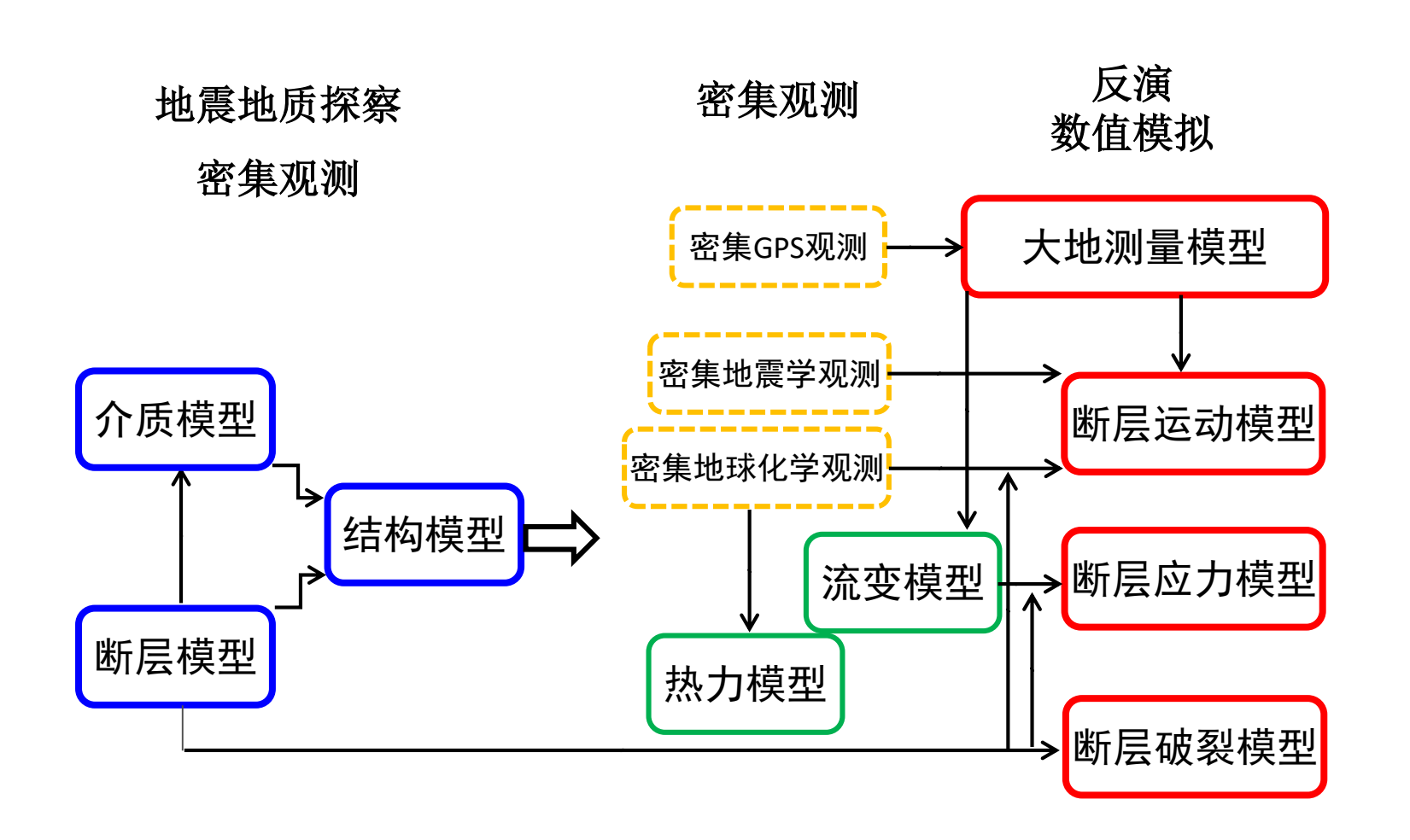
Putting seismic research to most effective use

"Forecasters
could improve
warnings simply
by using existing
technology
better."



近年来几次显著地震事件震前相关物理现象统计表

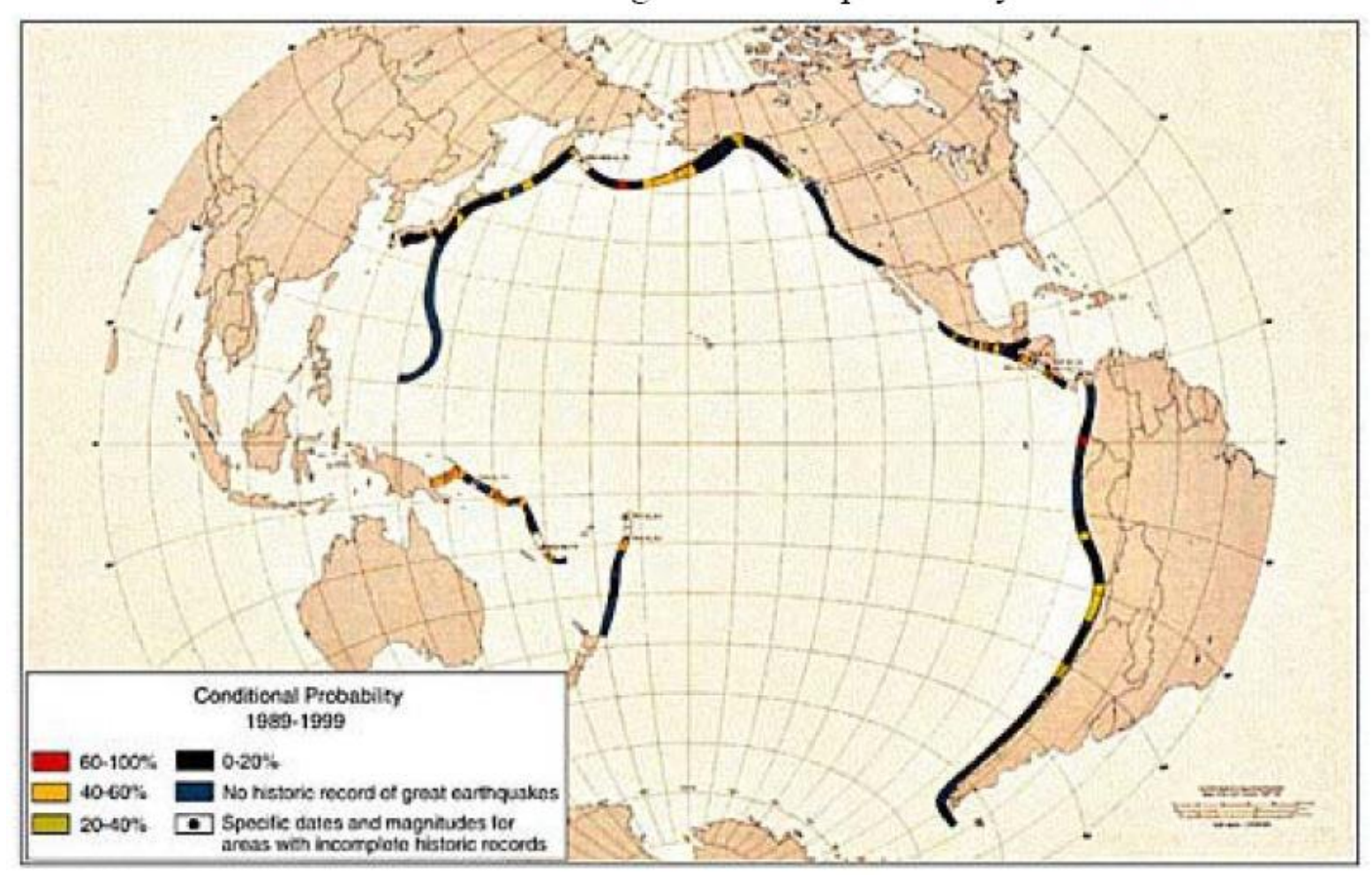
	地震地质	断层运动	断层应力	震源异常
2015年尼泊 尔8.1级地震	历史地震-强震破裂空段	GPS-断层闭锁	b值-应力累积水平较高	地震围空
2014年智利 8.1级地震	历史地震-强震破裂空段	GPS-断层闭锁	b值-应力显著增强	前震
2011年日本 9.0级地震	历史地震-强震破裂空段 历史地震-发震概率	GPS-断层闭锁,扰动	b值、p值-应力显著增强	前震,无震滑移,低频地震
2010年智利 8.8级地震	历史地震-强震破裂空段	GPS-断层闭锁		波速异常-流体活动?
2010年海地 7.3级地震	历史地震-强震破裂空段	GPS-断层闭锁	库仑应力-累积水平较高	
2004年苏门 答腊9级地震	历史地震-强震破裂空段		库仑应力-累积水平较高	
1999年土耳 其7.8级地震	历史地震-强震破裂空段		库仑应力-累积水平较高	
•••••				



震源物理模型

强震破裂空段

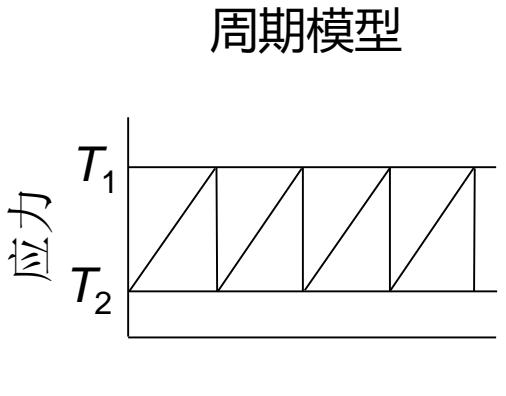
Nishenko's Circum-Pacific Seismic Gap Model, 1991 Tables included characteristic magnitudes and probability estimates.

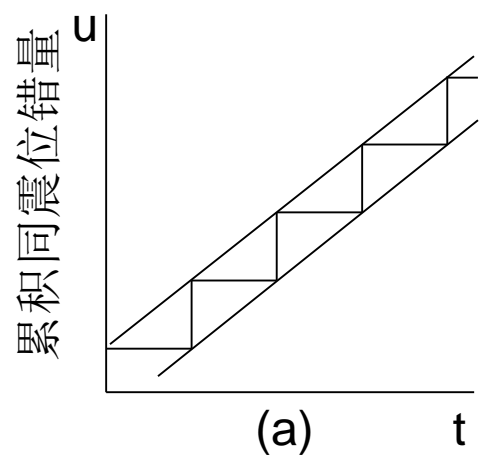




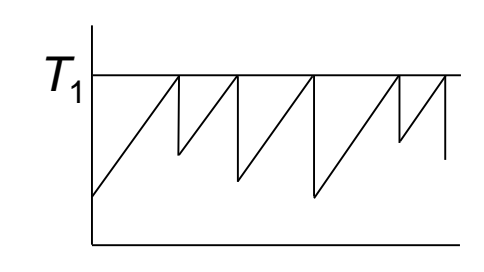
INSTITUTE OF EARTHQUAKE FORECASTING, CEA

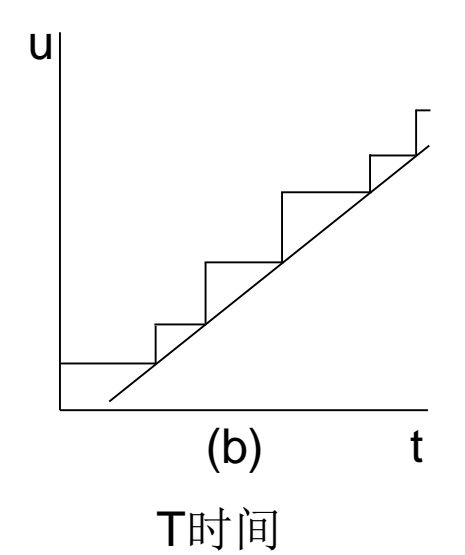
地震预测模型



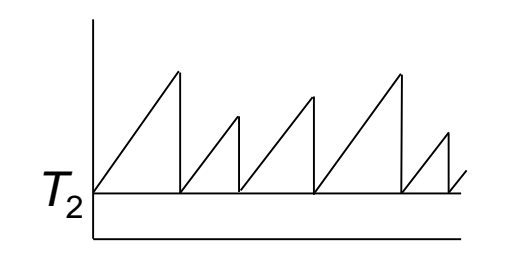


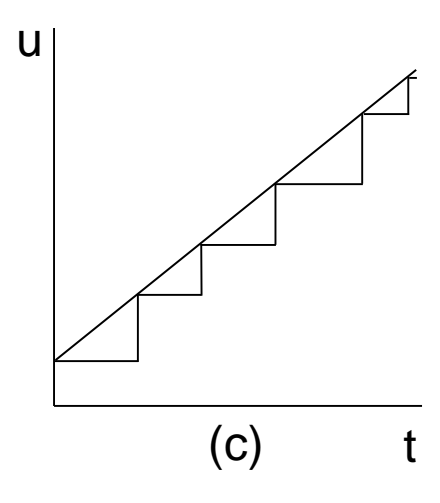
时间可预测模型





震级可预测模型



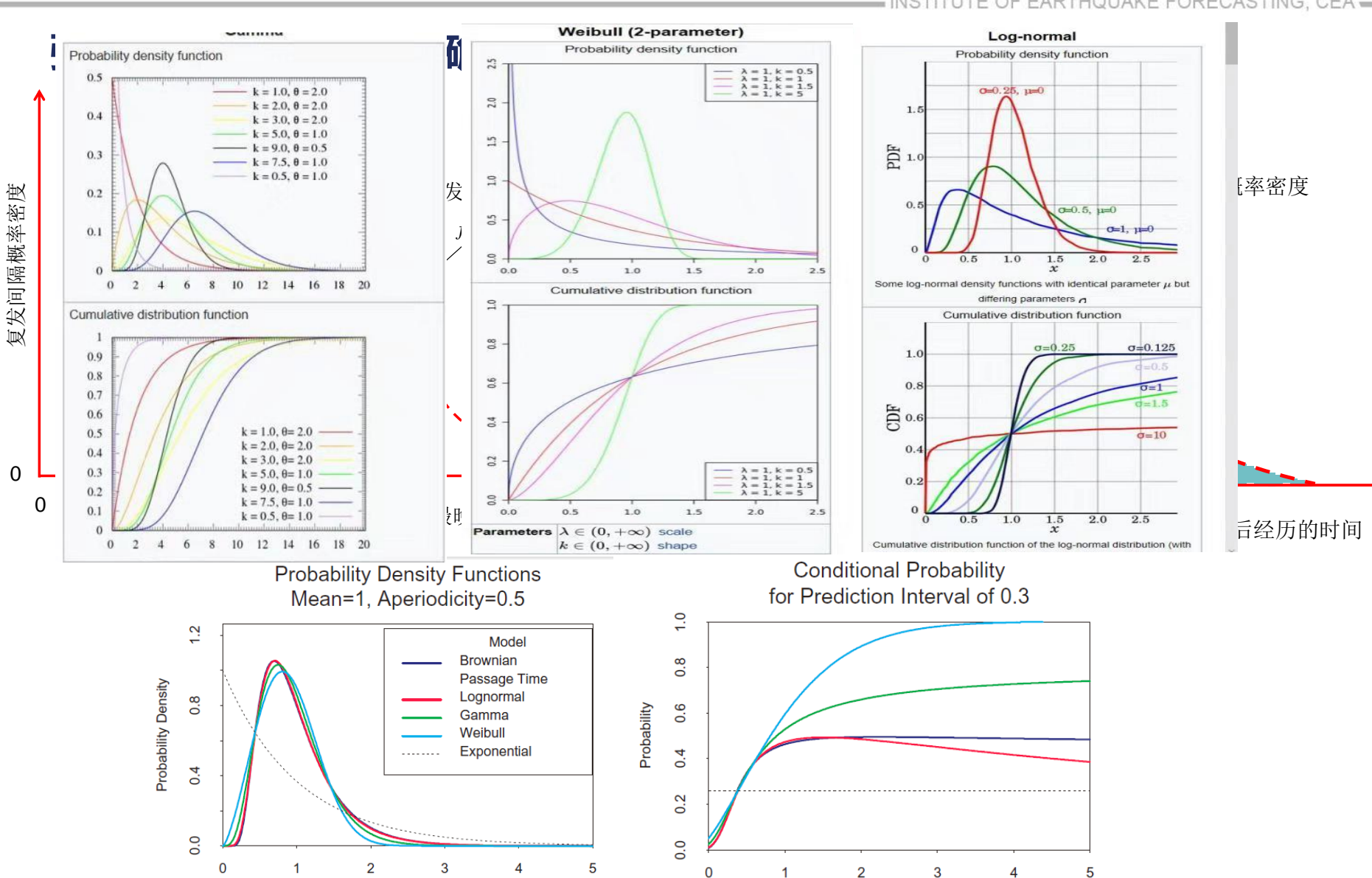


Shimazaki and Nakata, 1980

Time

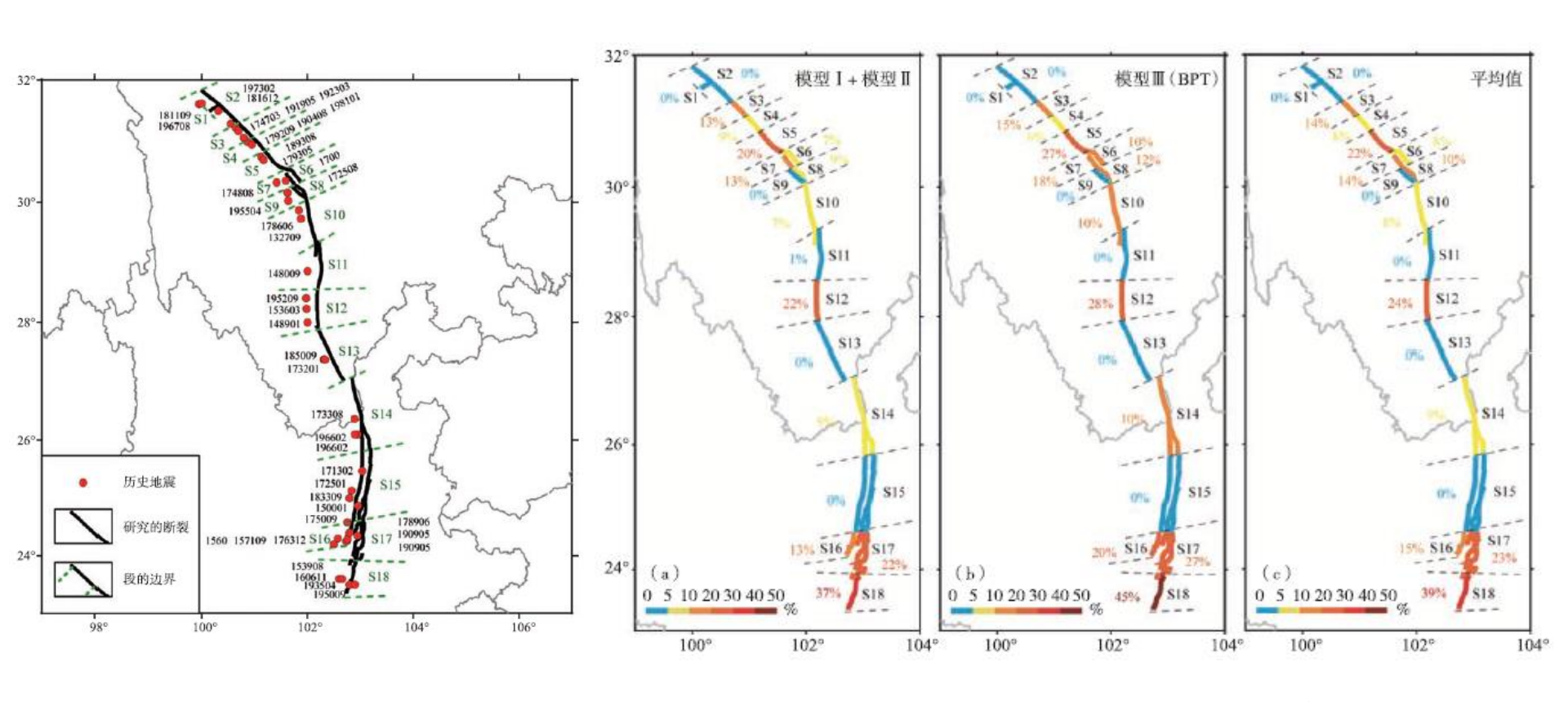


INSTITUTE OF EARTHQUAKE FORECASTING,





强震概率预测 (时间不确定性)



闻学泽等,2017



INSTITUTE OF EARTHQUAKE FORECASTING, CEA

地震破裂模型 (震级不确定性)

相邻断层段级联破裂理论分析

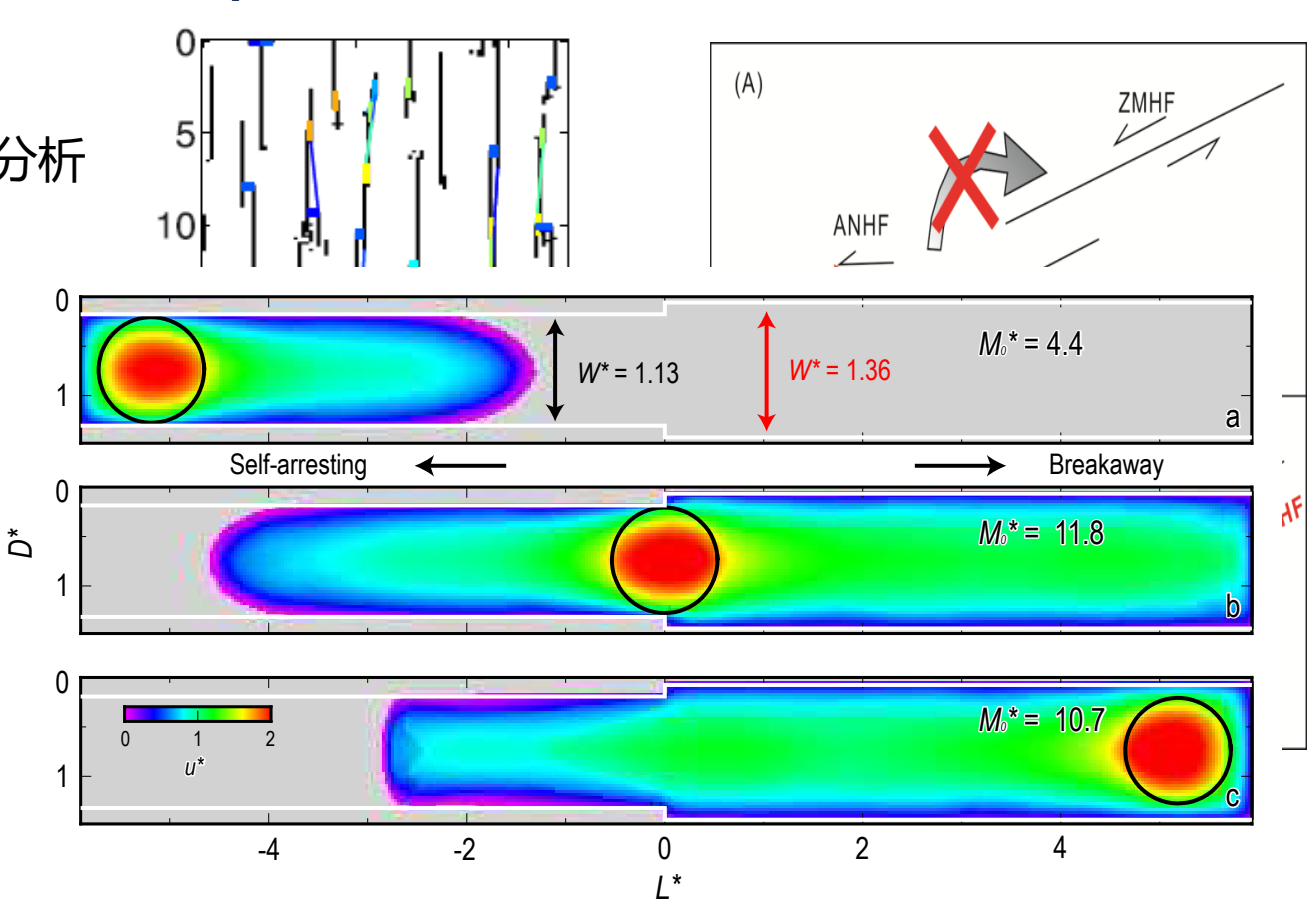
断层几何性质:

走向变化

倾角变化

阶跃距离

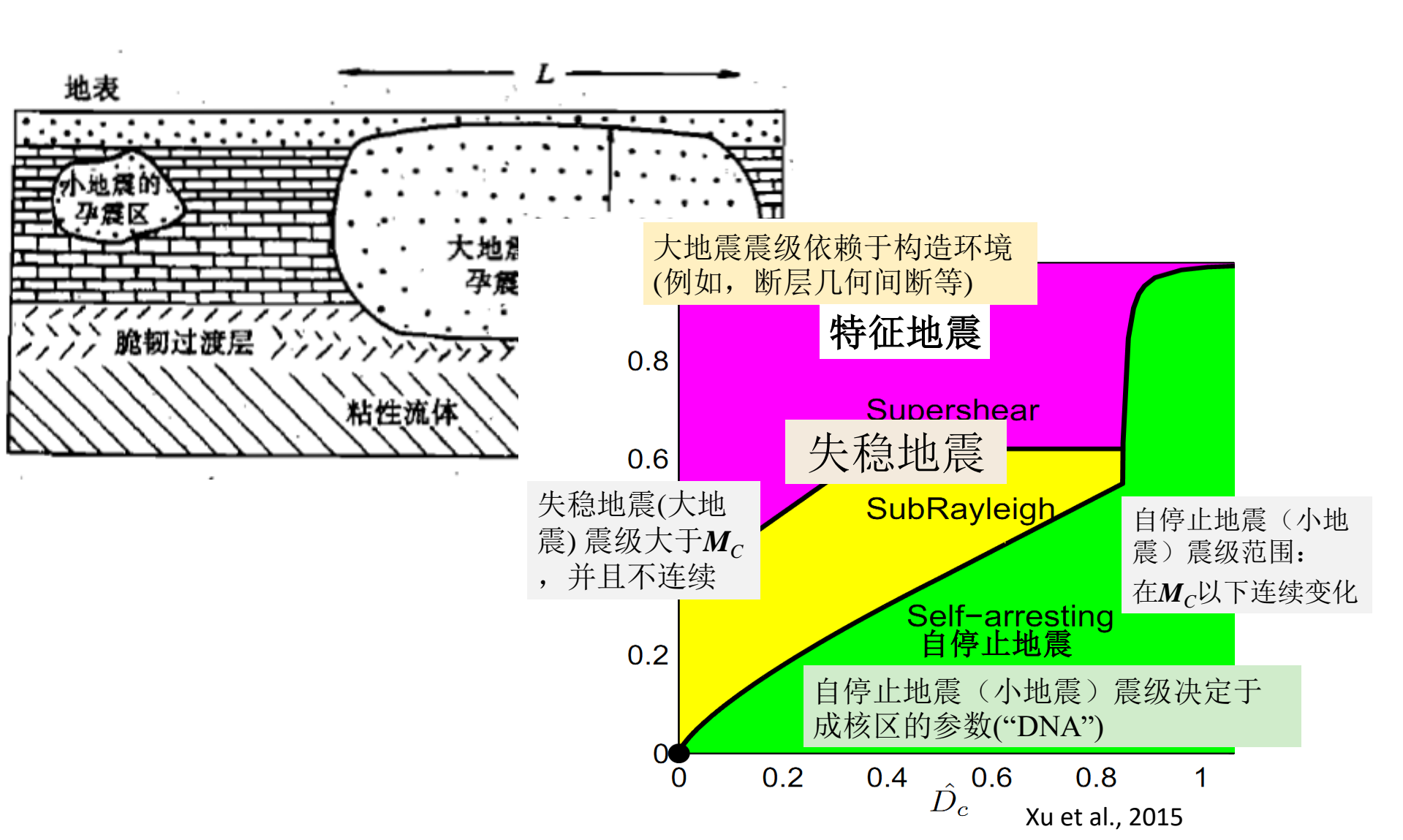
孕震层深度变化



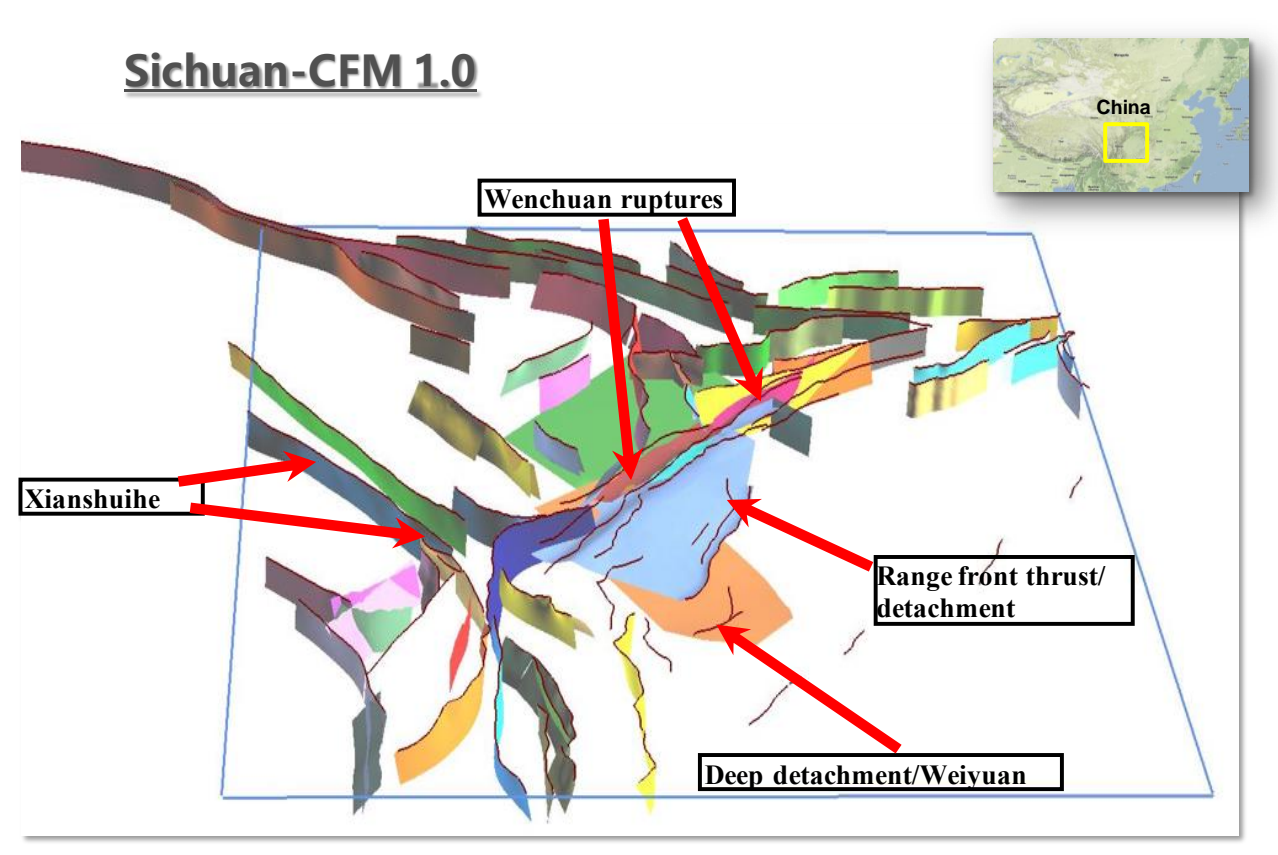
相邻不同宽度凹凸体的震中与破裂尺度间关系

Weng and Yang, 2017, GRL

特征地震? 发震能力? (震级不确定性)



地震地质研究结果在地震预测中的应用展望

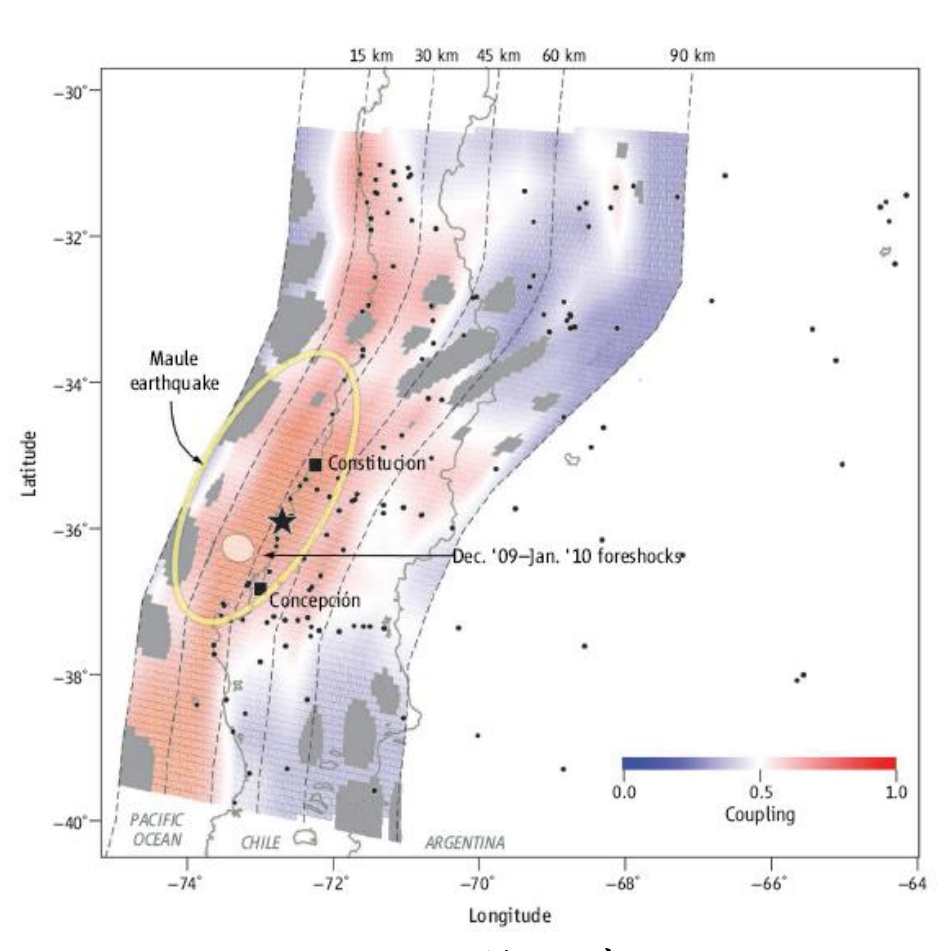


河海大学, 王毛毛教授

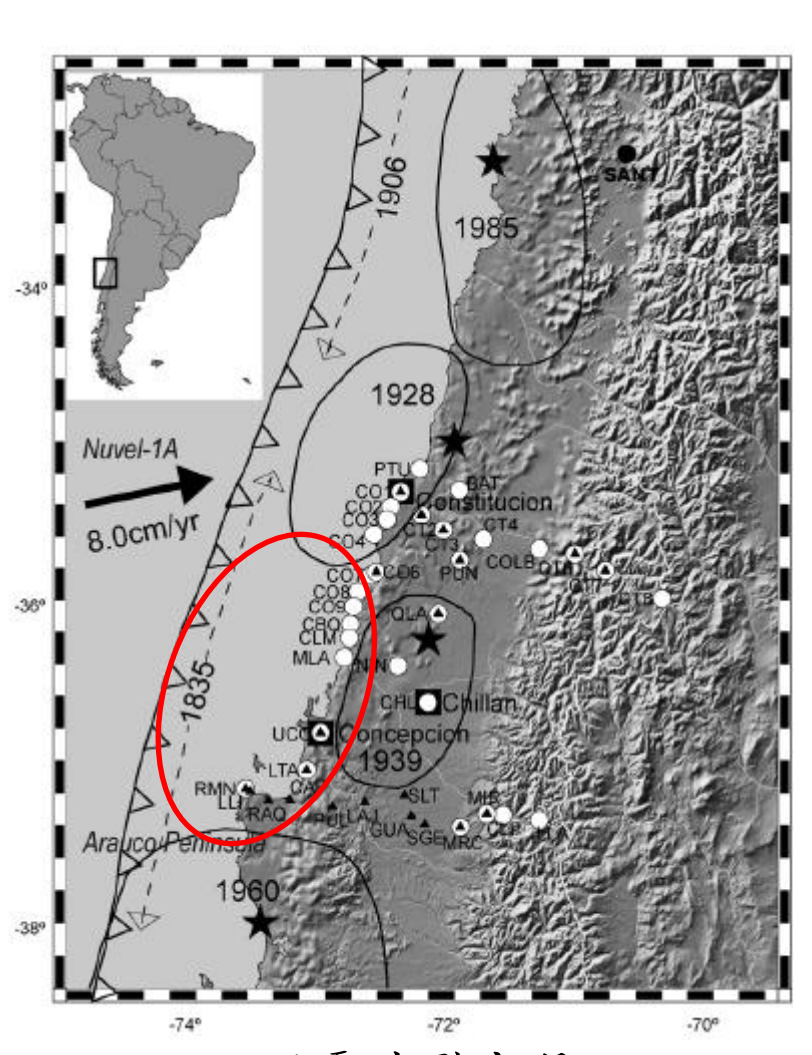
 几何模型
 破裂空段
 级联破裂分析
 离逝率

 基础
 地点
 震级
 长期

震间位移反演断层闭锁程度——大地测量



强闭锁区域



强震破裂空段 Ruegg J C et al., 2009

Madariaga R et al., Science, 2010



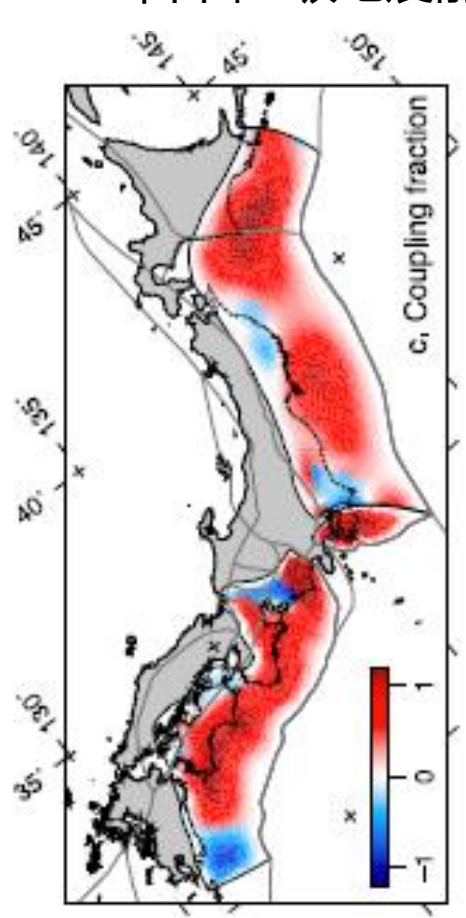
INSTITUTE OF EARTHQUAKE FORECASTING, CEA

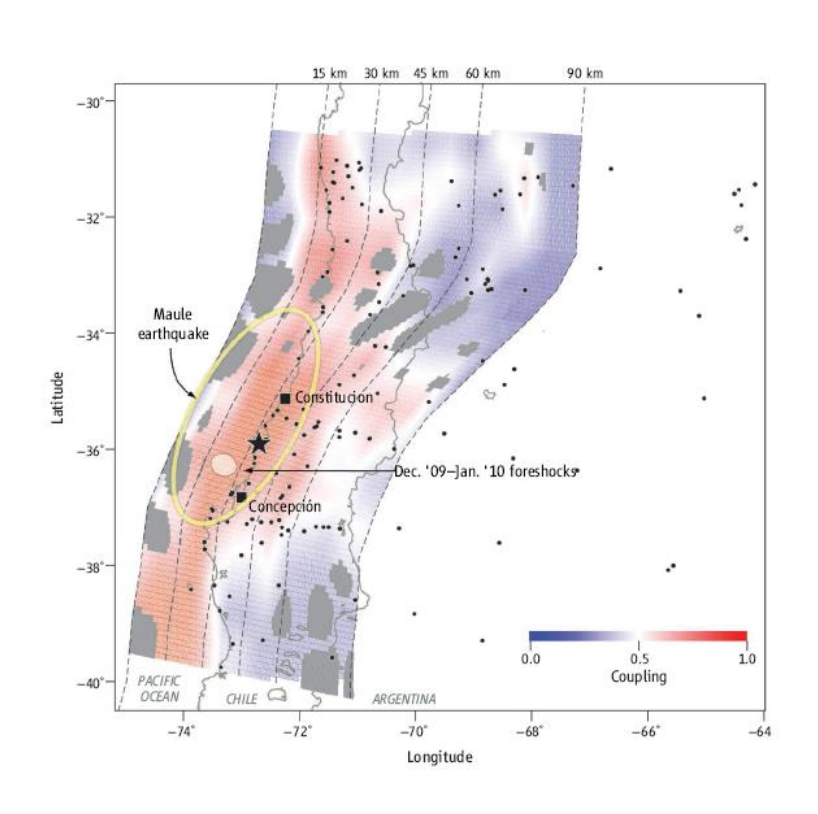
震源区断层运动闭锁是强震前较为普遍的现象

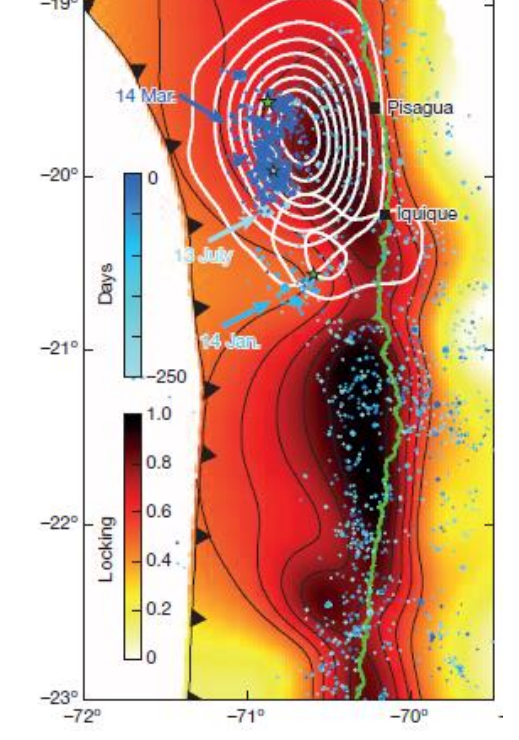
2011年日本9级地震前

2010年智利8.8级地震前

2014年智利8.1级地震前







Madariaga R et al., Science, 2010

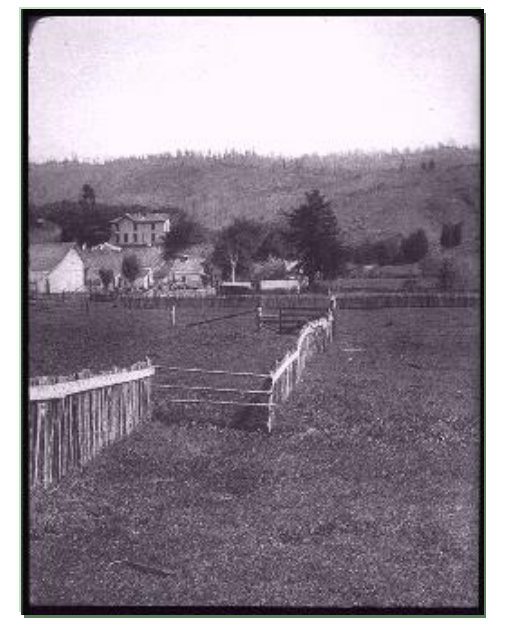
Hashimoto C, et al., Nature Geosci., 2009 Loveless J P, et al., JGR, 2010

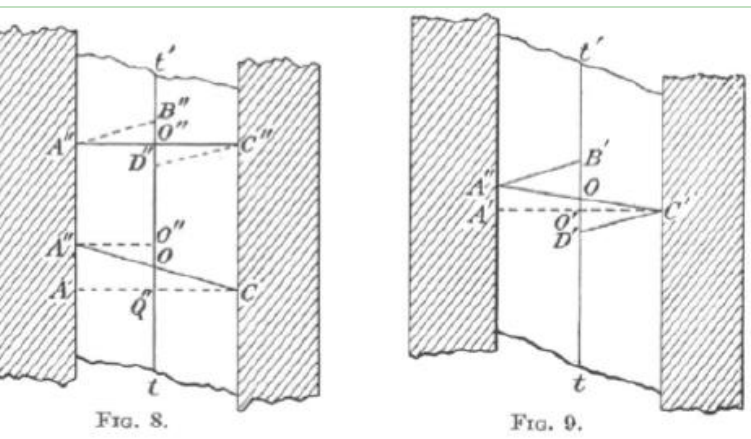
Bernd S, et al. Nature, 2014

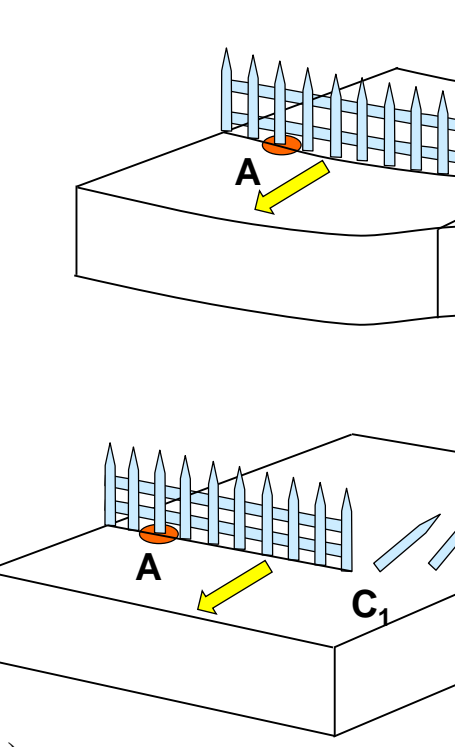


INSTITUTE OF EARTHQUAKE FORECASTING, CEA

弹性回跳模型与断层运动



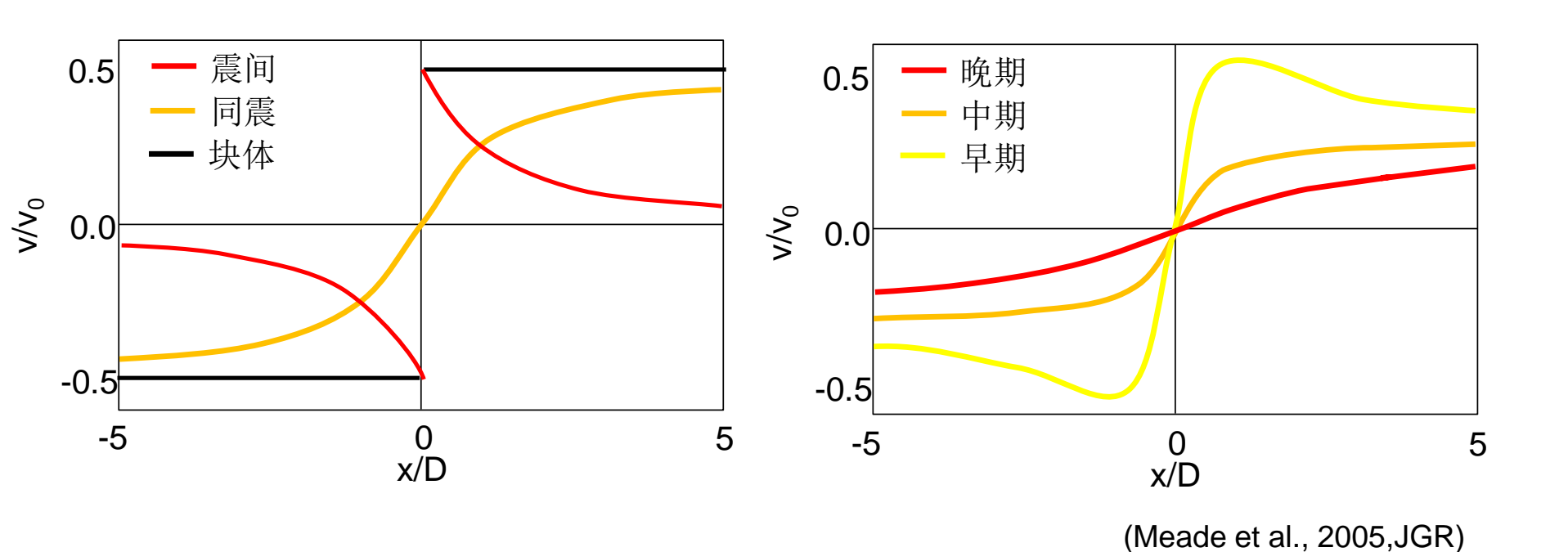




经典的弹性回跳理论

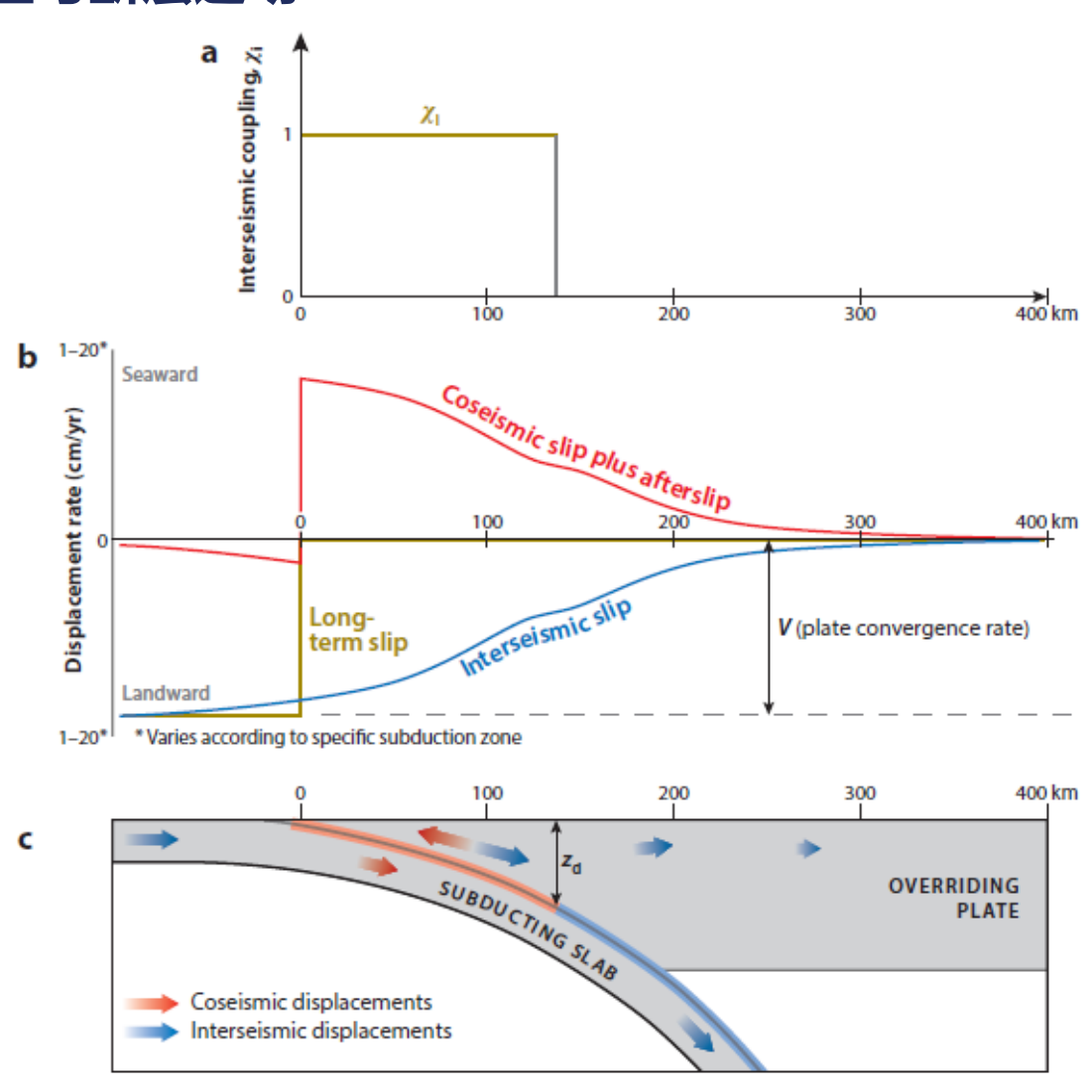
(Reid, 1910, 1911)

弹性回跳模型与断层运动

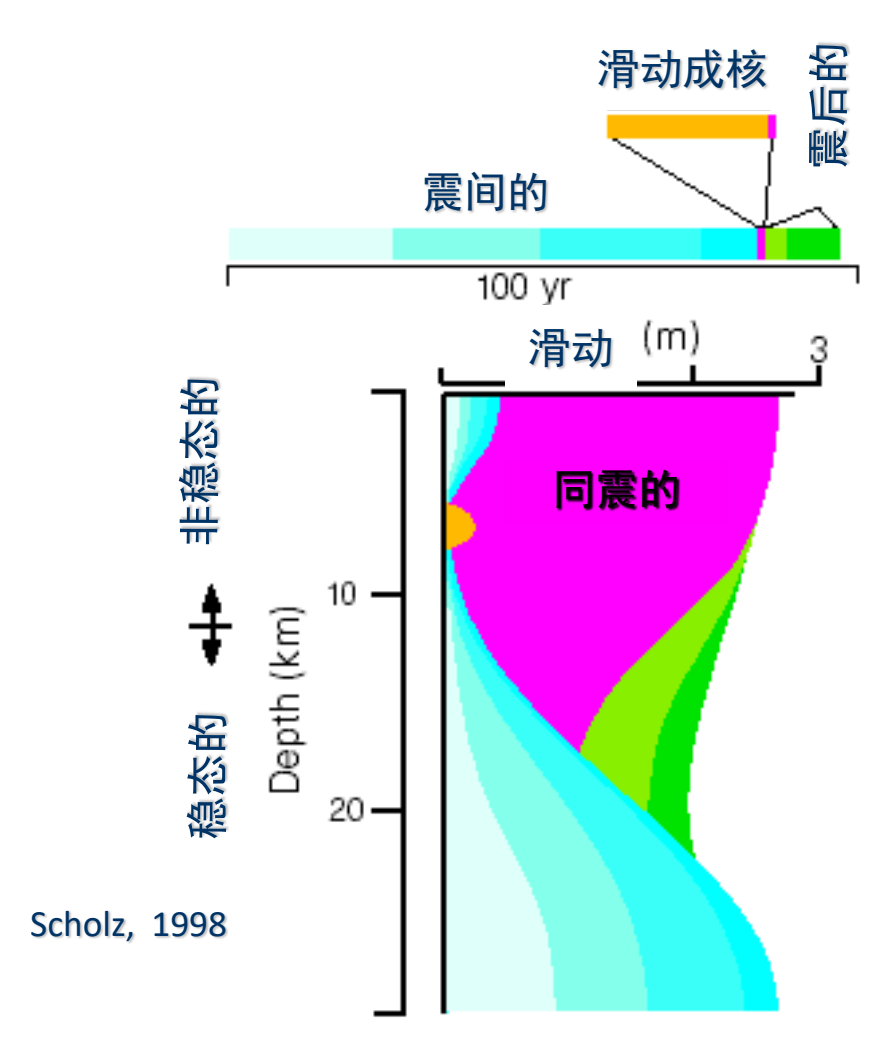


Section Sectio

弹性回跳模型与断层运动



地震断层运动随时间和深度变化理论模式



震间阶段:

- ─脆一延转换带以下深度发生持续性稳定滑动, 滑动量随深度增加
- —地壳浅部可能发生小量级的稳定滑动(蠕 动)
- ──脆-延转换带以上深度的断层面大部分闭锁 (无滑动),积累来自下方稳定滑动所产生 的应变

震前阶段:

- ──脆─延转换带以下深度和地壳浅部的断层面的续性稳定滑动可会有所加速
- —闭锁的断层面在主震前不久可能发生预位 移

震时阶段:

—闭锁的断层面突然滑动成核

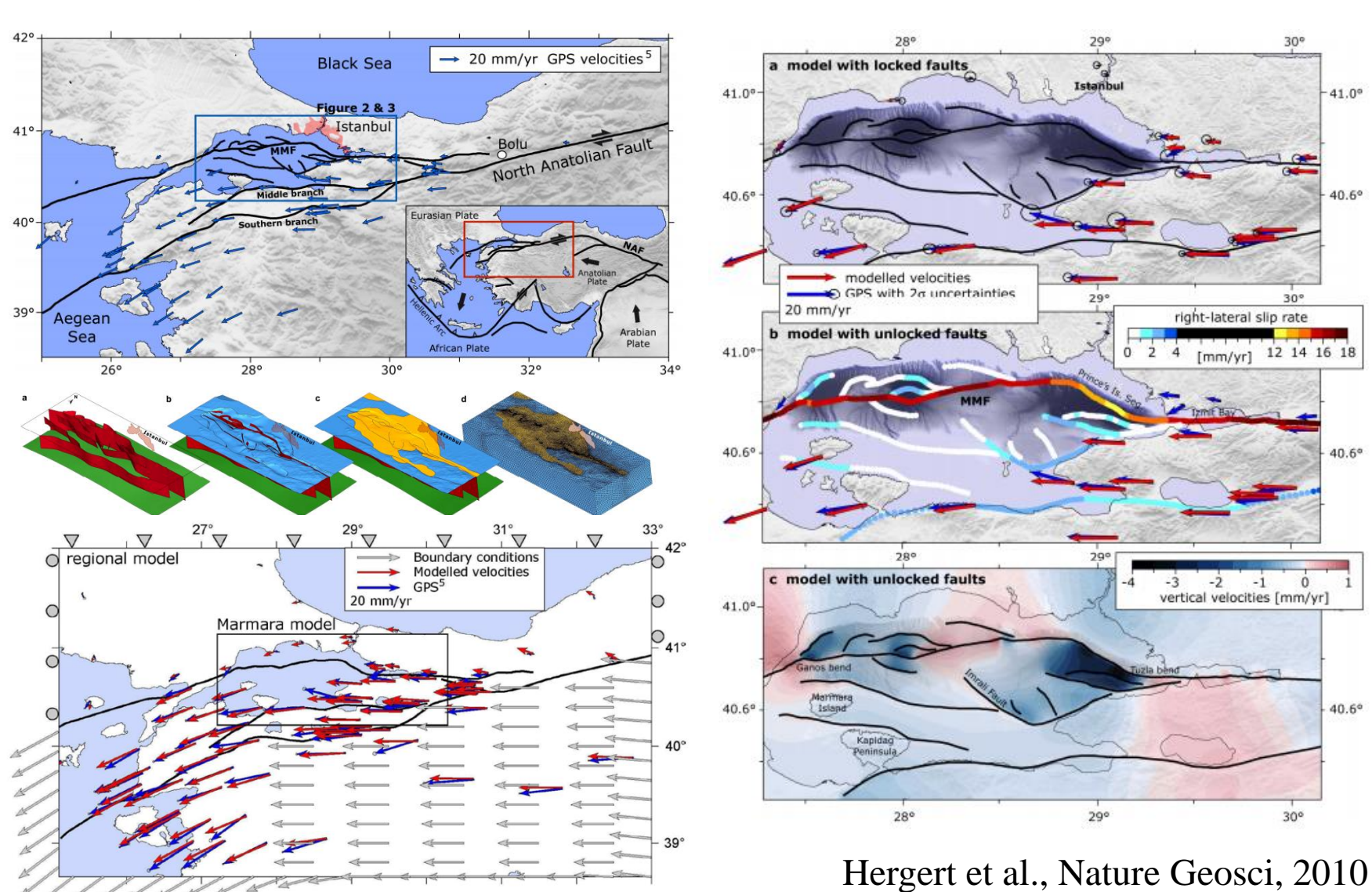
震后接段:

─断层面作震后调整滑动,以脆-延转换带附近调整幅度最大

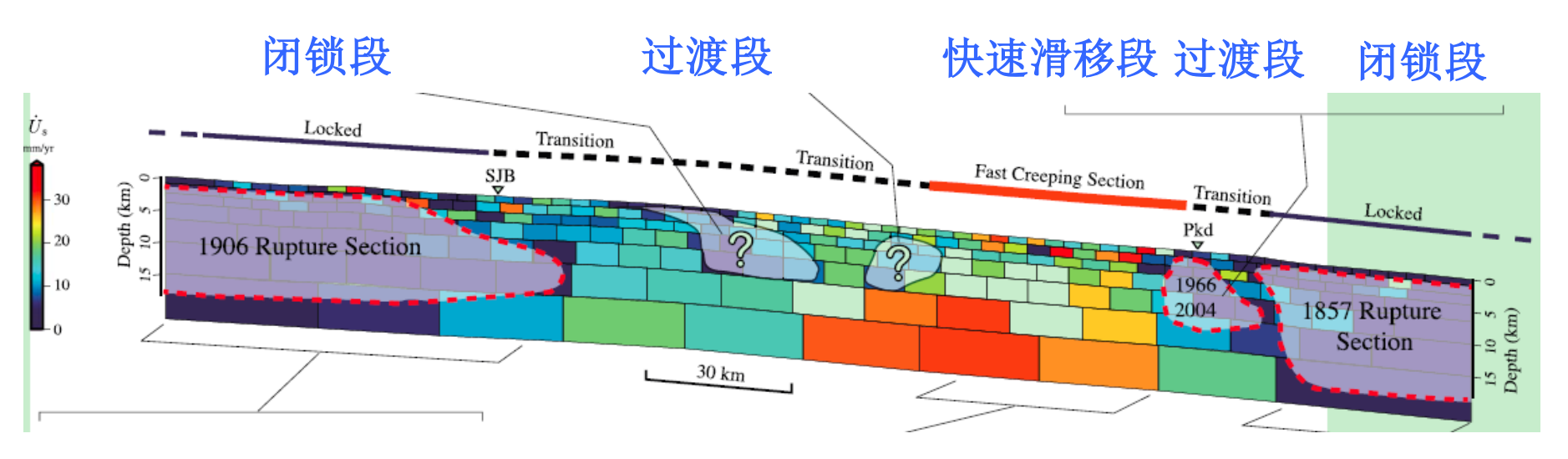
引自闻学泽老师讲义

The 1st at 1st a

有限元数值模拟区域地壳运动



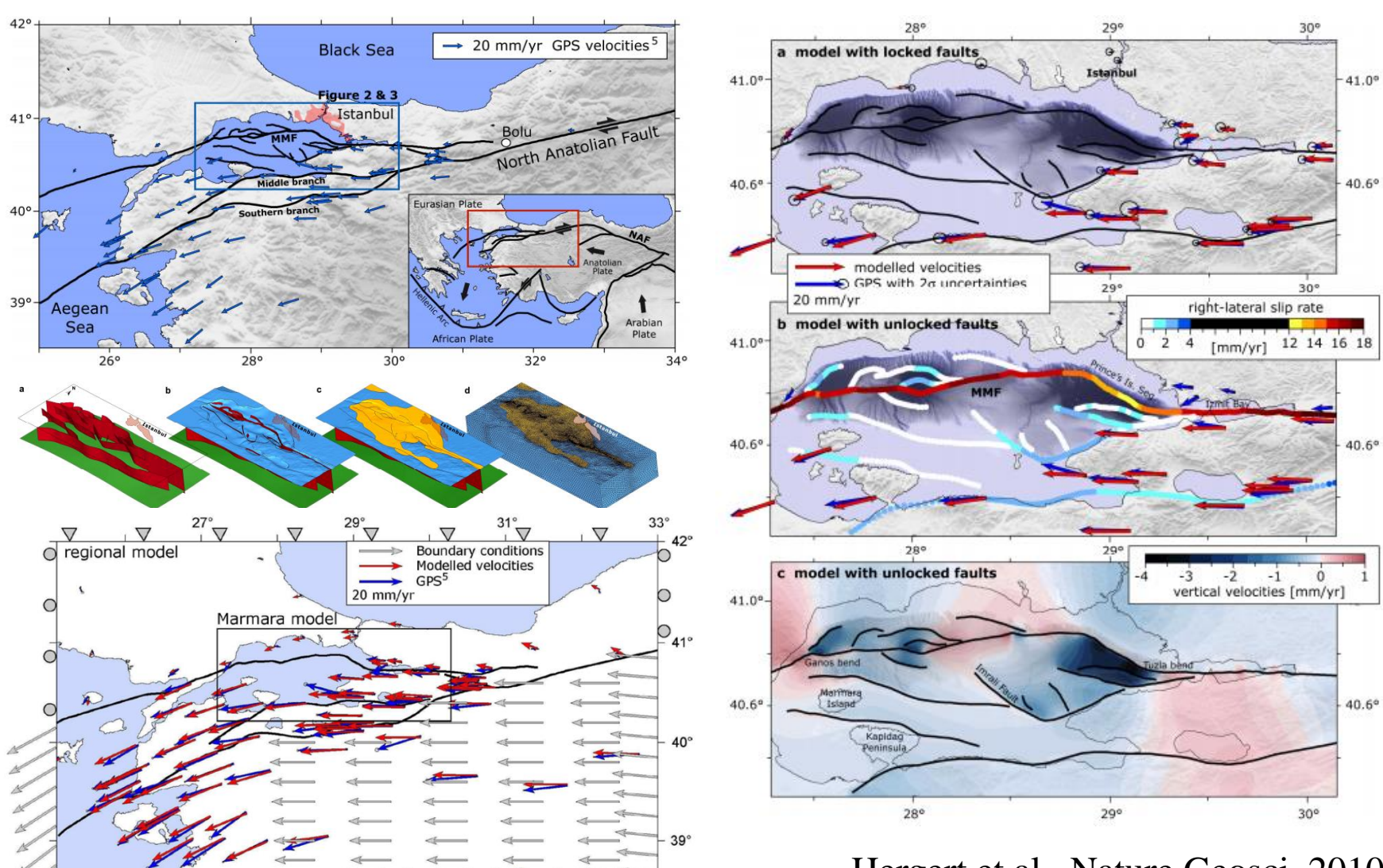
断层面二维断层运动速率反演



圣安德烈斯断裂带中段断层运动分段特征

Jolivet, et al., 2015

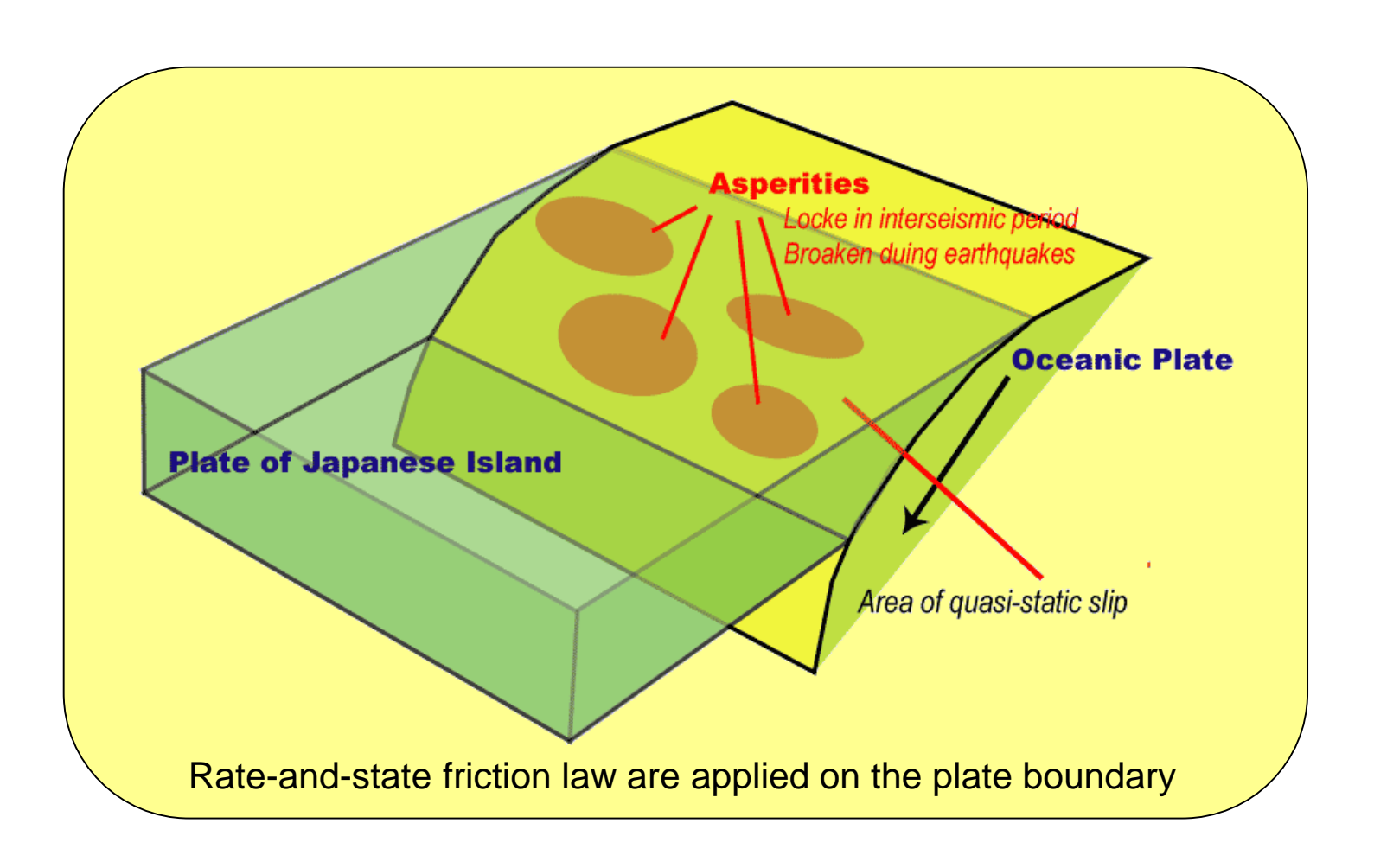
有限元数值模拟区域地壳运动



Hergert et al., Nature Geosci, 2010

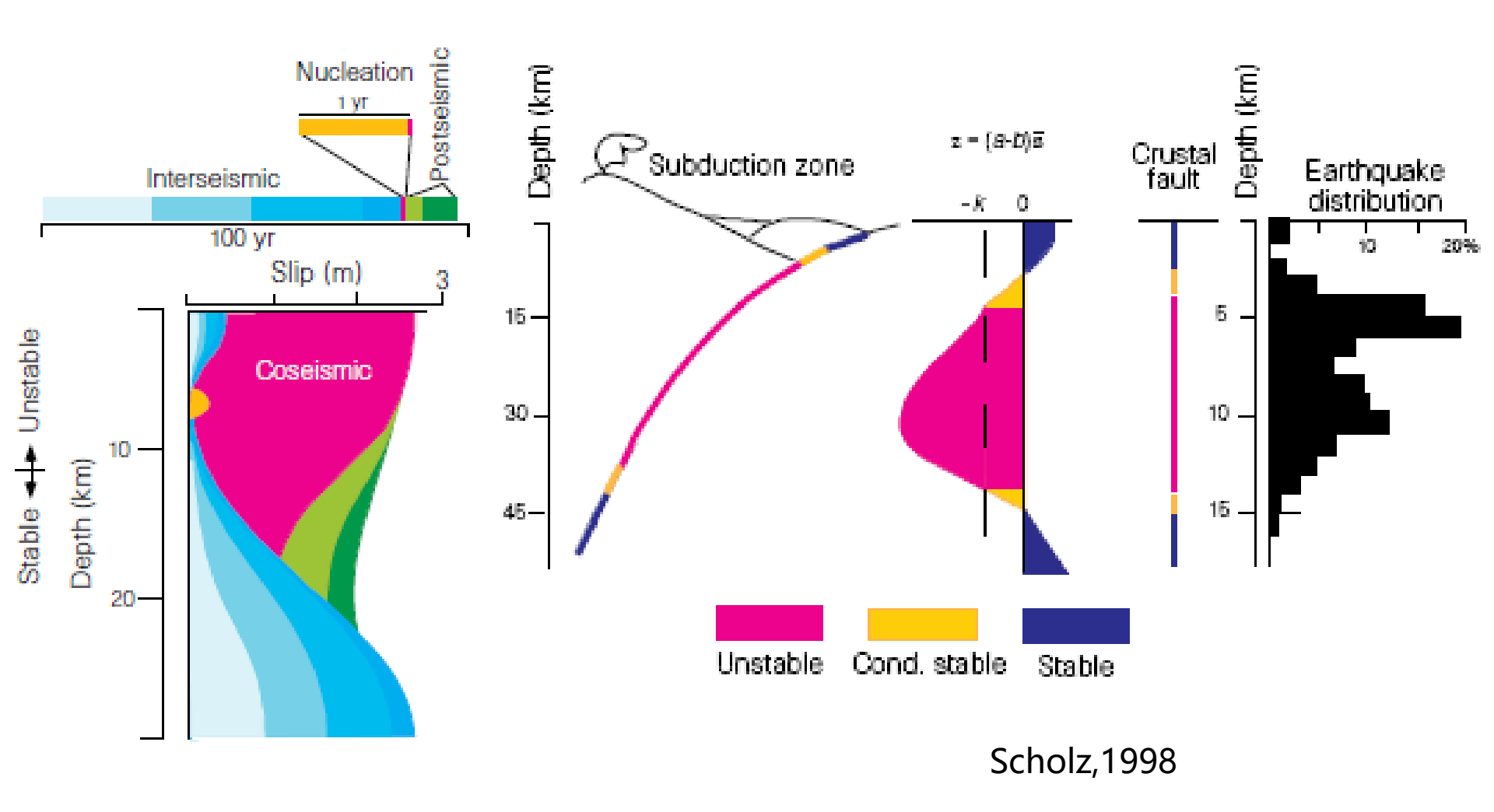


凹凸体模型

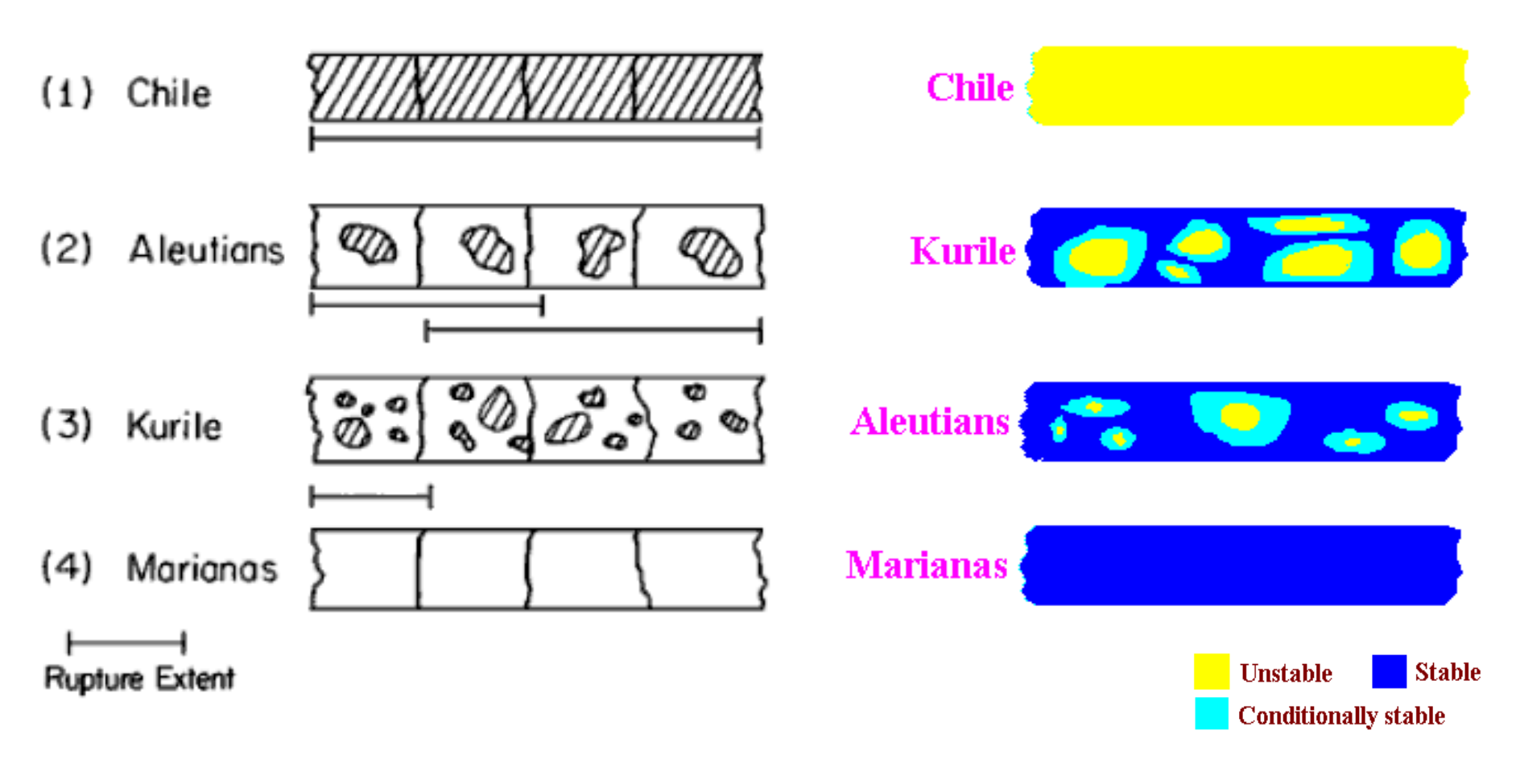




凹凸体与断层摩擦



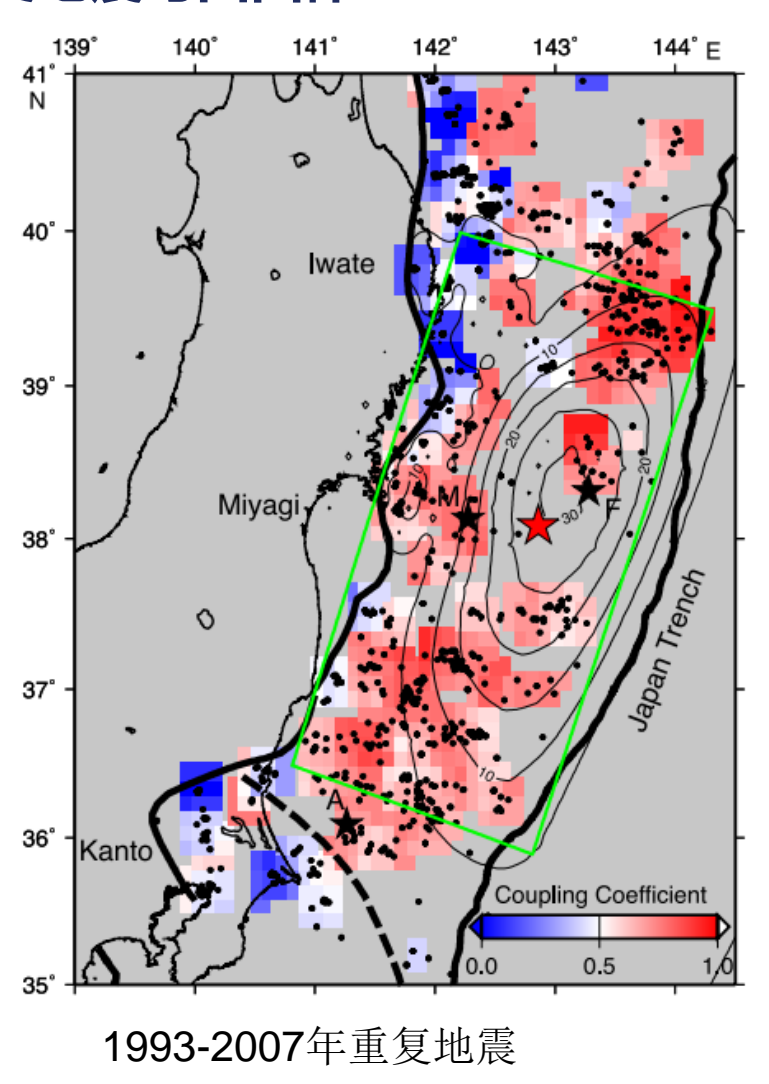
凹凸体与断层摩擦

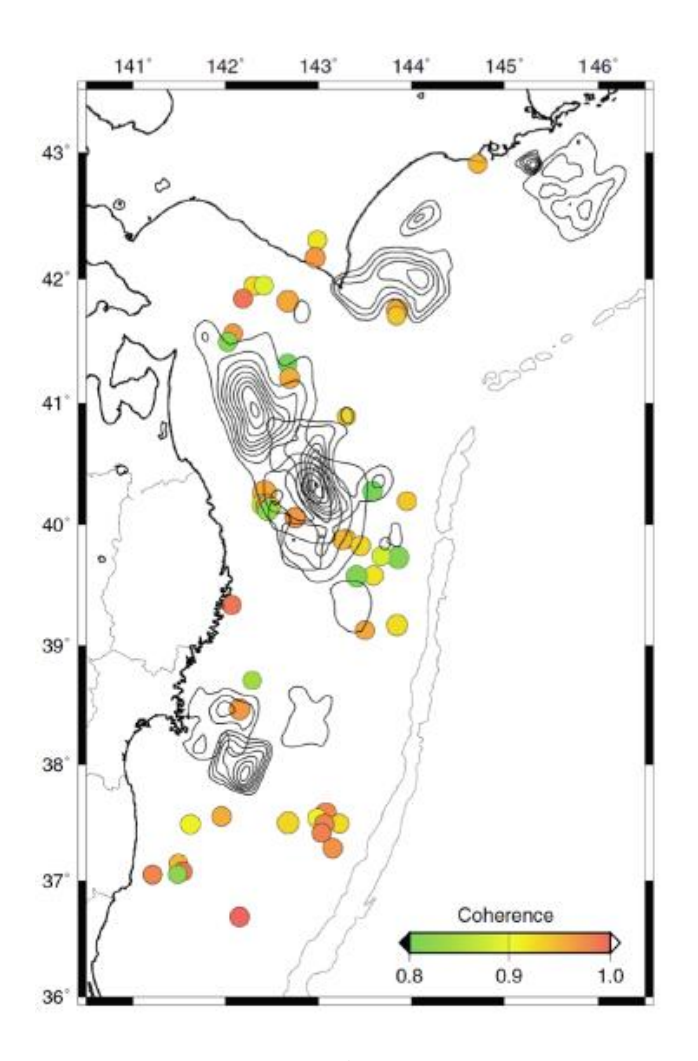


Lay T and Kanamori H,1981

R. McCaffrey,2006

重复地震与凹凸体





1984 - 2009年 M 4.5 - 6.2

Uchida et al., 2011



INSTITUTE OF EARTHQUAKE FORECASTING, CEA

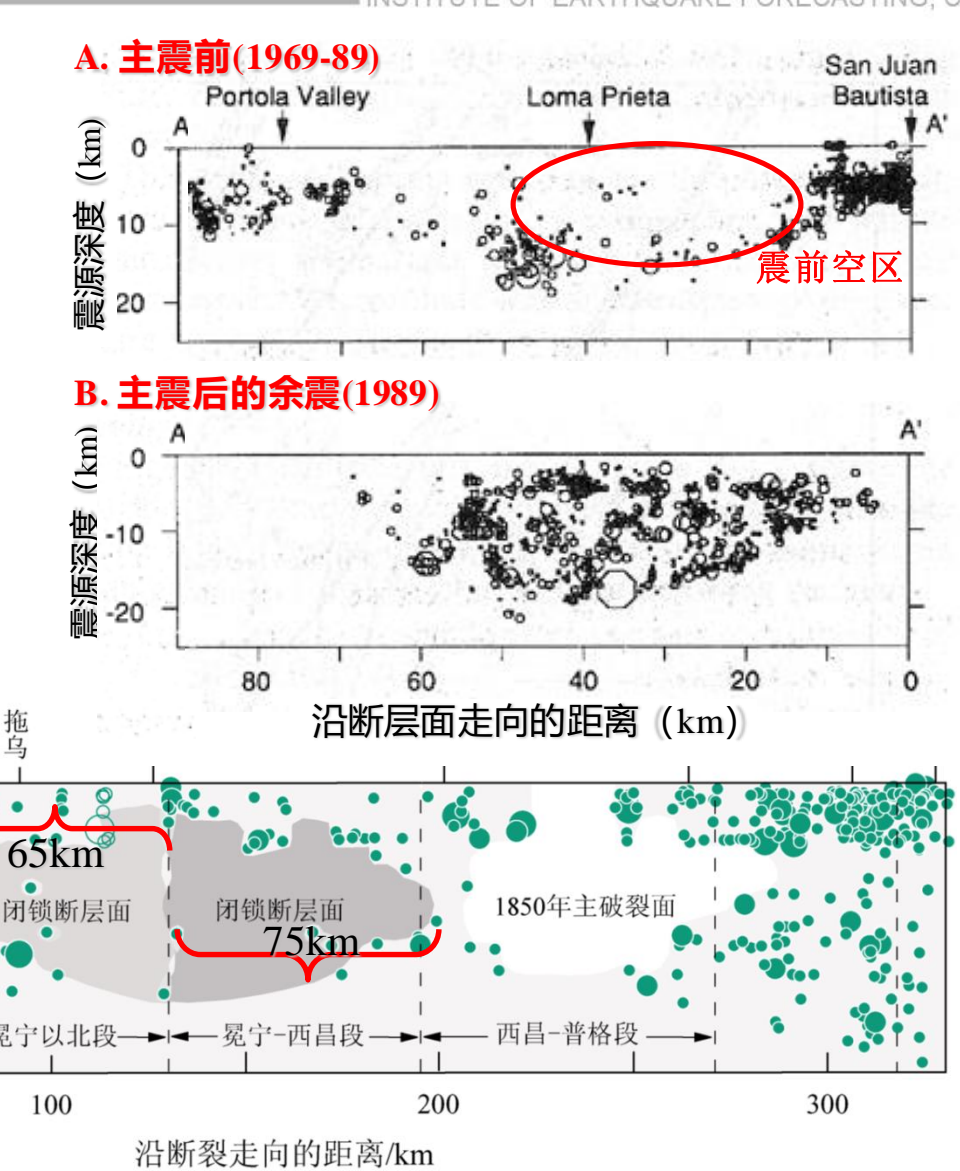
地震重新定位结果

1989年加州M7.1地震前后 沿圣安德烈斯断裂带的震源深度剖面

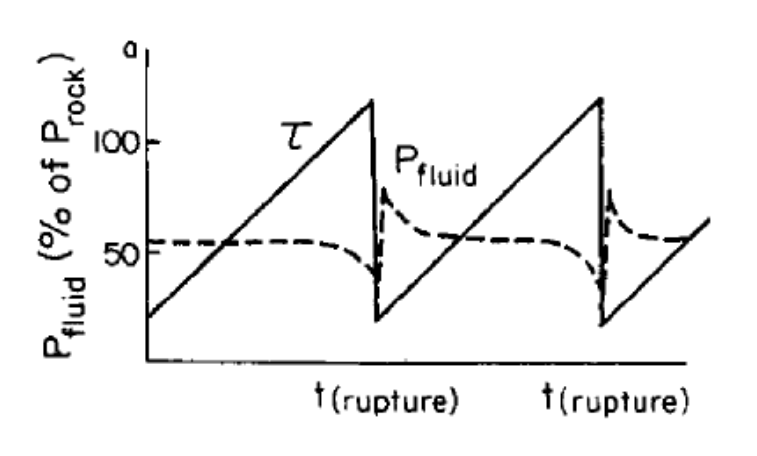
深度/km

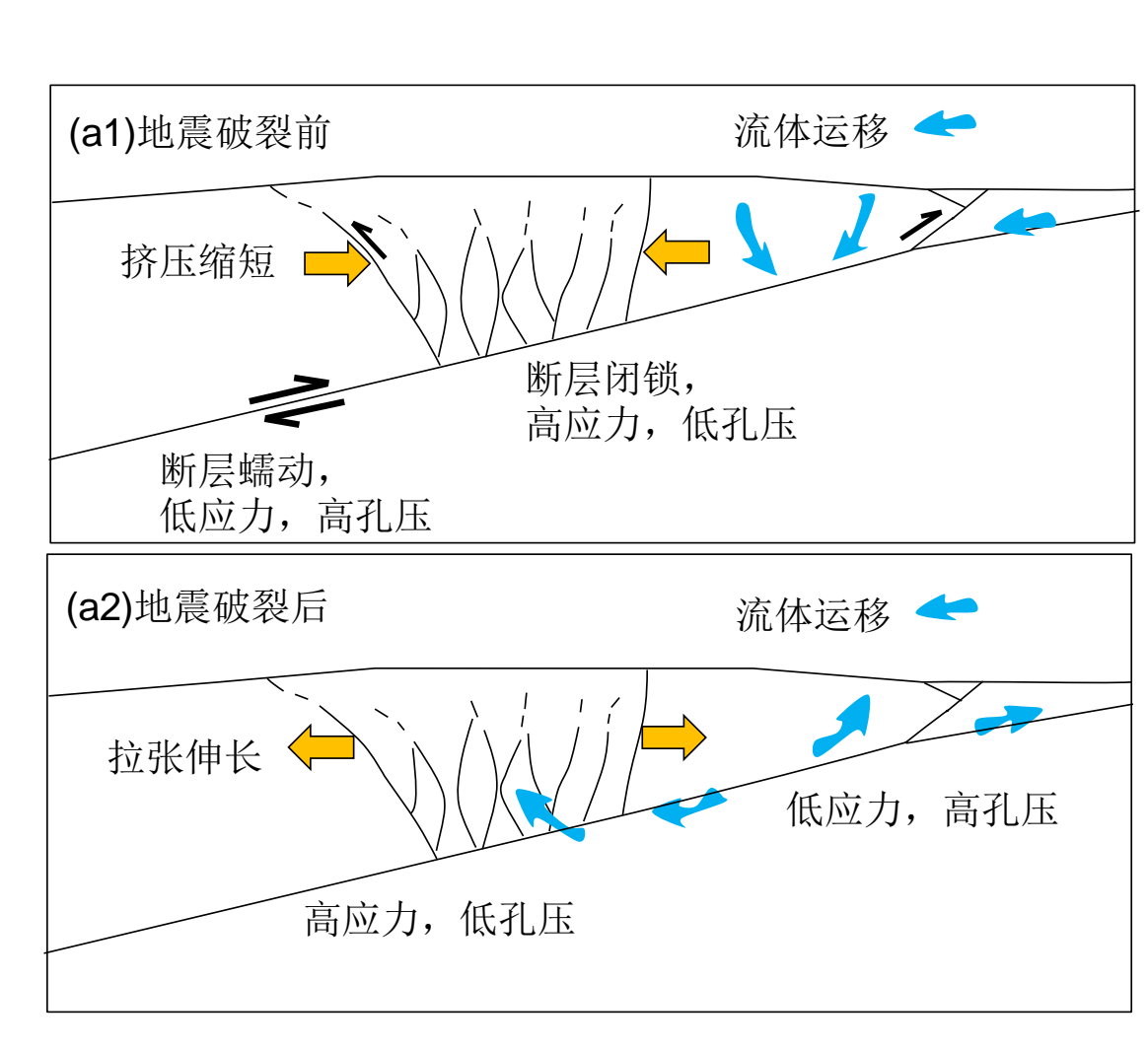
20

30



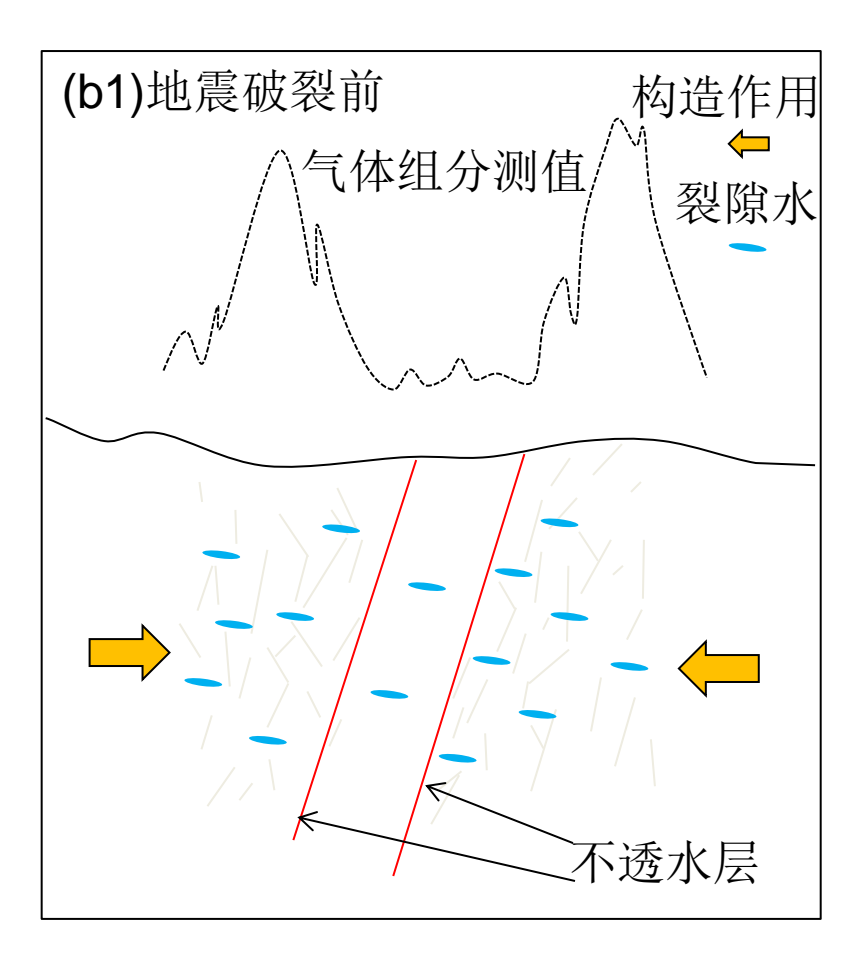
断层孕震阶段状态的判定

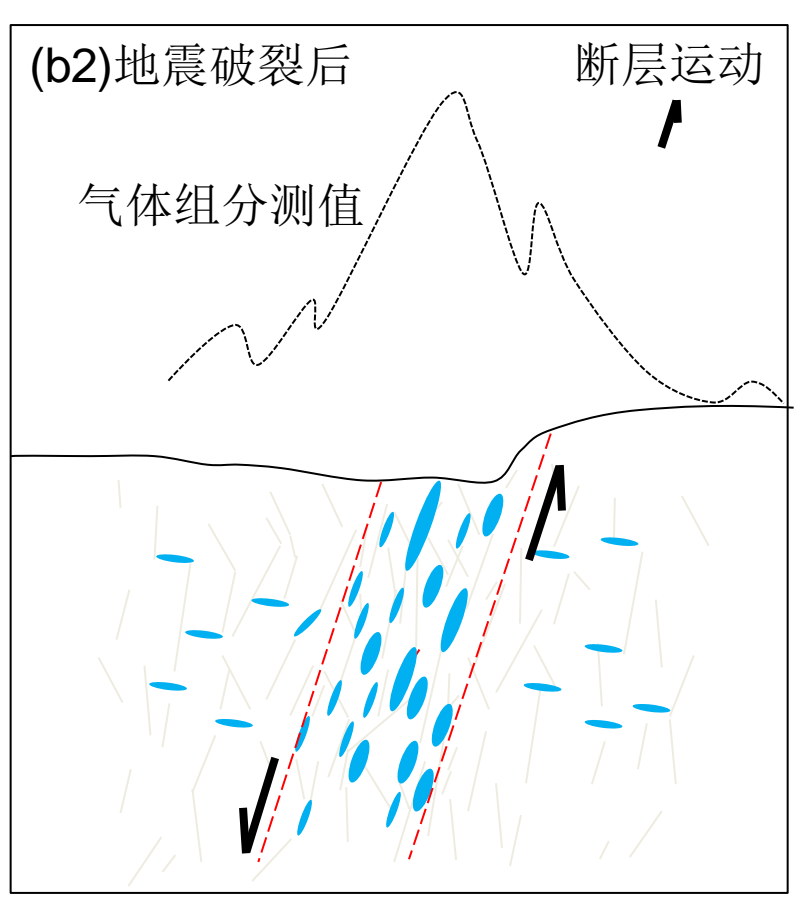




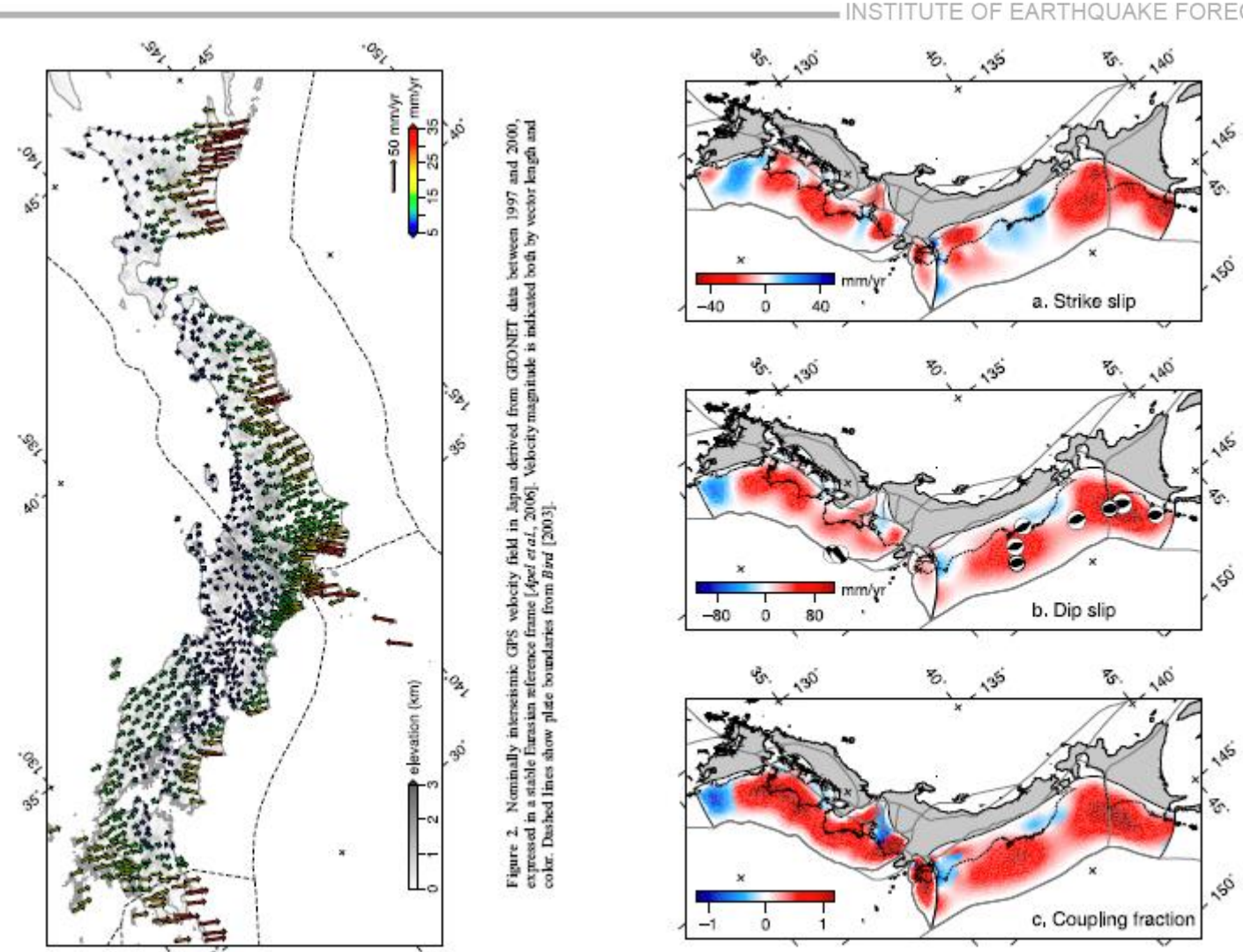
S Toppala Form

断层孕震阶段状态的判定



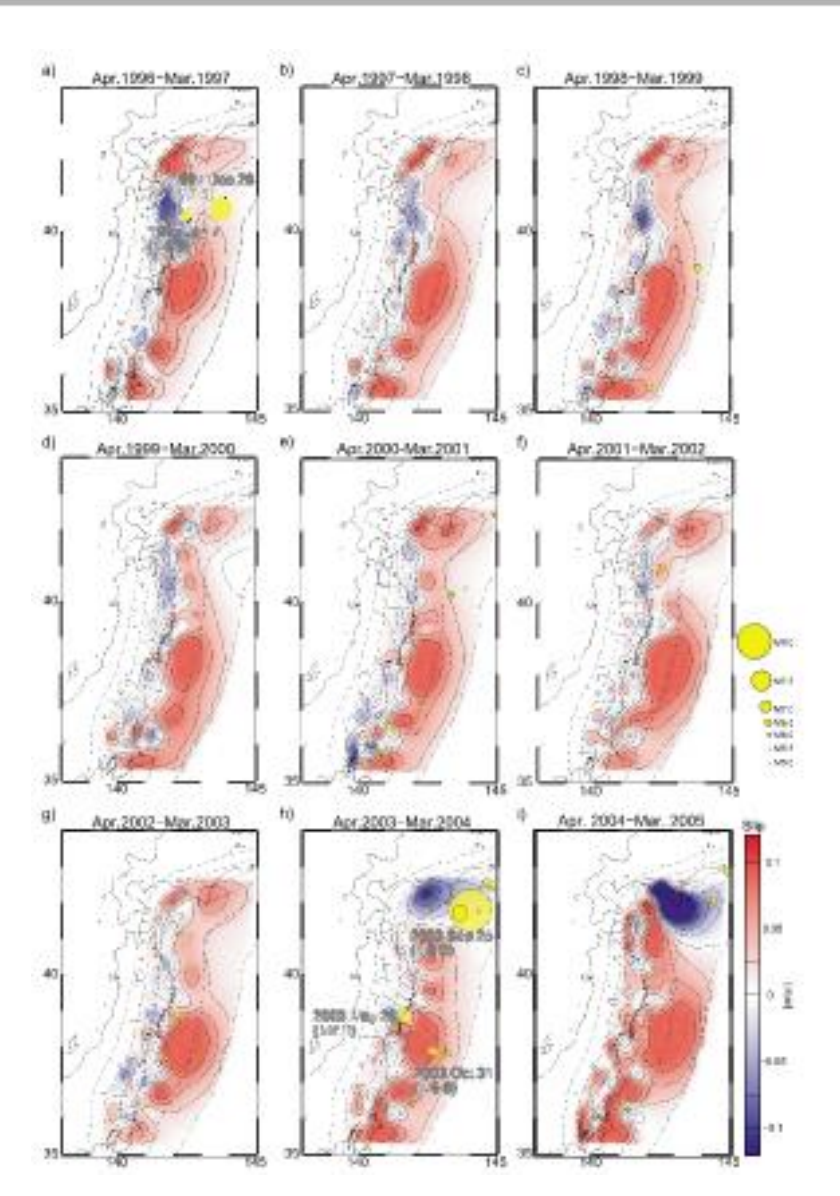


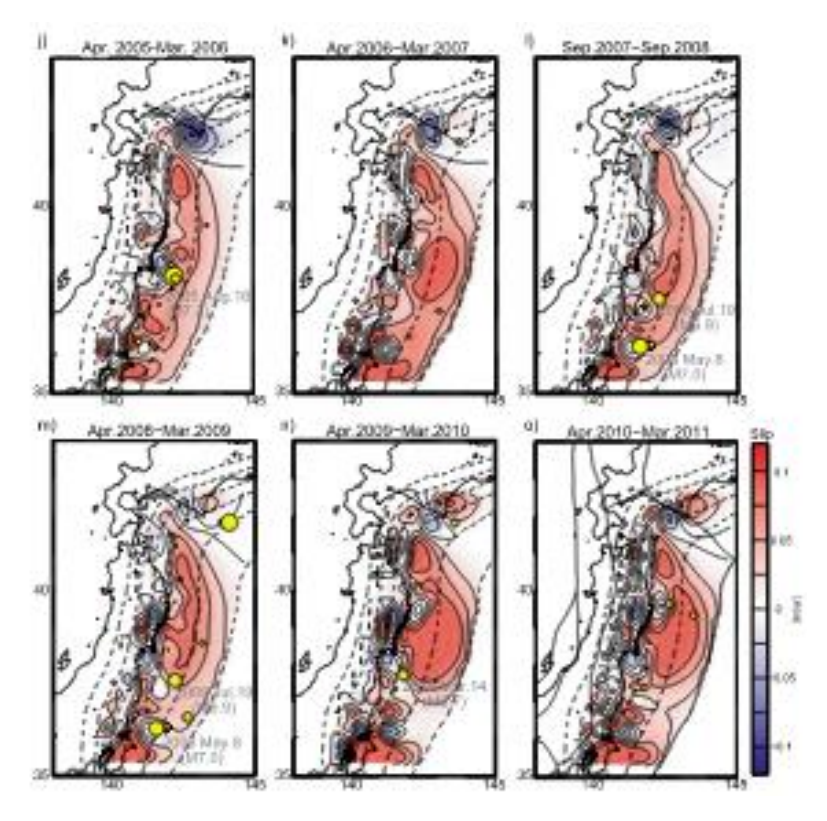
Annunziatellis et al., 2008 Tadokoro and Ando (2002)



GEONET观测所得日本地壳运动速率 (1997-2000, 欧亚参考基准) 与断层闭锁率

Loveless J P and Meade B J, 2010

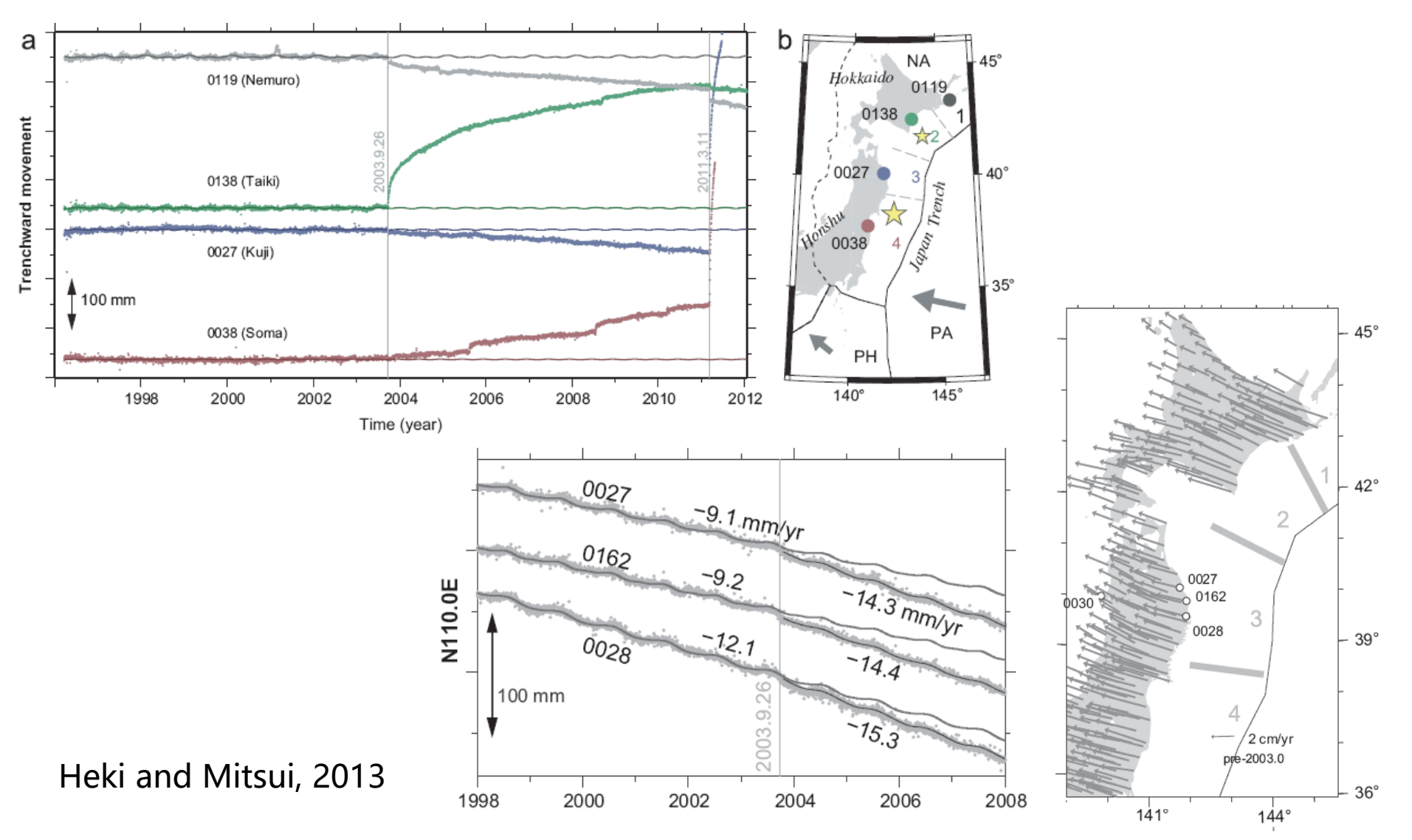




2003年之前是比较稳定的,最大特点是在北纬36-40 之间位移亏损较大,其峰值位于北纬38附近(Ikuta et al., 2012)。而2003年之后由于一系列的7级左右地震的同震和震后位移导致日本海沟俯冲断层闭锁程度存在较大时空变化。

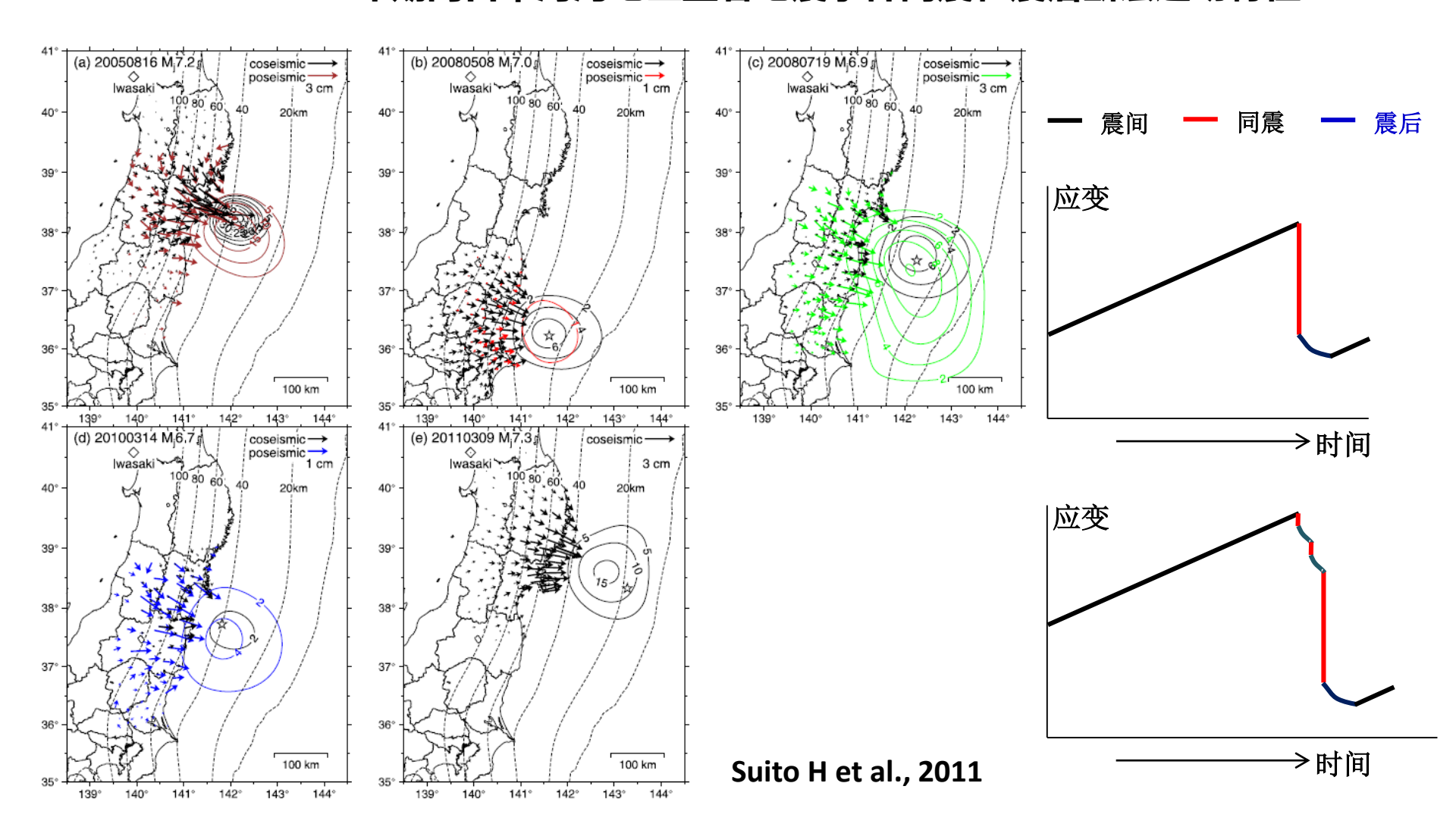


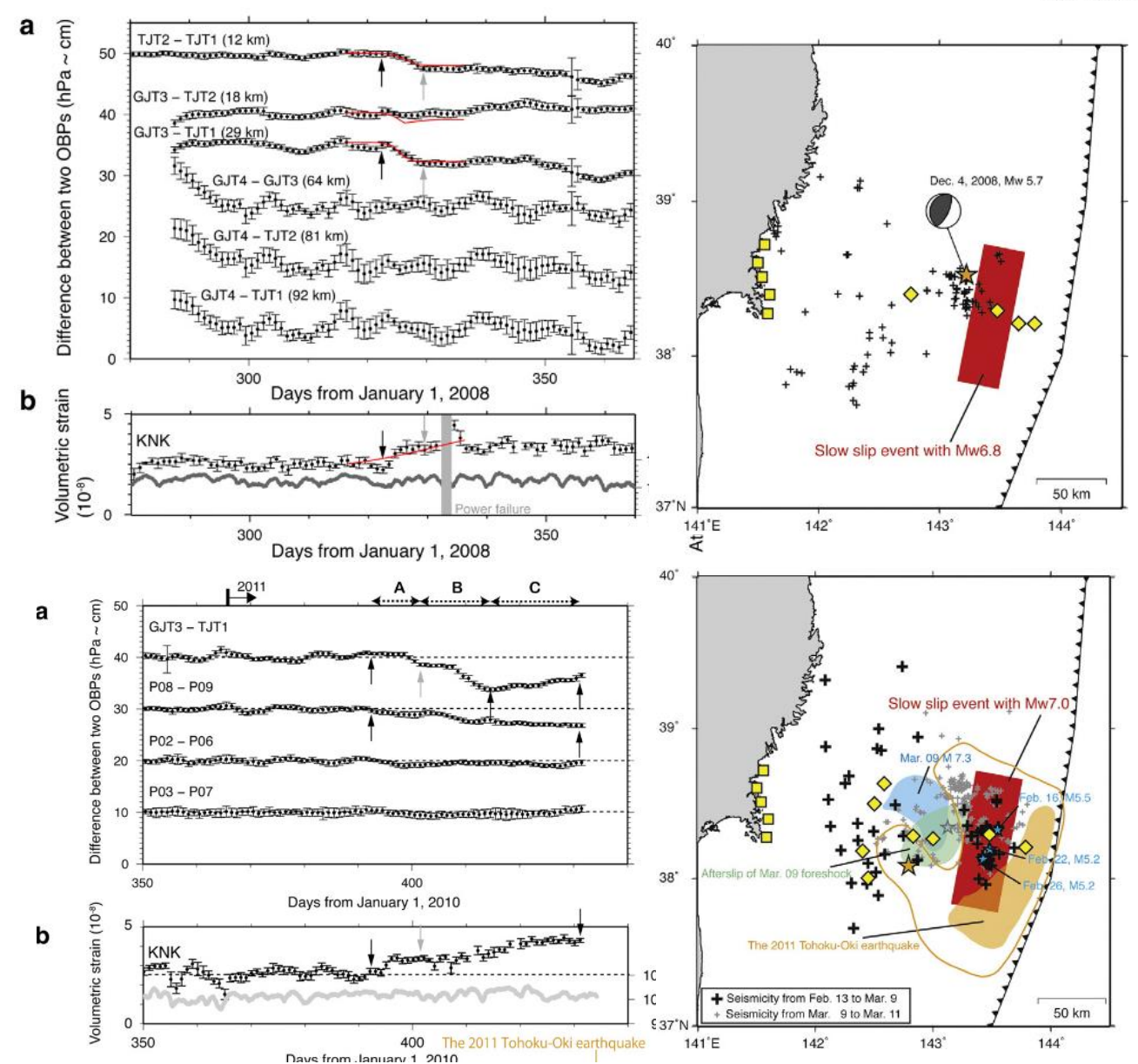
GEONET连续GPS观测典型时间序列





2005-2011年期间日本海沟地区显著地震事件同震和震后断层运动特征



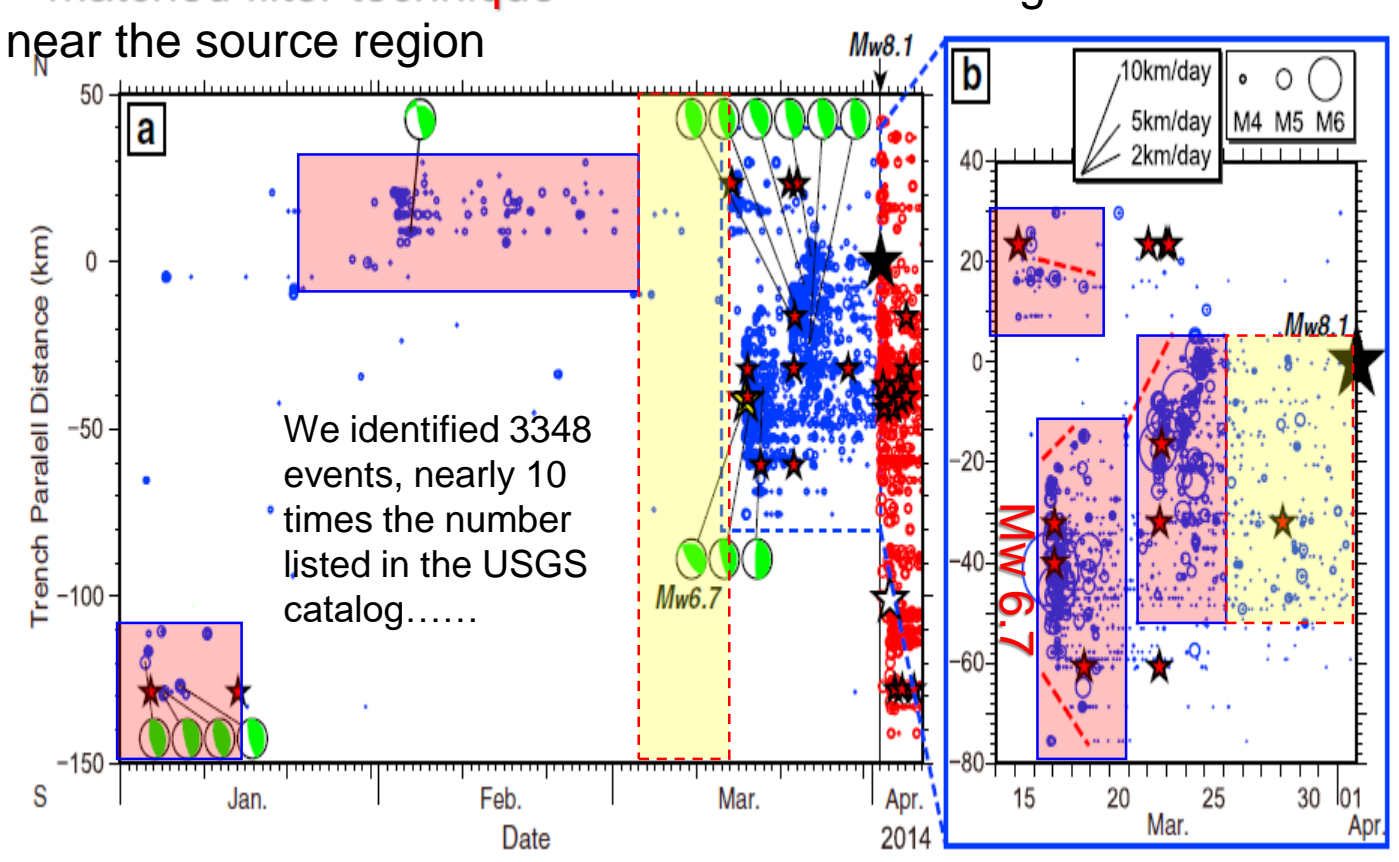


利用海底压力计和海岸体 应变观测仪确认2008年 持续1周和2011年持续1 个月,在震中附近分别发 生相当于*M*6.8和*M*7.0慢 滑移事件,为同震最大位 错集中区,而且2011年慢 滑移事件可能触发了一组 5级地震活动(Ito et al., 2013)。



Pre-shock Phenomenon

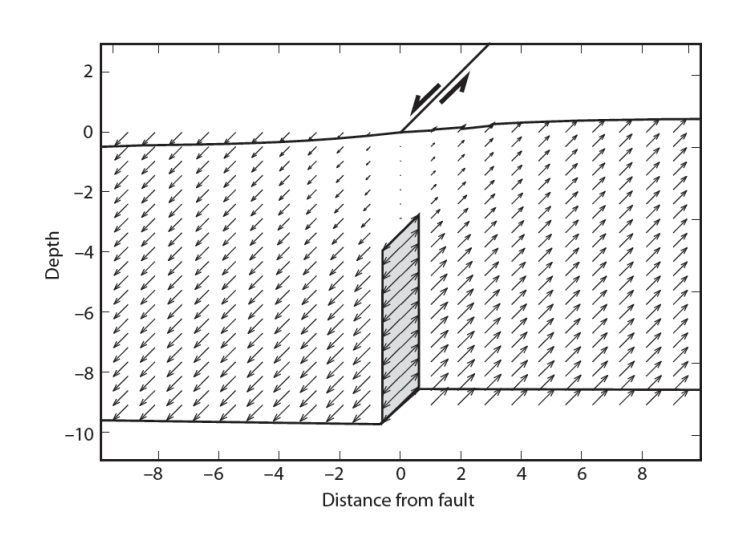
a matched filter technique to continuous seismograms recorded

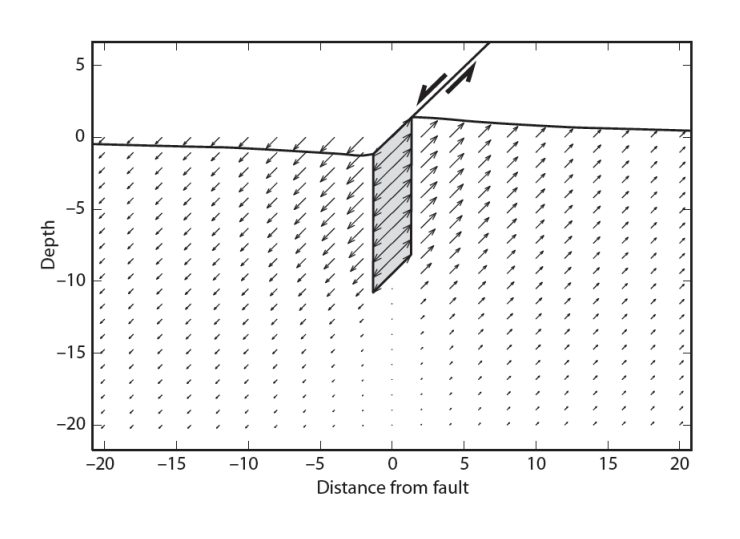


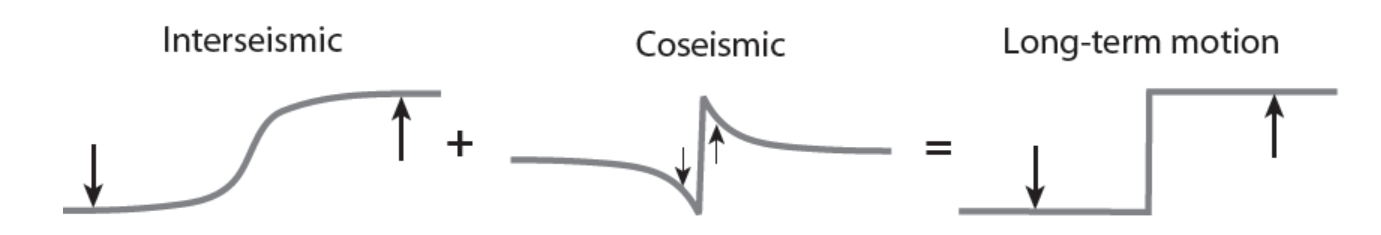
Aitaro Kato and Shigeki Nakagawa, 2014



断层运动在地震预测中的应用展望







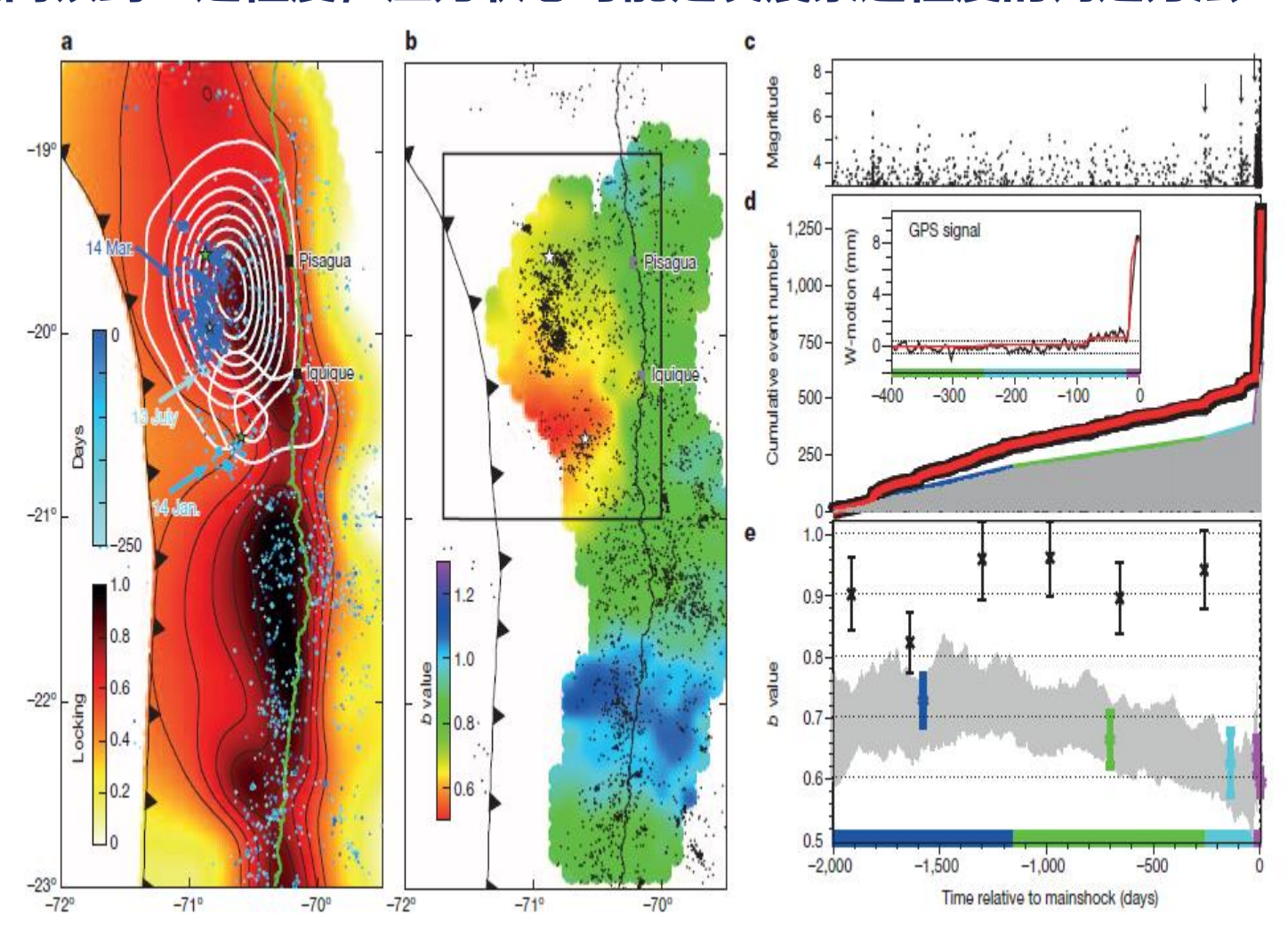
凹凸体确定 地点

级联破裂分析

闭锁程度 长期 依据形变观测分析孕震阶段 中长期



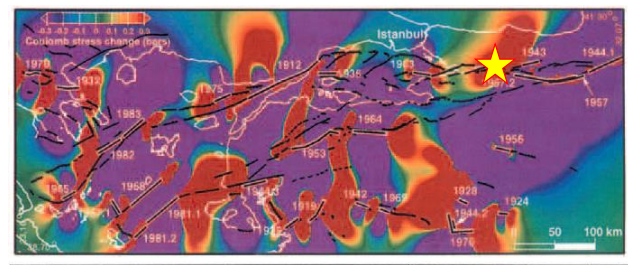
断层闭锁到一定程度,应力状态可能是发震紧迫程度的判定方法

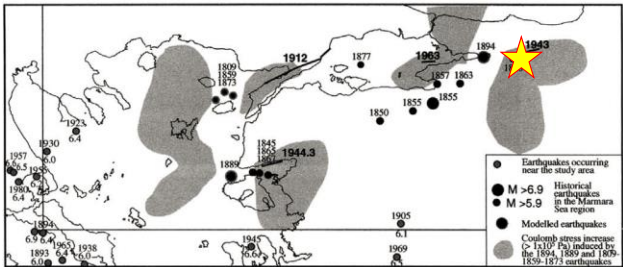


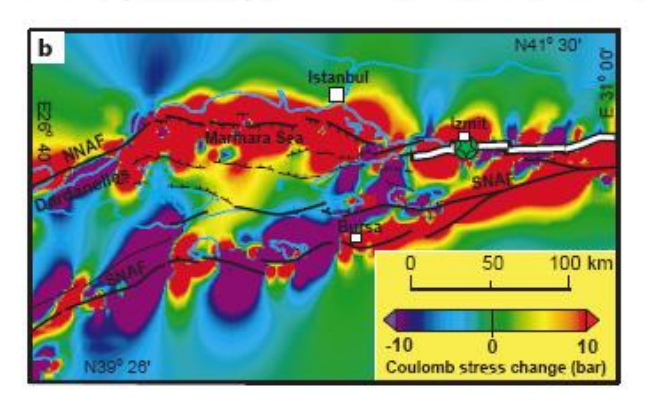
Bernd Schurr, et al. 2014



1999年土耳其伊兹米特7.8级地震前

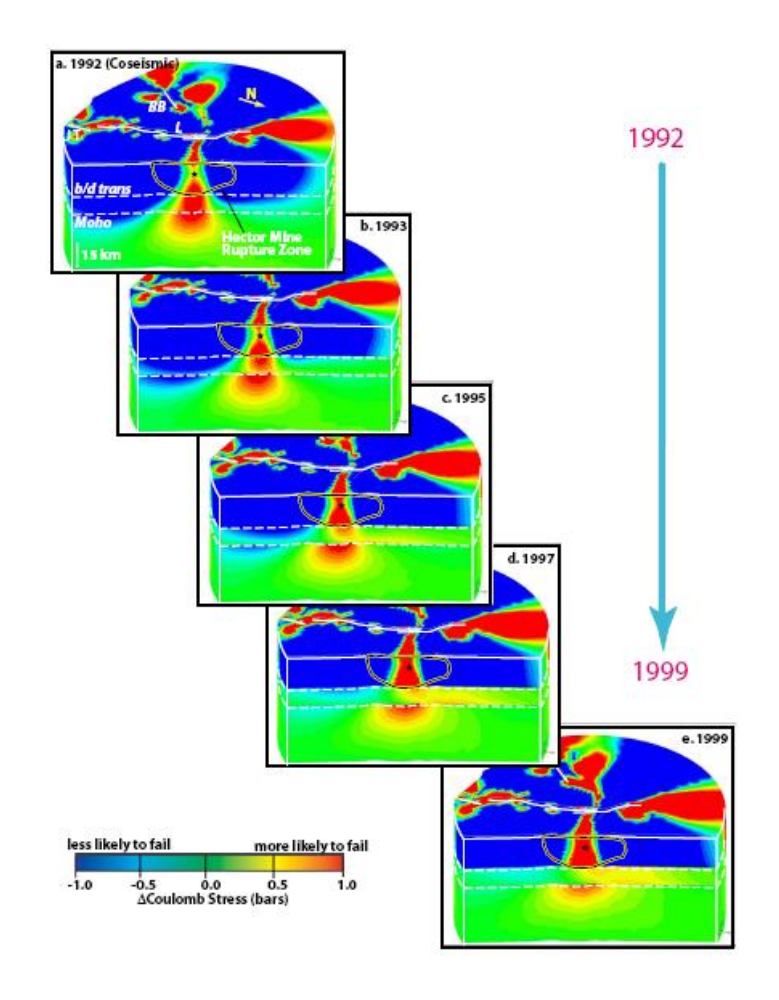






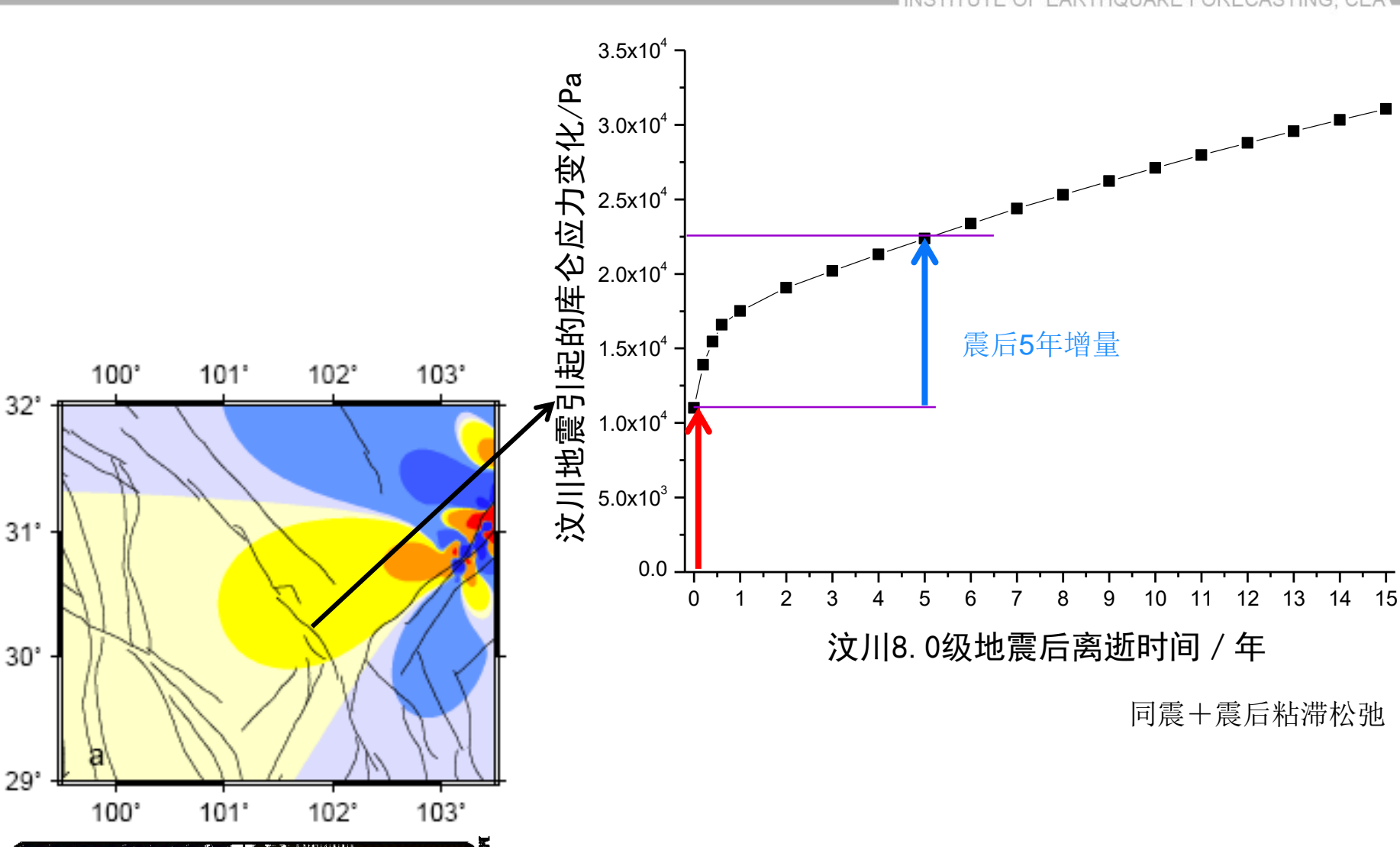
Nalbant et al., JGR, 1998 Hubert-Ferrarl et al., Nature, 2000

1999年美国南加州7.4级地震前



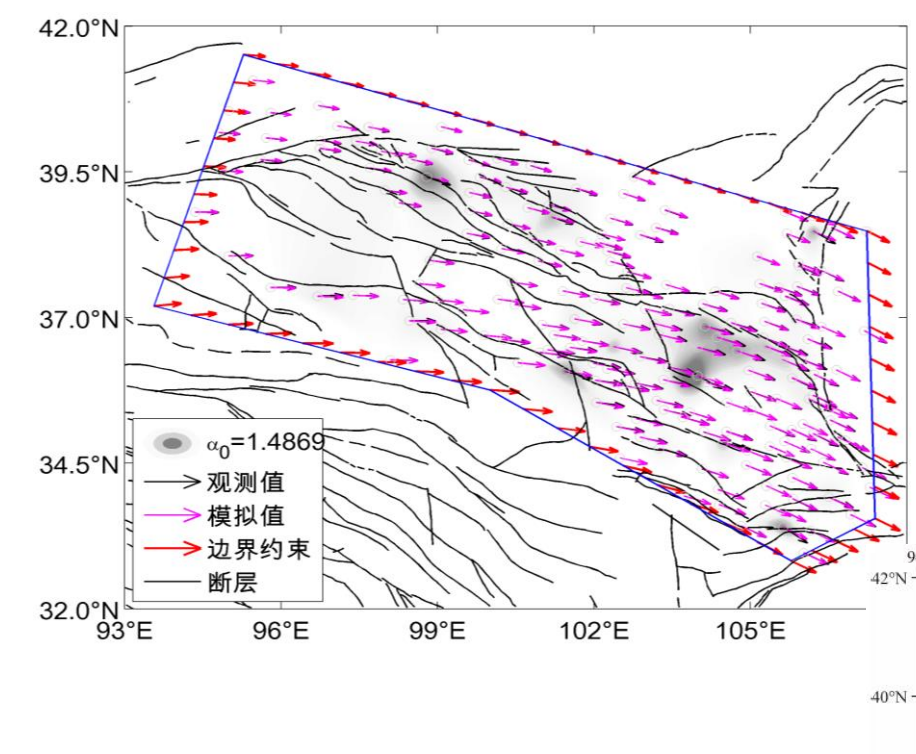
Lin & Freed,. Nature, 2004

汶川地震引起的库仑应力变化

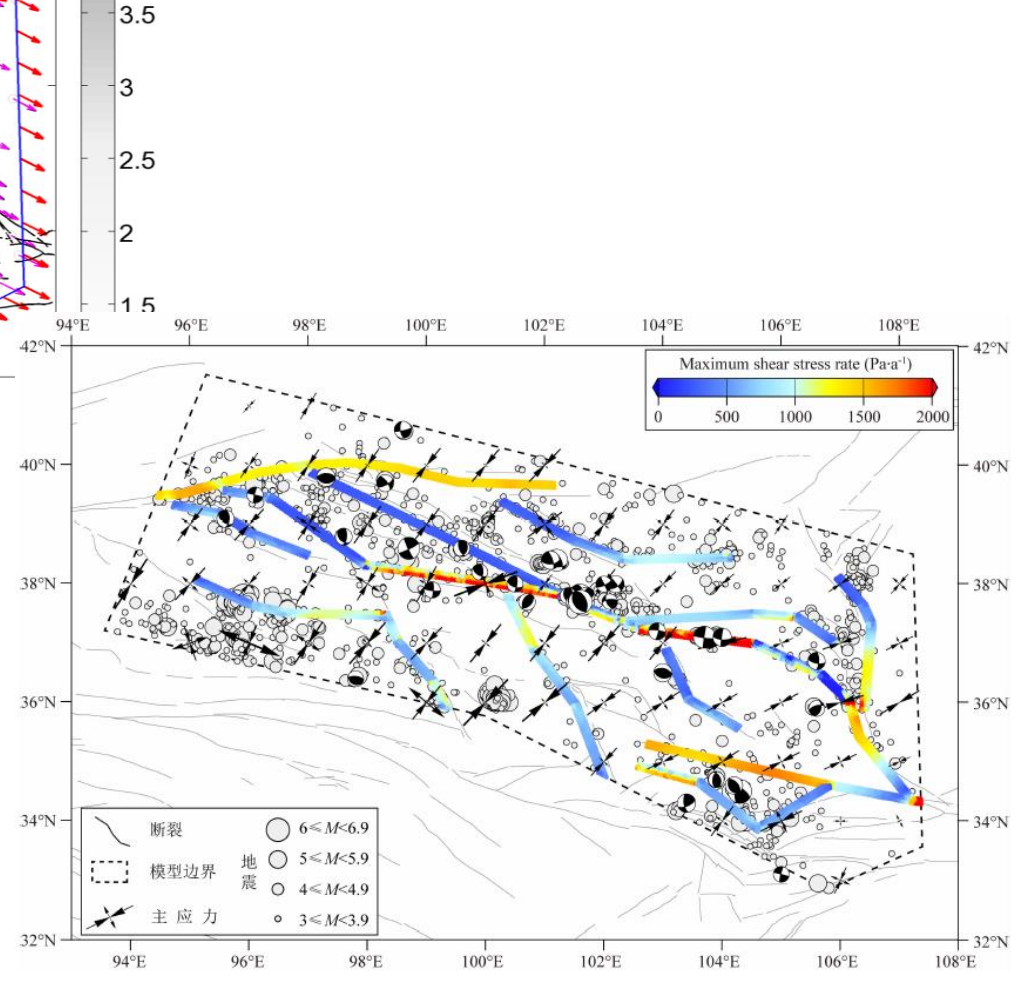








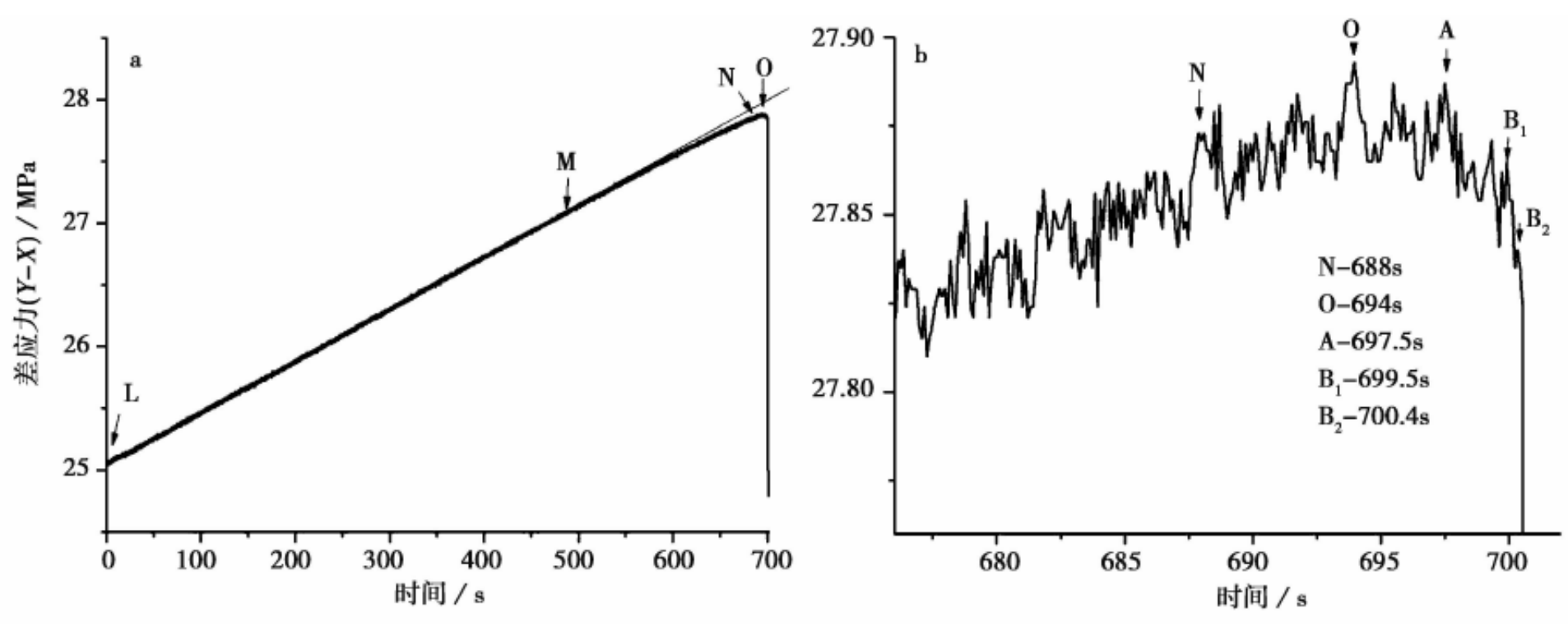
青藏高原东北缘地壳运动速率与剪切应力率



4.5

石富强等,2018

震源区应力状态的判定

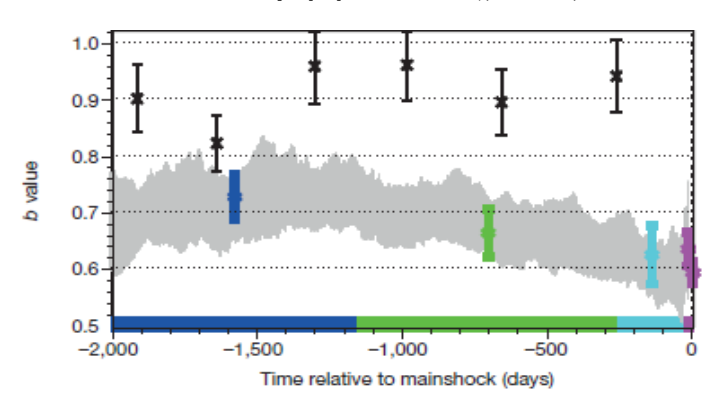


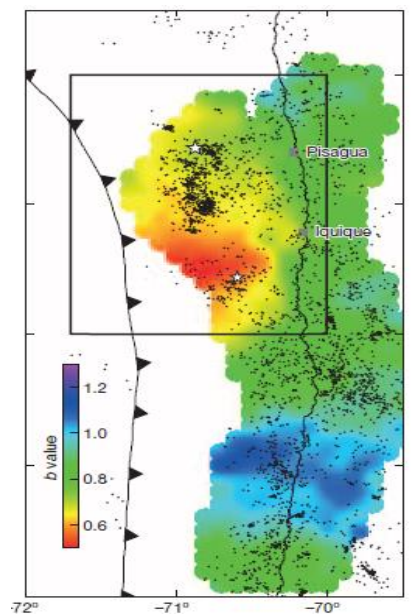
差应力-时间过程(a)与变形后期阶段的放大图(b)

马瑾和郭彦双,2014



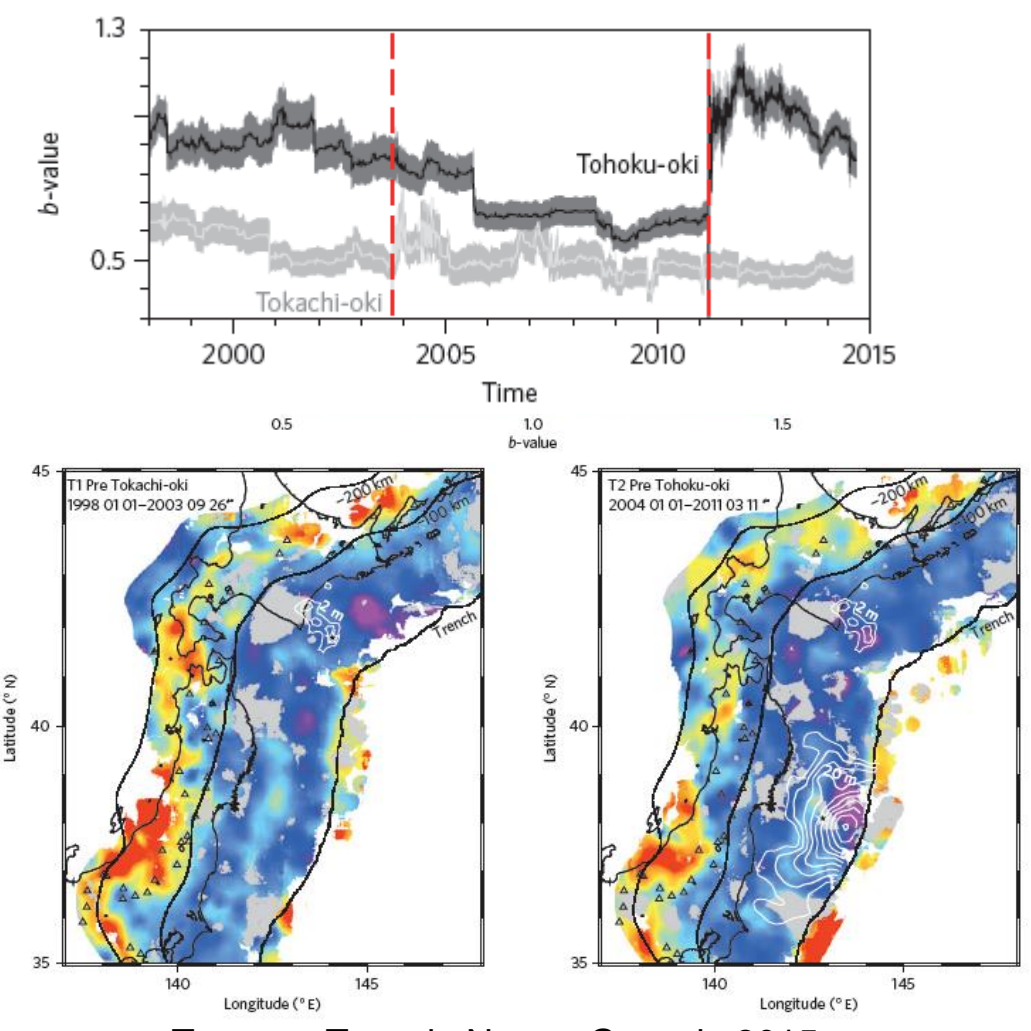
2014年智利8.1级地震前





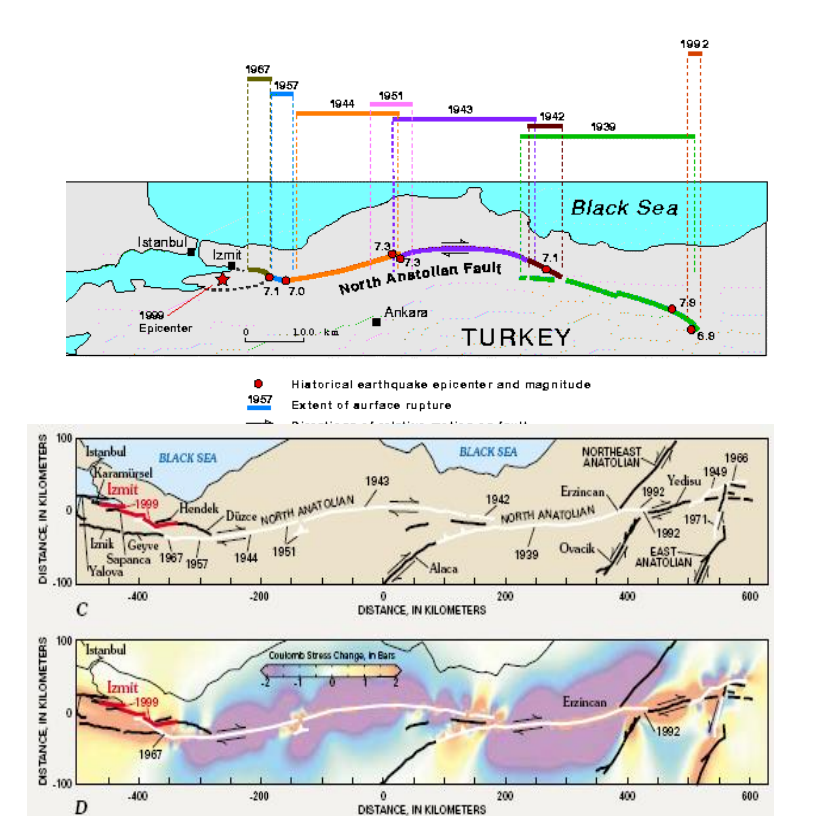
Bernd S, et al. Nature, 2014

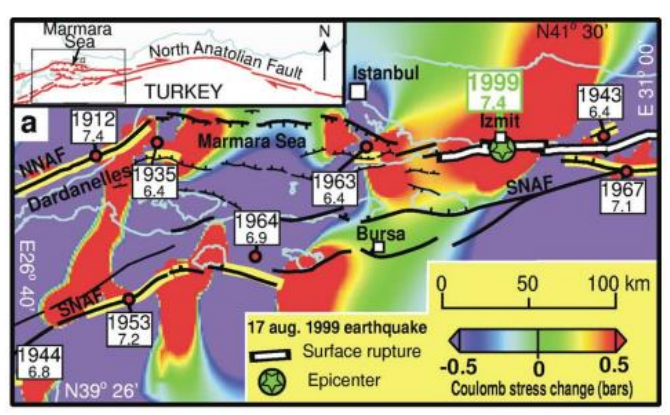
2003年日本8级地震前、2011年日本9级地震前

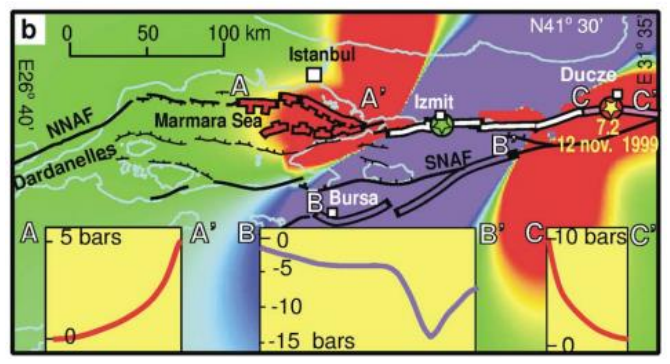


Tormann T, et al., Nature Geosci., 2015

断层应力在地震预测中的应用展望







King et al., 2001

 累积水平
 累积速率

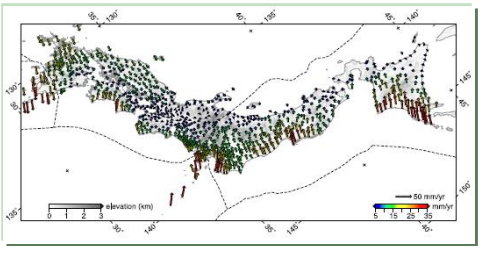
 地点
 震级

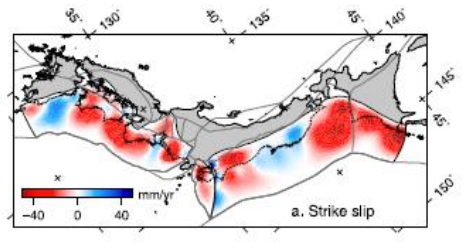
应力状态 长期-中期

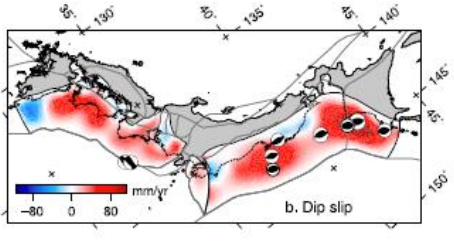
2 Master Model-ucere

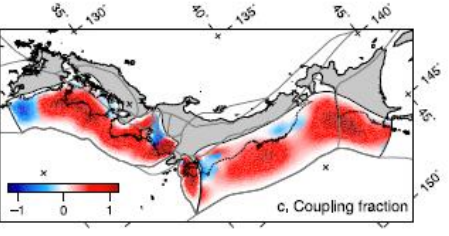


大地测量

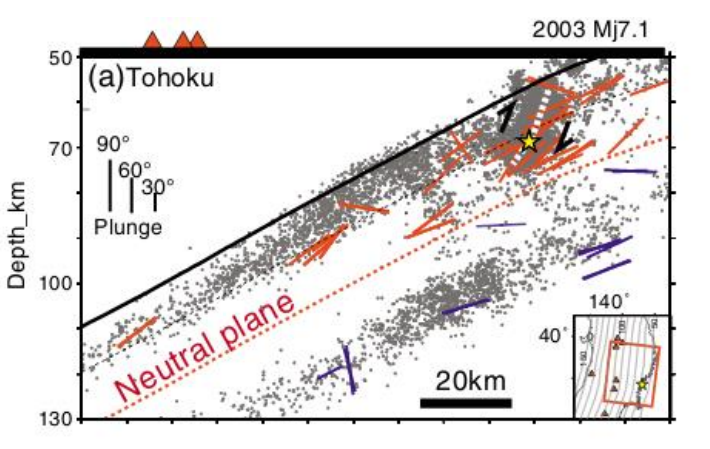








数字地震学



Central Chile Finally Breaks

Raul Madariaga', Marianne Métois', Christophe Vigny', Jaime Campos

earthquakes in the world: On aver- quakes (2,3). age, a magnitude 8 earthquake occurs there every 10 years or so. These earthquakes take place in the subduction zone, either as interplate ruptures at the interface between the Maule region was not identified as a gap, the South American and Nazca plates or as because a very large ed intraplate events within the subducted Nazca 7.8) had occurred ther plate. A few times in every century, massive (5); the deadliest ever

plate-interface earthquakes break several hundred kilometers in a single shock. This is what happened on 27 February 2010, when a major earthquake (magnitude 8.8) occurred in the Maule and Biobio regions in central Chile (see the first figure). This region had last experienced a major subduction earthquake in 1835, when Darwin (1) visited the area as part of his voyage on the Beagle. His description of the earthquake inspired many

'Laboratoire de Géologie et LIA Montessus de Ballore, CNRS and Ecole Normale Supérieure, 7523 1 Paris Cedex 05, France. ²LIA Montessus de Ballore, Departamento de Geofisica, FCFM, Universidad de Chile, Santiago, Chile. E-mail: madariag@geologie.ens.fr

hile is the site of some of the largest seismologists and historians of Chilean earth-

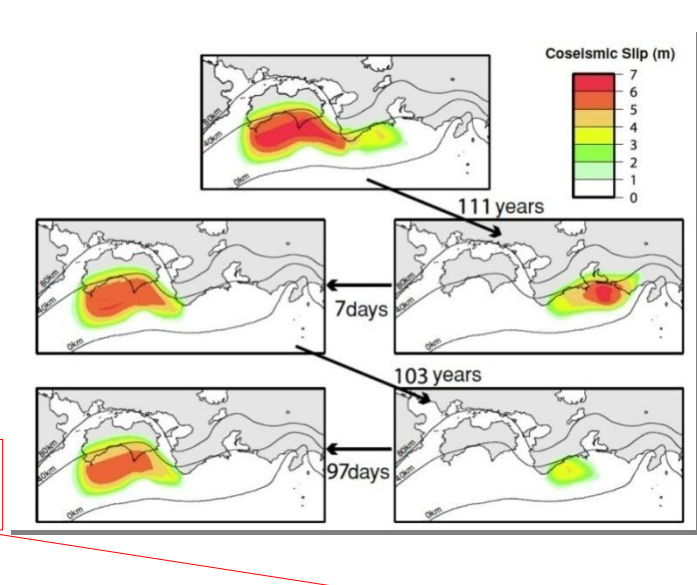
In the early 1970s, Kelleher proposed that Chilean earthquakes occurred on "gaps" left from previous large events (4). At the time, Chile (6-9).

isunami damage. Shortly after the Maule mega-earthquake, a tsunami hit nearby coastal areas, such as the village of Penco (near Concepción), shown here

地球动力学

Earth Simulator





It has been known for 10 years that the site of the Maule mega-earthquake of 27 February 2010 was fully locked and ready to break.

claimed some 20,000 lives (3). In the 1990s, seismologists found that the 1939 earthquake was not a subduction earthquake but

It has been known for 10 years that the site of the Maule mega-earthquake of 27 February 2010 was fully locked and ready to break.

most ancient gaps

In the second figure, we show the plate coupling in the area of the Maule earthquake derived from all available GPS data. The red area

日本地震预报思路

- Long-term prediction
 - Statistical prediction using time history of earhtquake occurrence.
- Mid-term prediction
 - Computer simulation based on physical model using monitoring data.
- Short-term prediction
 - Prediction using precursory phenomena of earthquakes.

基于长期地震预测结果的中短期预报

UCERF->UCERF+ETAS、 UCERF+TD Uniform California Earthquake Rupture Forecast

Field et al., 2014, BSSA

Field et al., 2015, BSSA

Field et al., 2017, BSSA

UCERF3-TI

UCERF3-TD

UCERF3-ETAS

地震地质 断层产状、速率 地震地质 强震离逝时间 现代地震目录地震活动统计

大地测量 滑动速率应变率 中强地震长期发生率

中强地震条件概率

未来地震 发生率

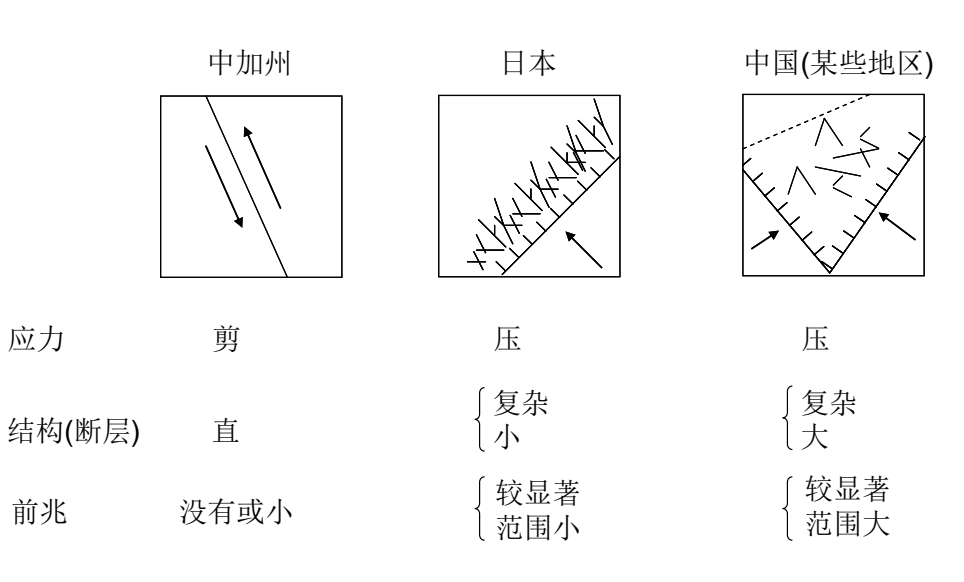
测震学 b值等活动参数

历史强震目录地震概率分布

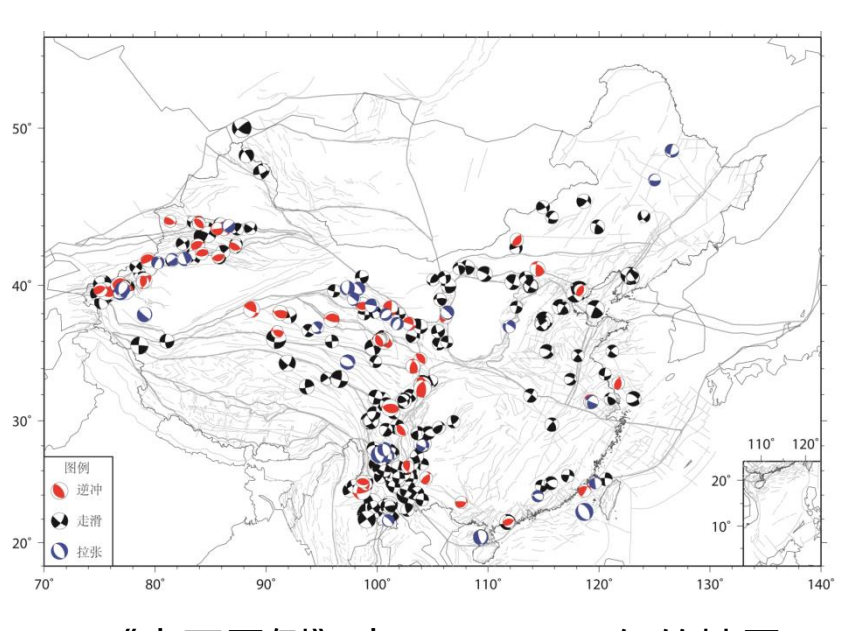
ETAS模型 模拟触发地震



震源异常主要跟踪资料



美国加州、日本、中国简化构造与前兆现象的本质 (Mogi,1984)



《中国震例》中1966-2012年的地震

地球物理场资料

区域地壳变形异常 区域重力观测异常 区域地磁观测异常 断层运动异常

地震活动异常

地震第二类空区 地震条带

定点前兆异常

区域异常时空演化

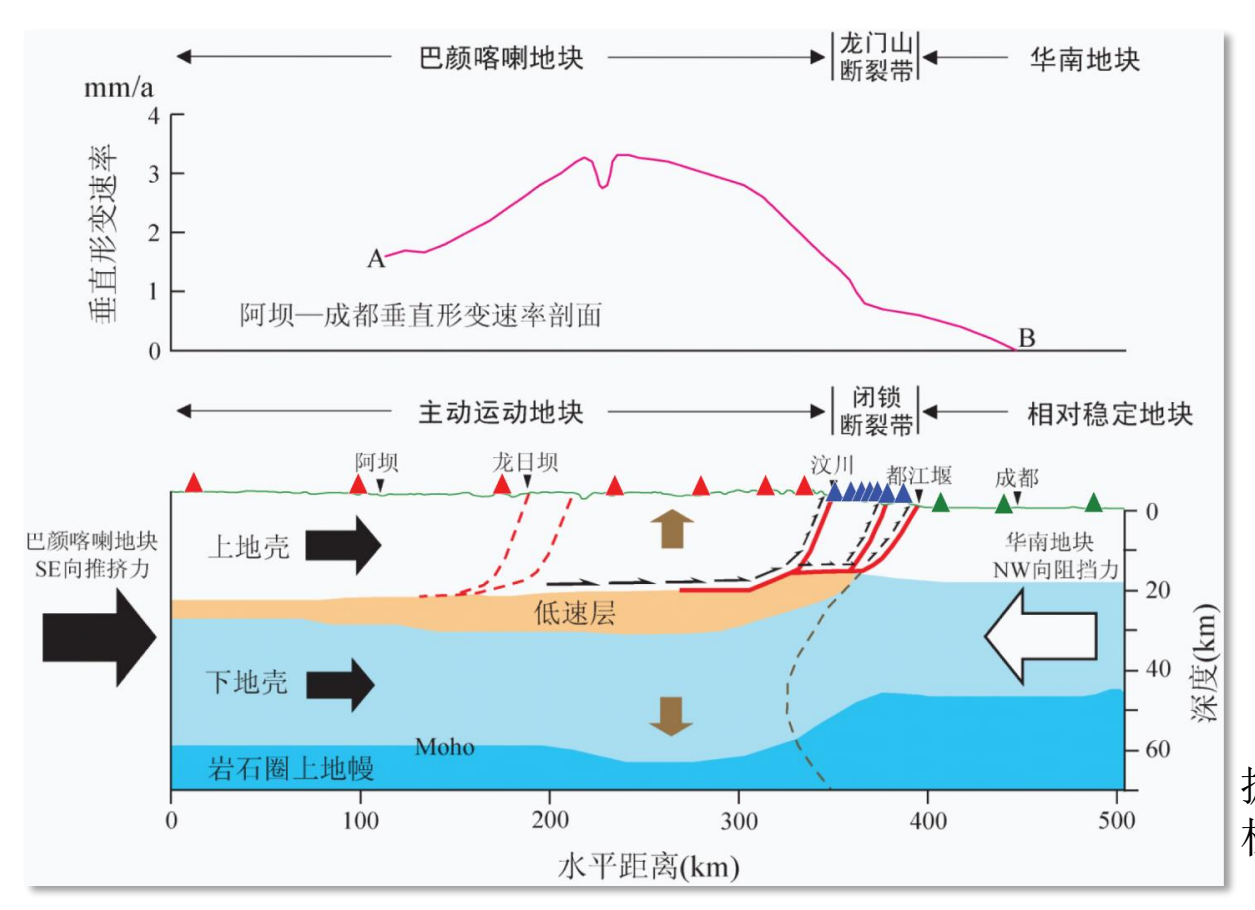


INSTITUTE OF EARTHQUAKE FORECASTING, CEA

震源物理模型

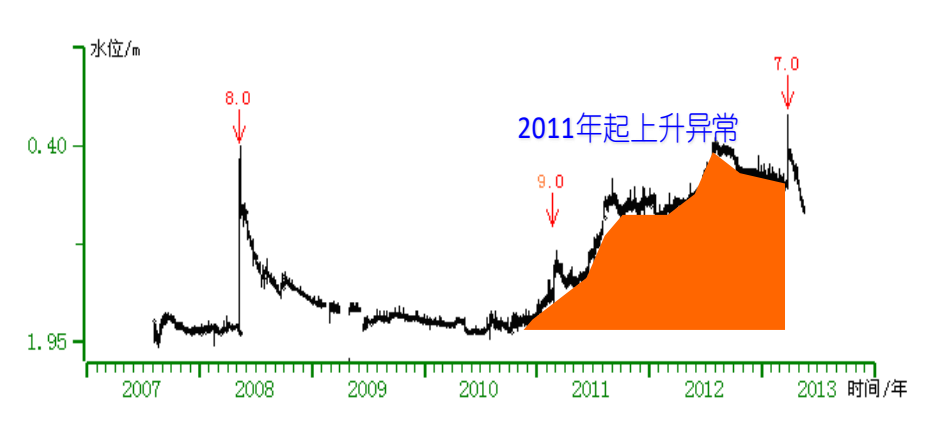
不同孕震阶段 不同构造部位 不同类型、不同现象的观测异常

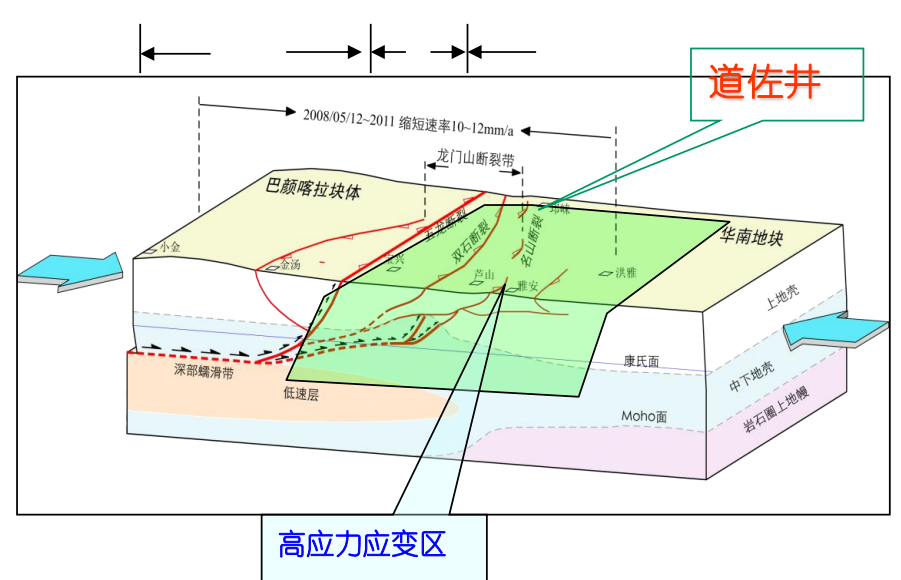
基于强震物理过程构建 年度强震发震紧迫程度

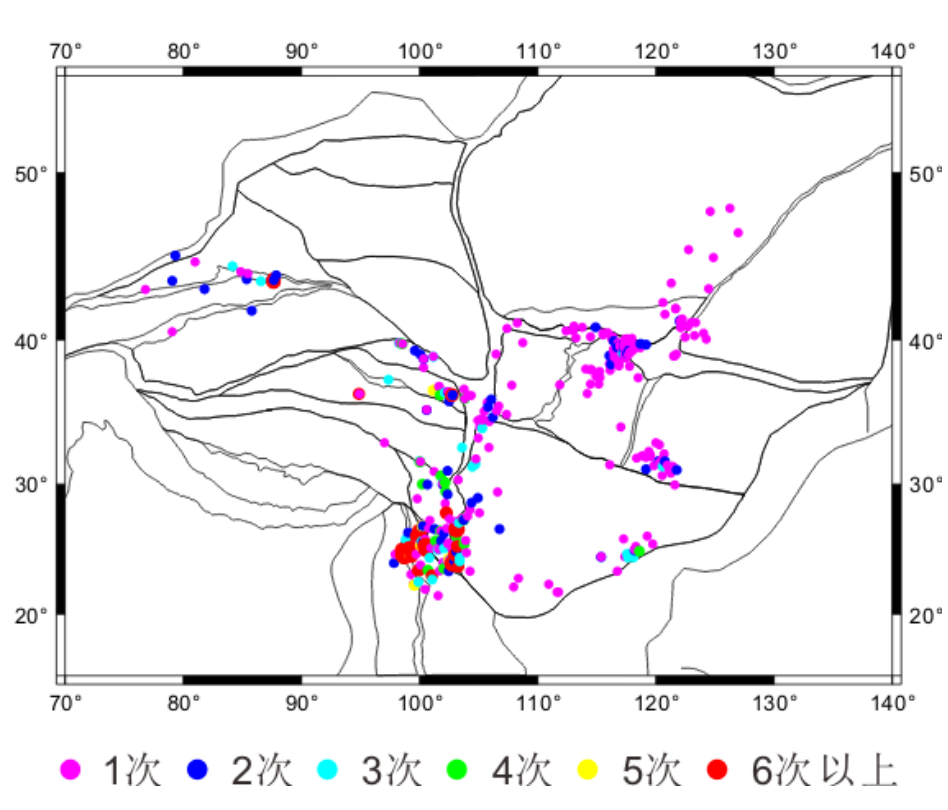


据张培震等(2009) 杜方等(2009)改绘









地下流体观测台站映震能力



中国震例



震例回溯性研究 异常识别技术 异常特征研究 异常与未来强震关系研究

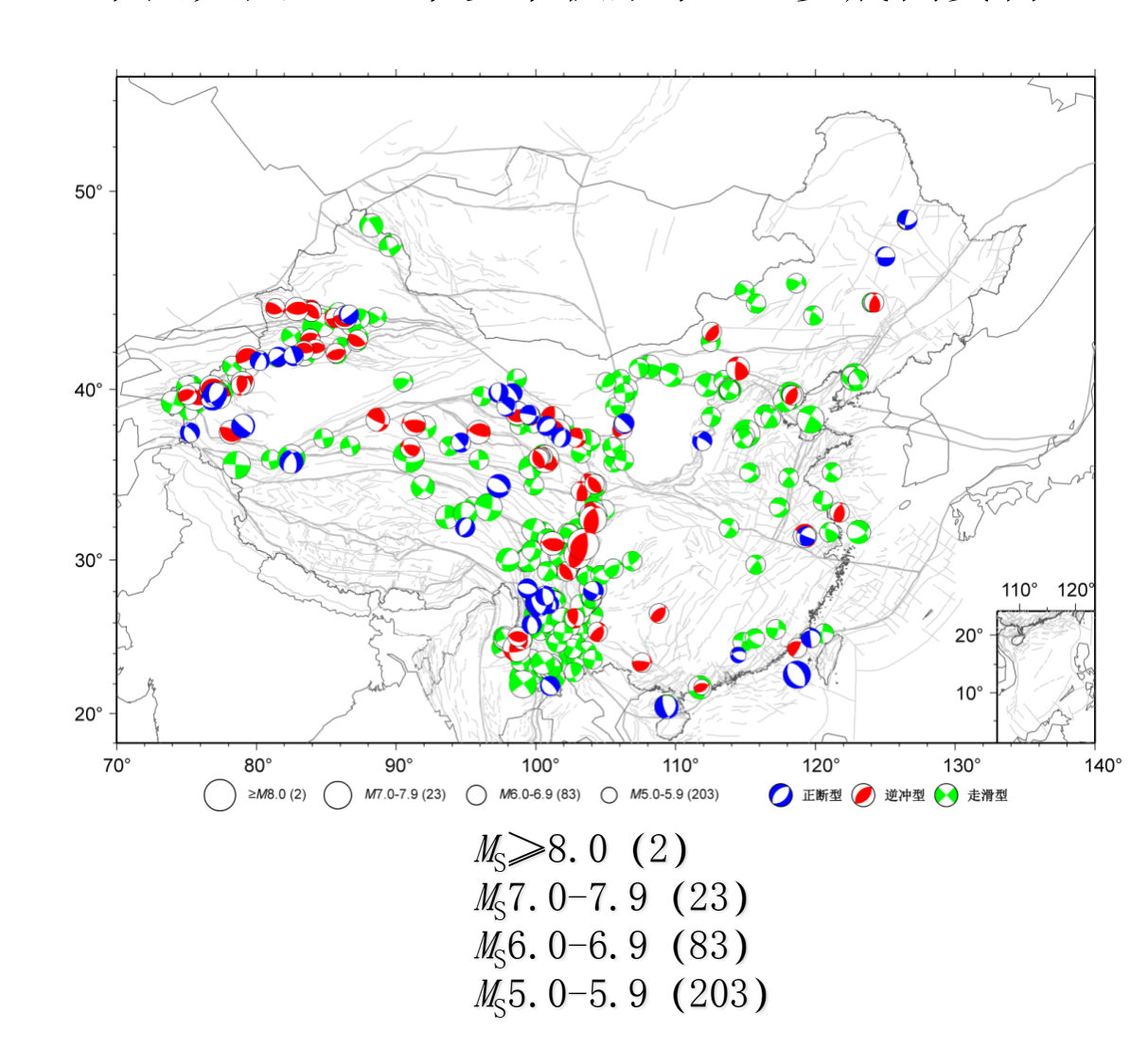


预测方法有效性 地点、时间、**震级预测指标** 指标体系与软件



区域短临预测模式

中国大陆1966年以来积累了300多震例资料



3、关键科学问题和技术路线



■ INSTITUTE OF EARTHQUAKE FORECASTING, CEA

■ 关键科学问题1: 基于密集观测构建大陆型强震震源物理模型

基于大地测量、地震学、地球化学等密集观测资料,构建介质模型、断层几何模型、断层运动模型、断层应力模型、断层破裂模型等基础模型在内的大陆型强震震源物理模型。

■ 关键科学问题2: 大陆型强震孕育动力学过程

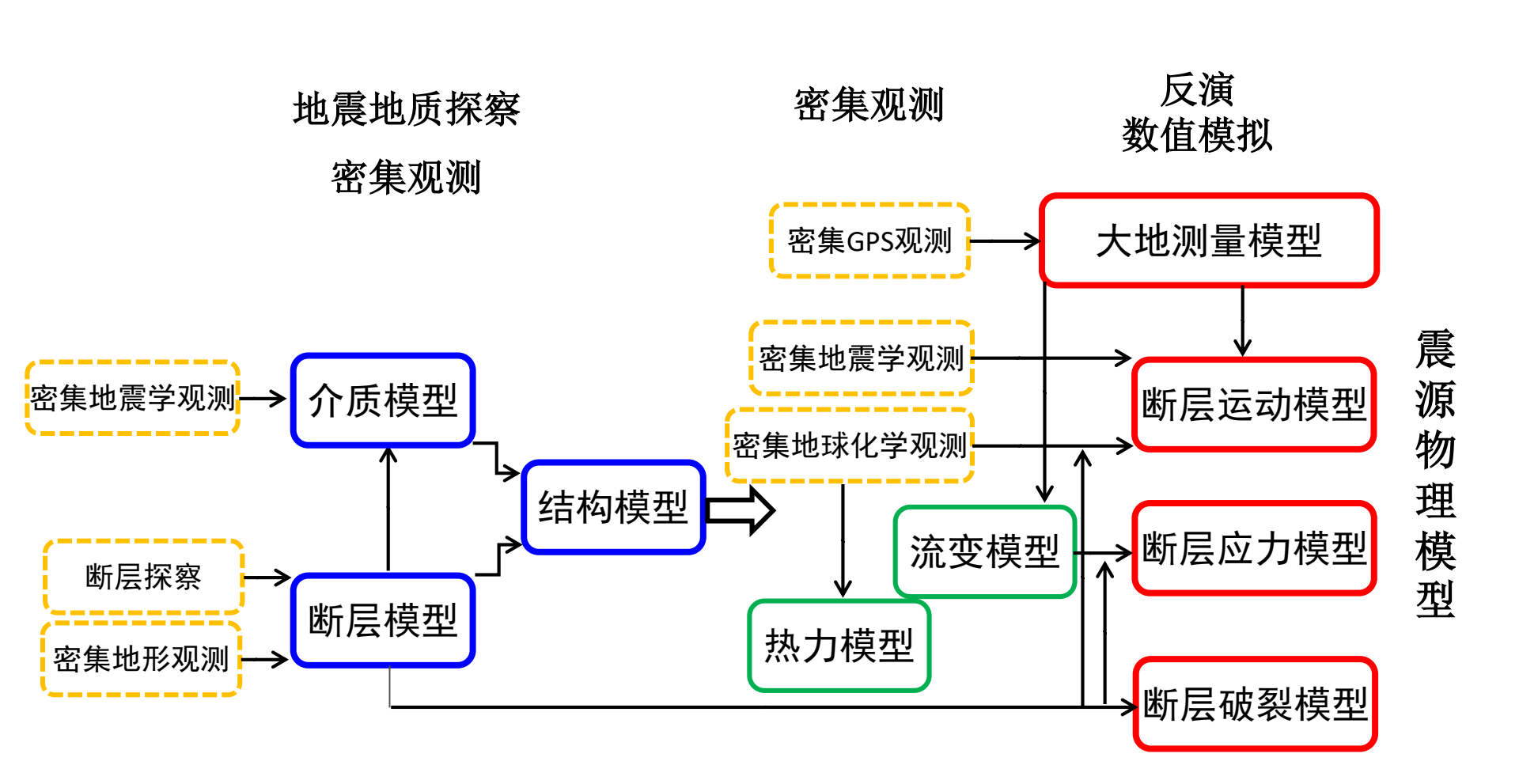
针对中国大陆典型走滑、拉张、逆冲构造带,基于上述震源物理模型,利用"空间换时间"工作思路,构建中国大陆不同类型强震的孕育动力学过程。

■ 关键科学问题3: 基于物理模型的强震综合概率预测

基于震源物理模型和强震孕育动力学过程,分别给出主断裂各断层段级联破裂概率、各断层段现今强震长期概率、各断层段强震长期概率 应力修正结果、基于强震长期概率的中短期概率增益。。



INSTITUTE OF EARTHQUAKE FORECASTING, CEA



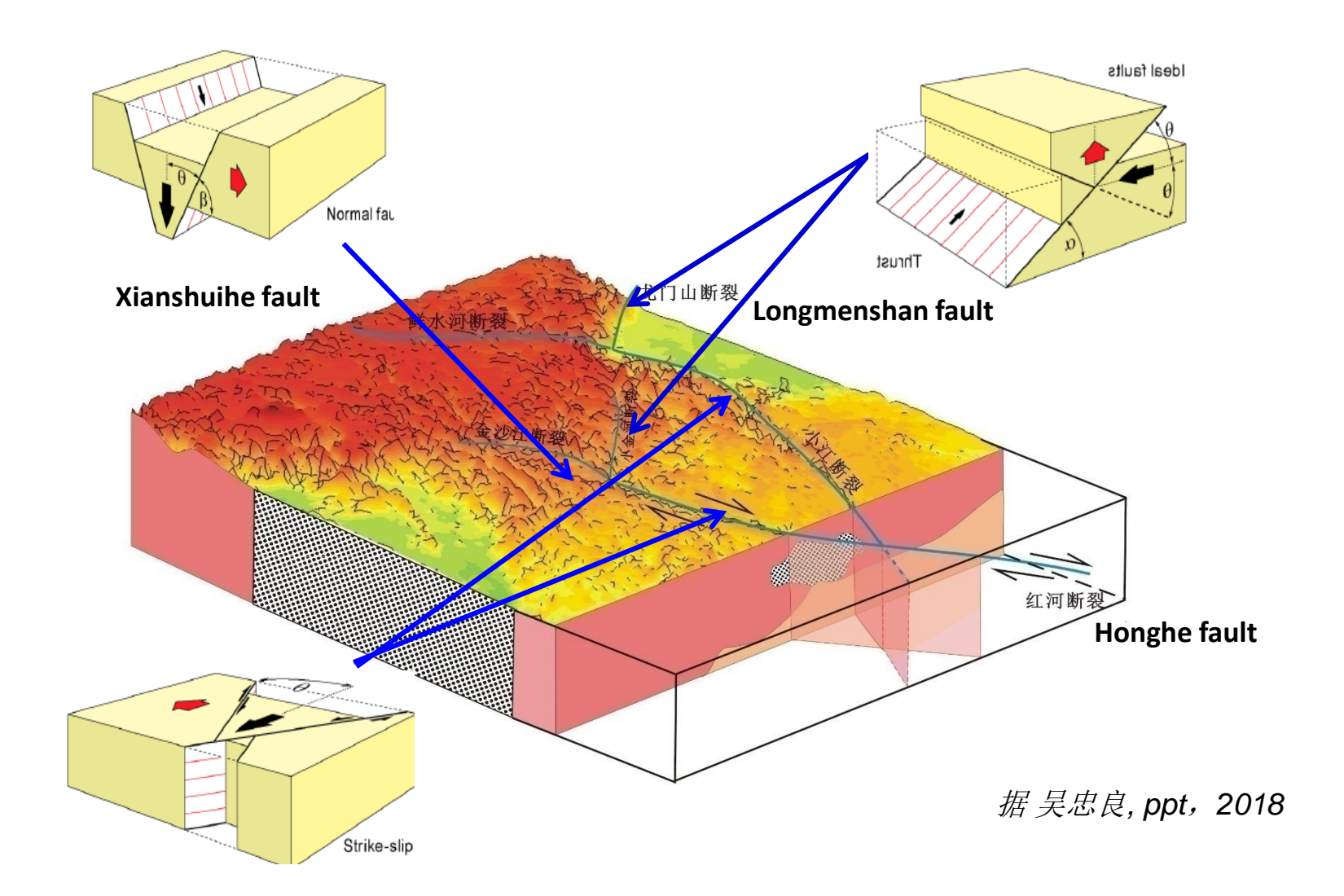


密集观测 反演、数值模拟 变形模型 大地测量模型 断层运动模型 密集地壳变形观测 流变模型 重新定位 重复地震 震 断层应力模型 密集地震学观测 源 震源机制解 活动参数 物 理 孕震阶段 模 土壤气剖面 型 密集地球化学观测 断层破裂模型 温泉测点 热力模型 介质模型 结构模型 断层模型



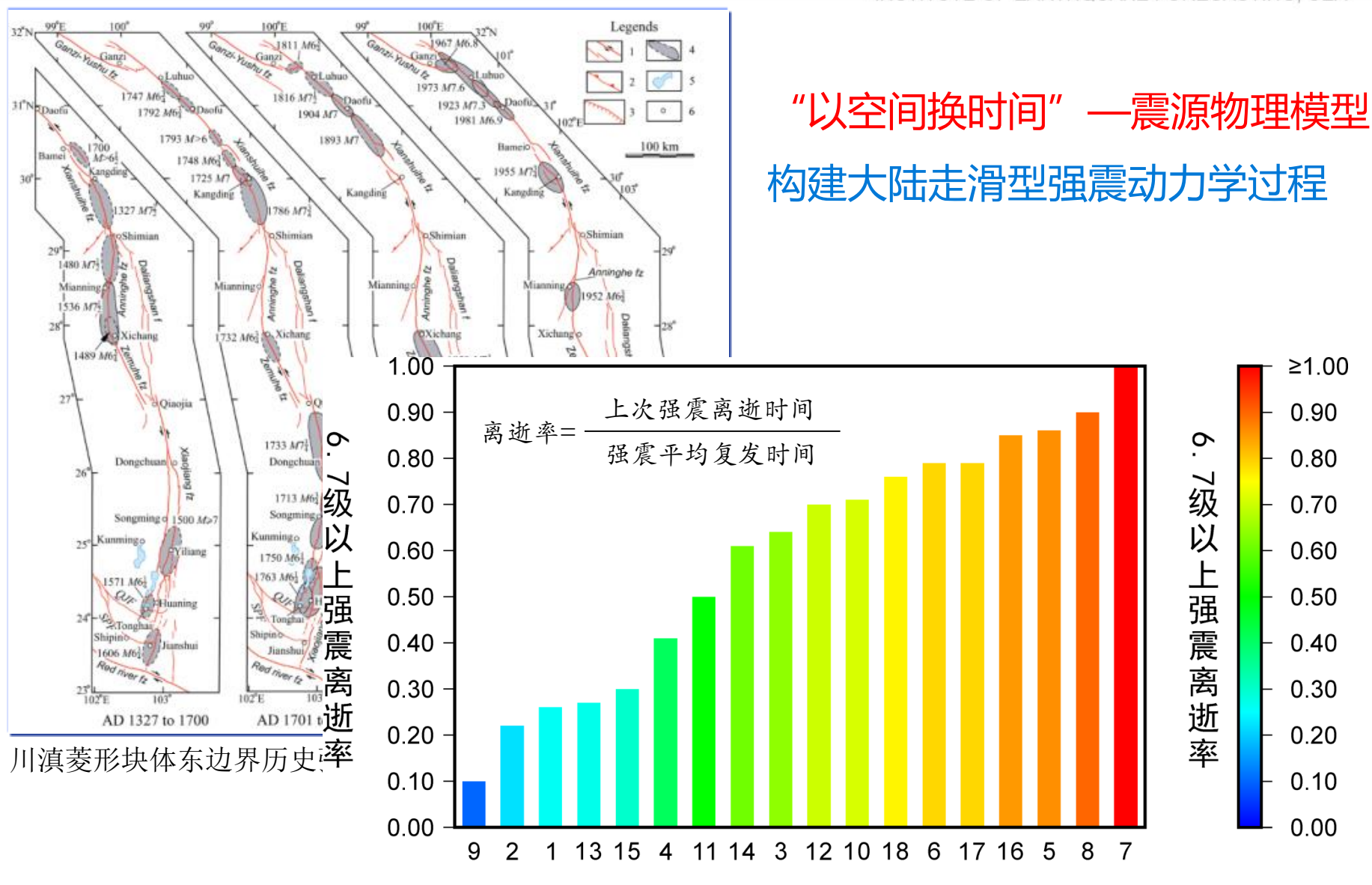
INSTITUTE OF EARTHQUAKE FORECASTING, CEA

川滇菱形块体的活动地块与断层模型构建





INSTITUTE OF EARTHQUAKE FORECASTING, CEA



断层段编号(西北到东南依次增加)



INSTITUTE OF EARTHQUAKE FORECASTING, CEA

断层强闭锁背景下,震源区应力明显升高,震源异常现象显著 "由静变动"

2011年日本9级地震前

有记录以来7级强震

数十年尺度,强震破裂空段

1997-2000年地壳速度场

10年尺度, 断层强闭锁

1998年以后b值时序曲线

5年尺度,应力显著升高

海底形变观测

3年尺度,震源异常活动

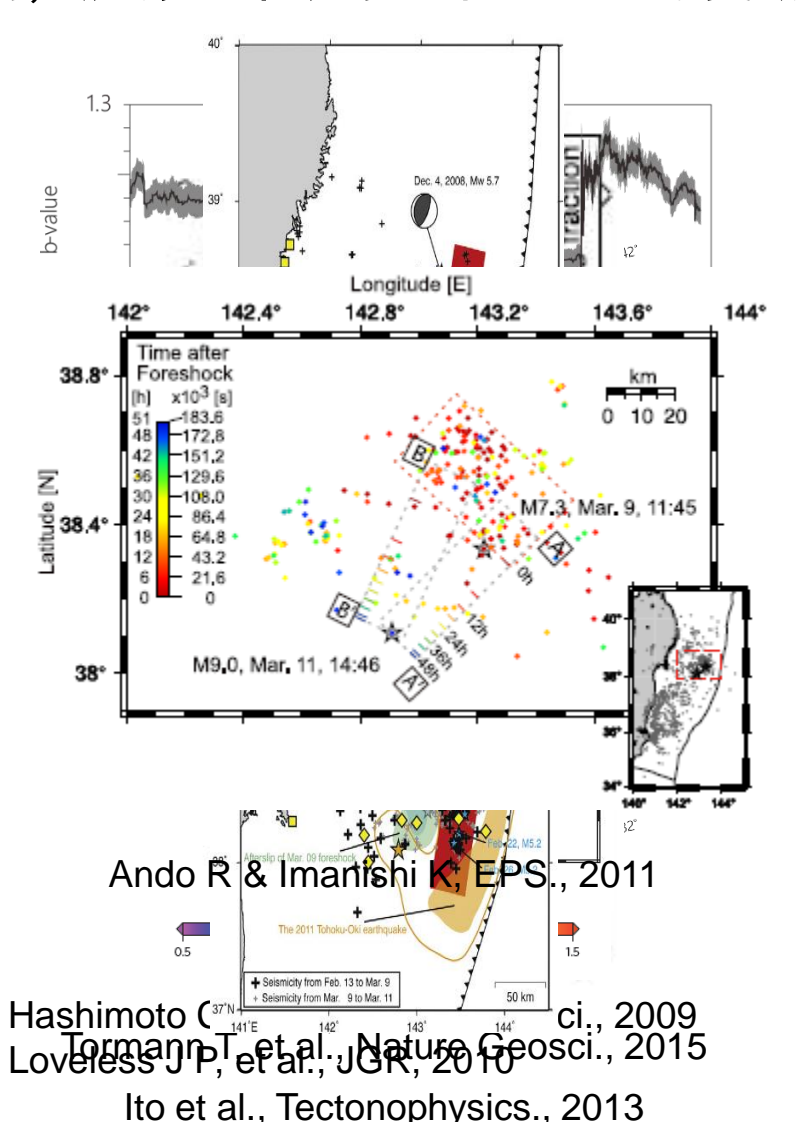
海底形变和地震观测

震前数月,震源异常活动 伴随中等地震活动

地震观测

震前2天,7级前震

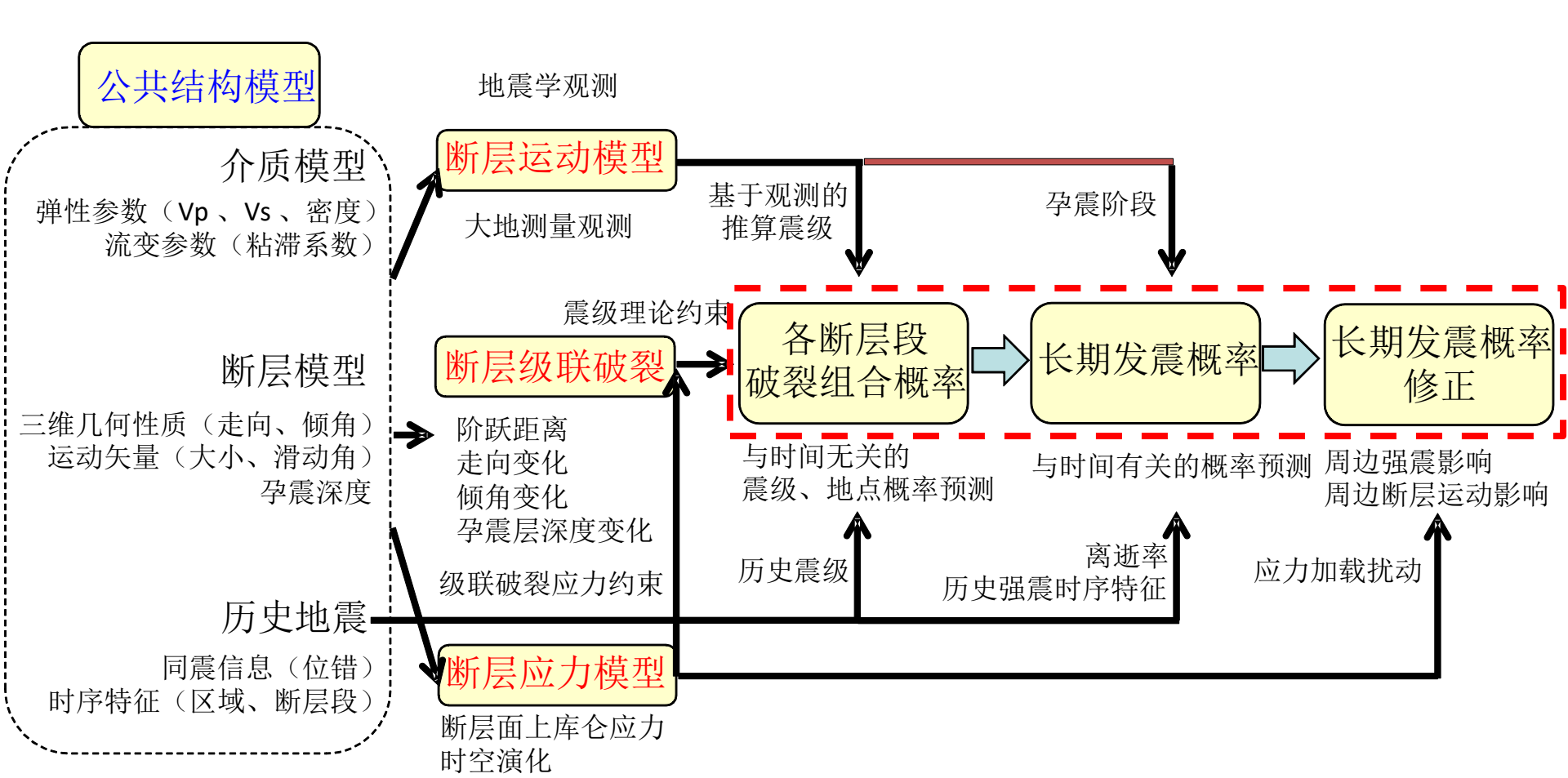
₩9级地震发生





INSTITUTE OF EARTHQUAKE FORECASTING, CEA

USYERF (统一川滇地震破裂预测) 技术路线



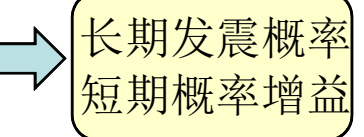


INSTITUTE OF EARTHQUAKE FORECASTING, CEA

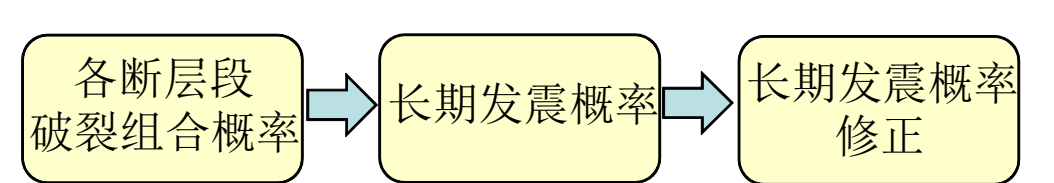
基于长期地震预测结果的中短期预报

Uniform Sichuan-Yunnan Earthquake Rupture Forecast

USYERF-SEP



已有震例



与时间无关的 震级、地点概率预测

与时间有关的概率预测 周边强震影响 周边断层运动影响

USYERF-TI

USYERF-TD US

USYERF-TDS



新资料

USYERF-AI

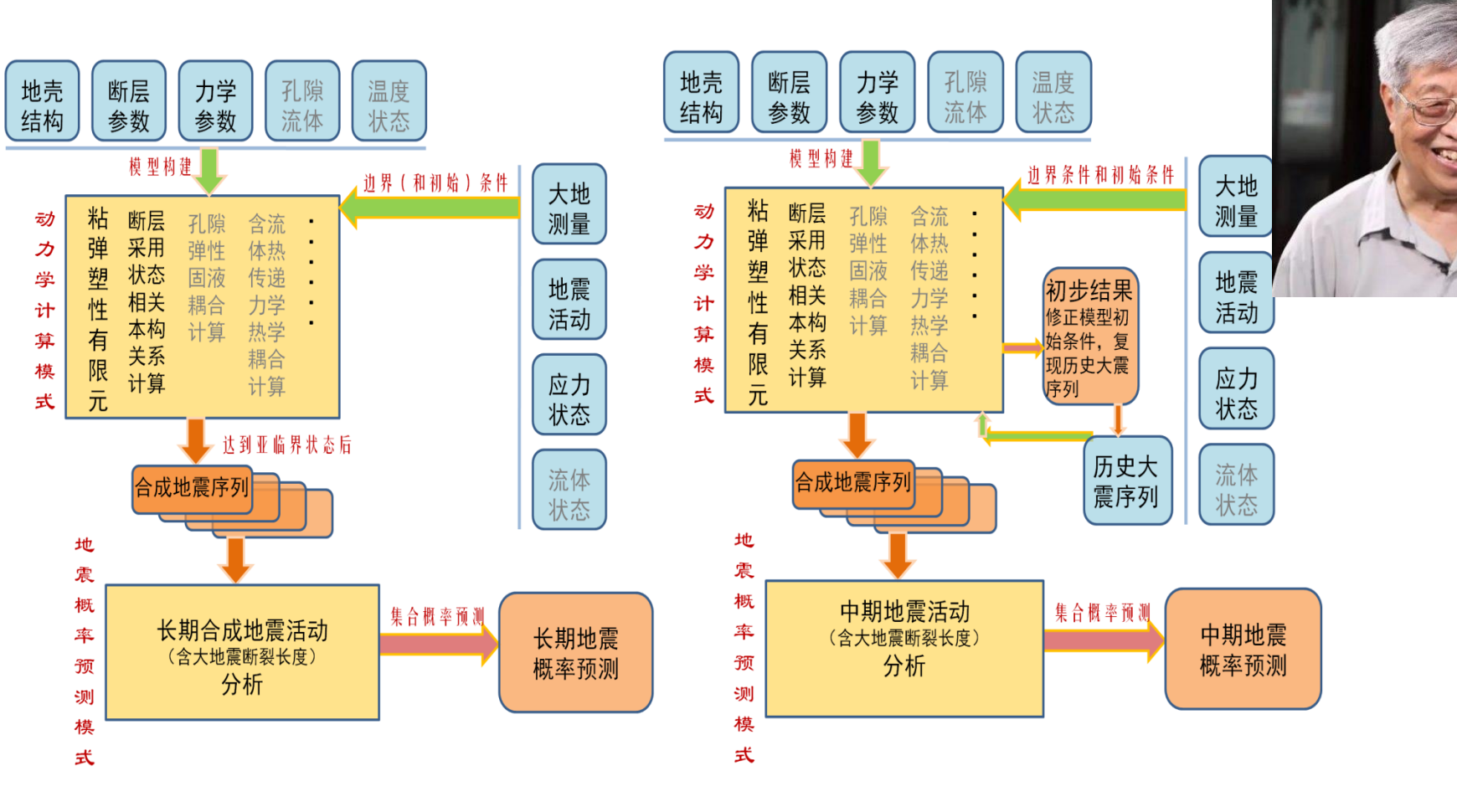
Uniform China Earthquake Rupture Forecast



INSTITUTE OF EARTHQUAKE FORECASTING, CEA

地震数值预测联合实验室(筹建)

中国地震局地震预测研究所,中国科学院大学,南方科技大学



石耀霖, 2018



INSTITUTE OF EARTHQUAKE FORECASTING, CEA

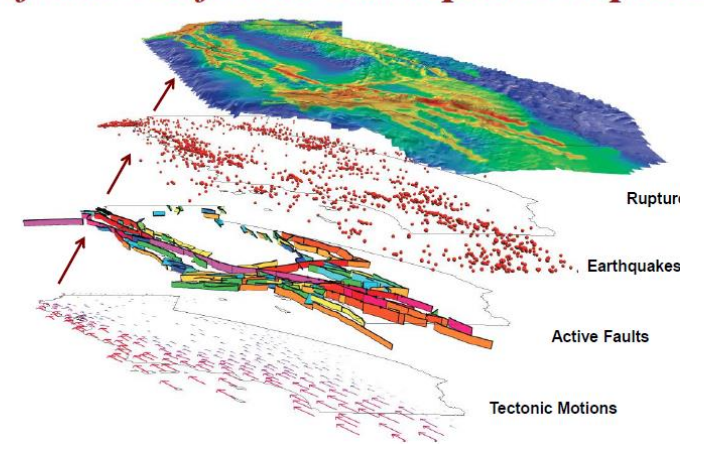
地震数值预测联合实验室(筹建)

中国地震局地震预测研究所,中国科学院大学,南方科技大学

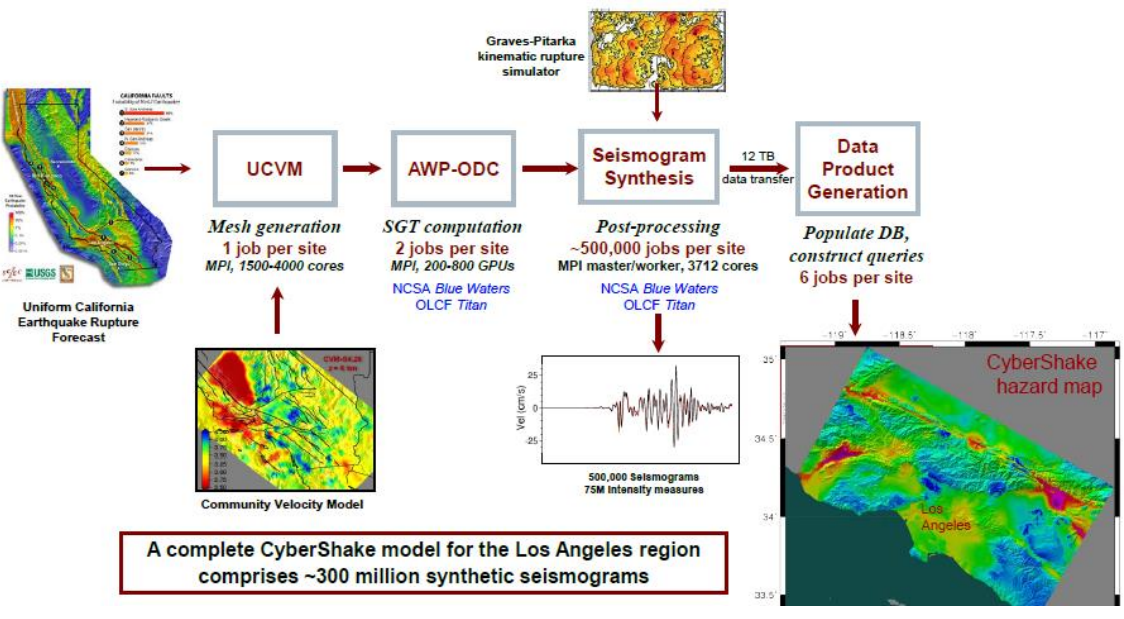
基于地震破裂预测模型的强地面运动数值模拟及强震风险预测

UCERF

Uniform California Earthquake Rupture Forecast



Coupling of Models in the CyberShake Workflow



John E. VIDALE,2018



物理主体模型

预测主体模型

统一结构模型

从板块到断层的动 力加载过程

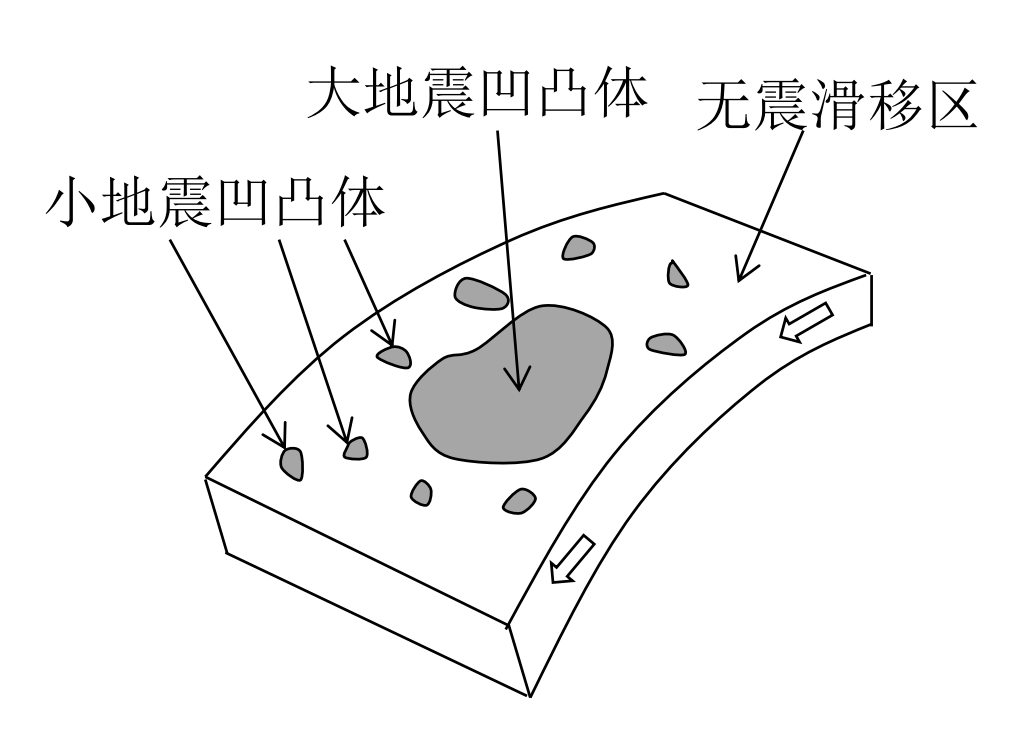
大陆型强震震源物 理模型 基于强震动力学过程的物理预报方法探索

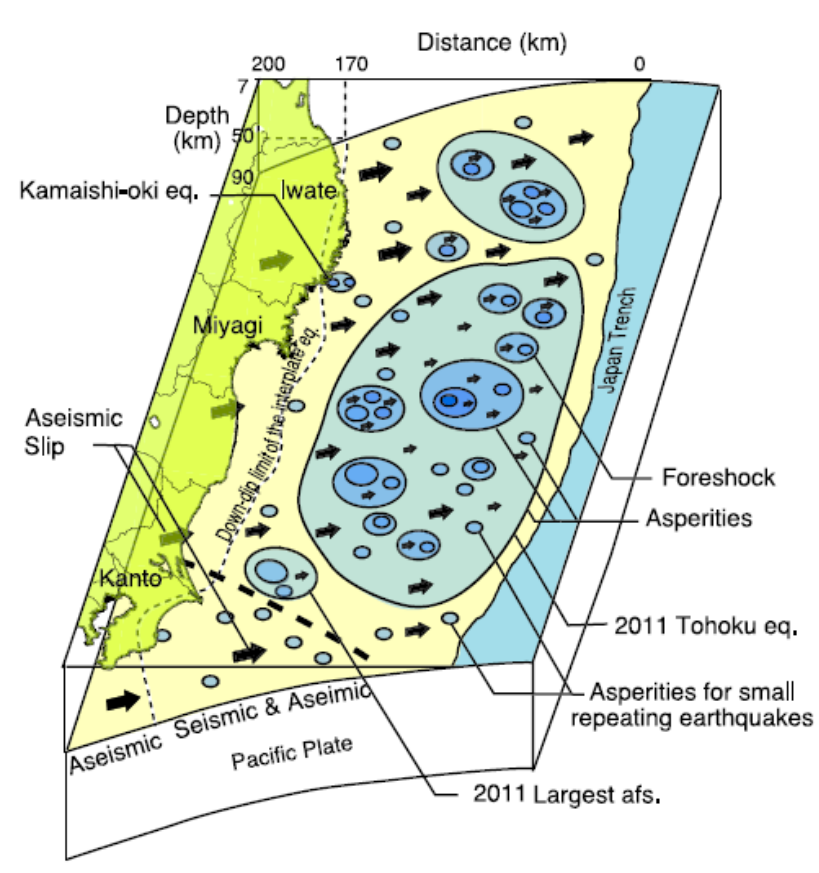
基于物理观测的概率 预测综合模型

强震动力学概率预测

强震地表响应

不同震级的凹凸体空间分布

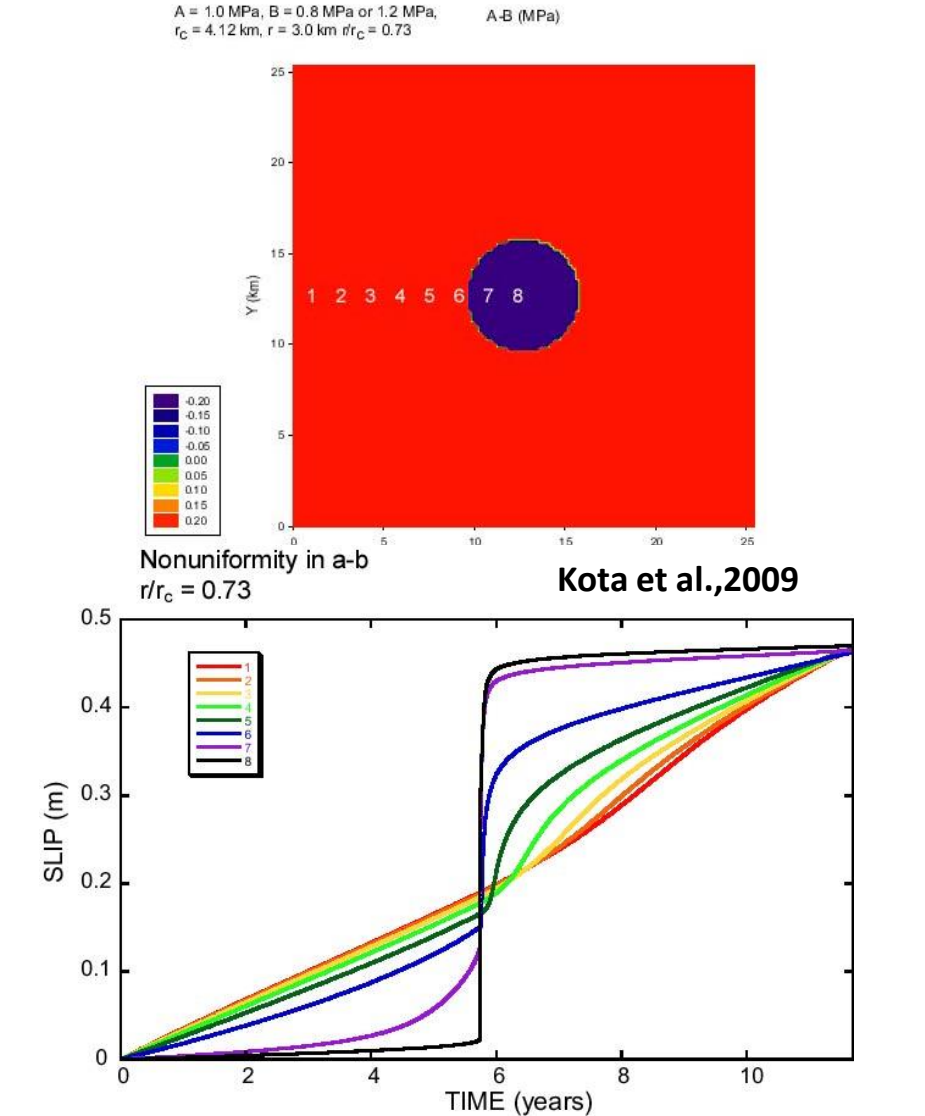


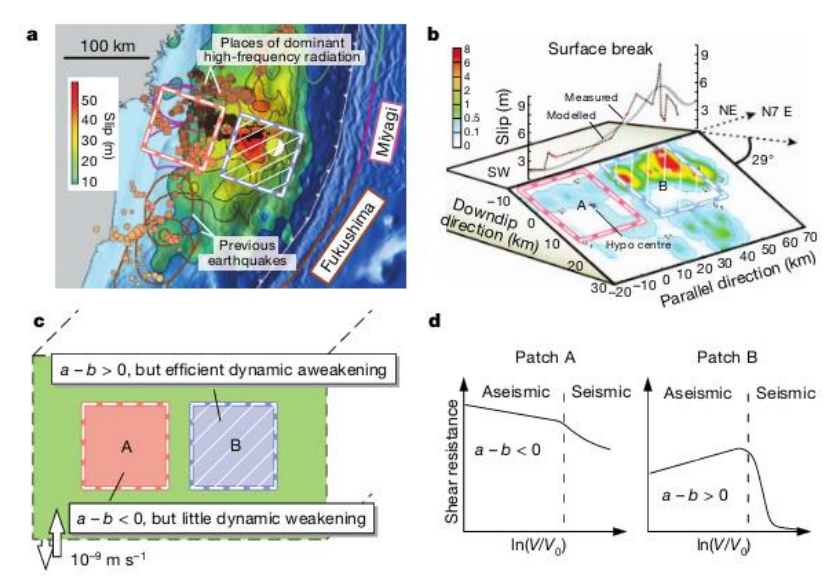


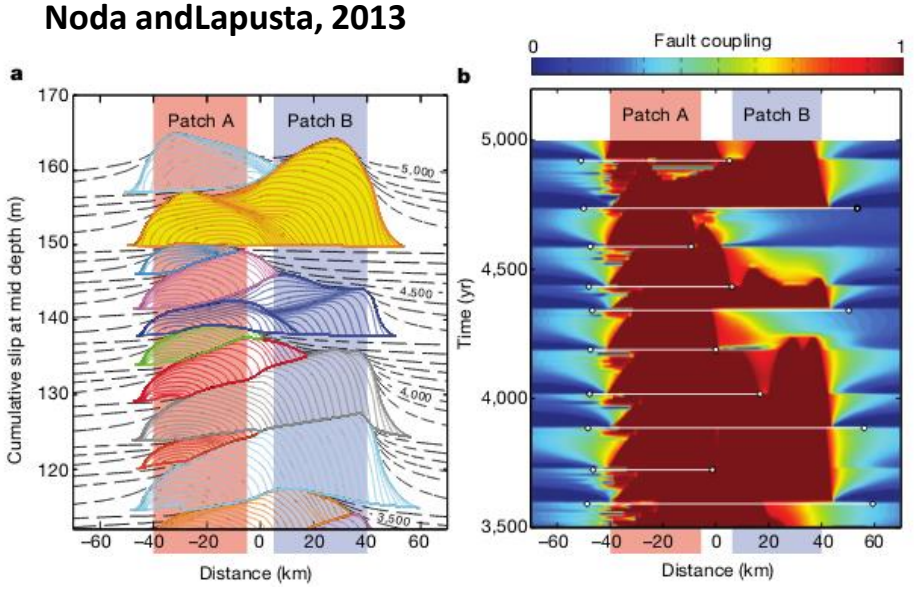
Uchida N and Matsuzawa T, 2011



断层摩擦性质的复杂性

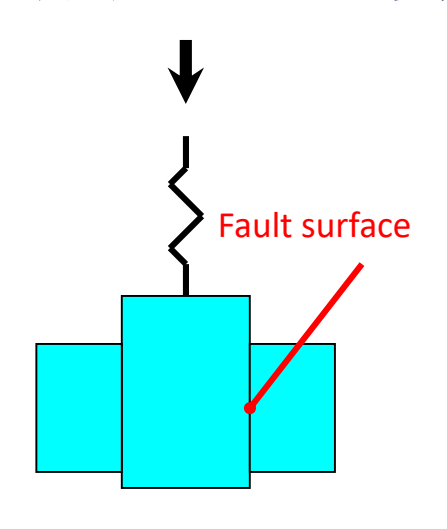


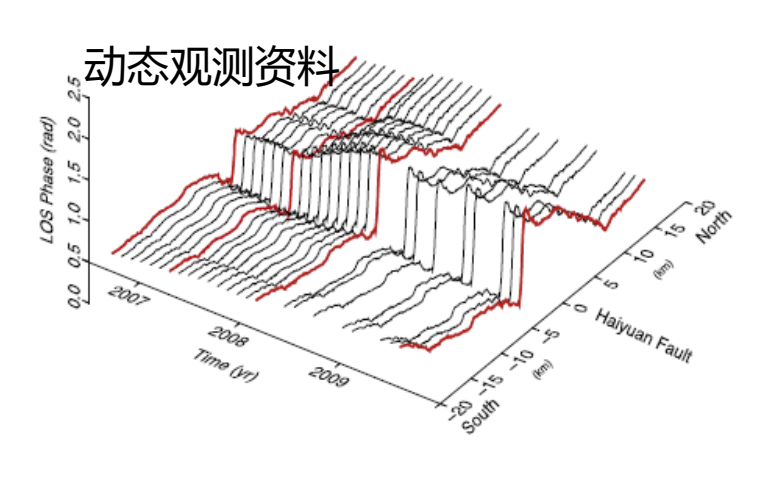


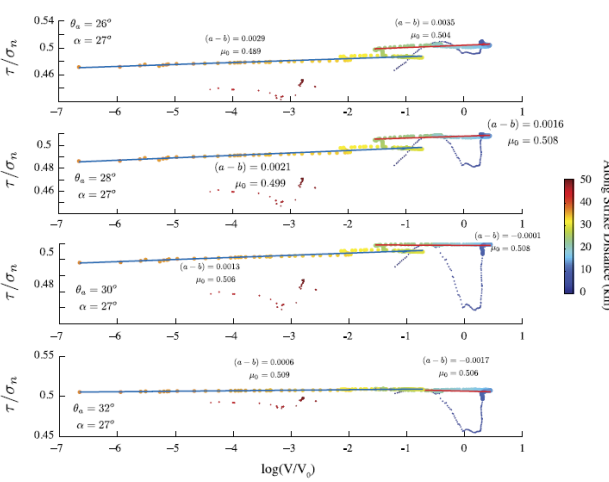


To Product Formats

断层摩擦等力学参数的确定





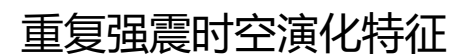


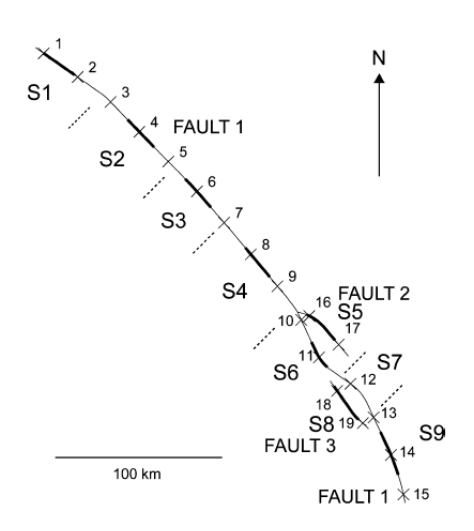
Jolivet et al.,2013

断层摩擦参数

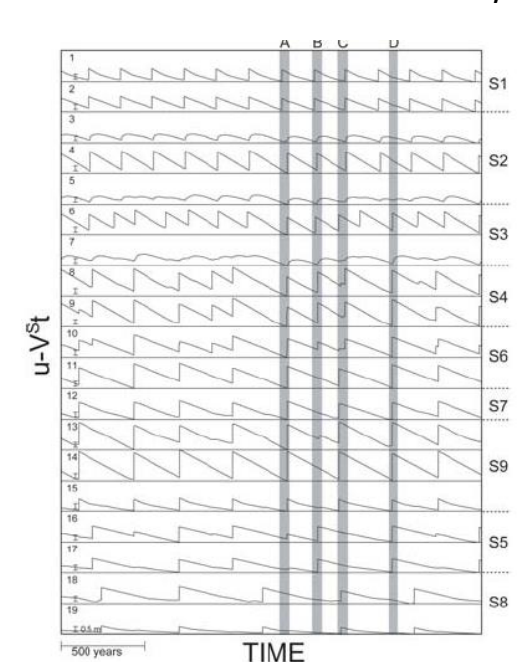
几何尺寸等比缩小原则

岩石试验

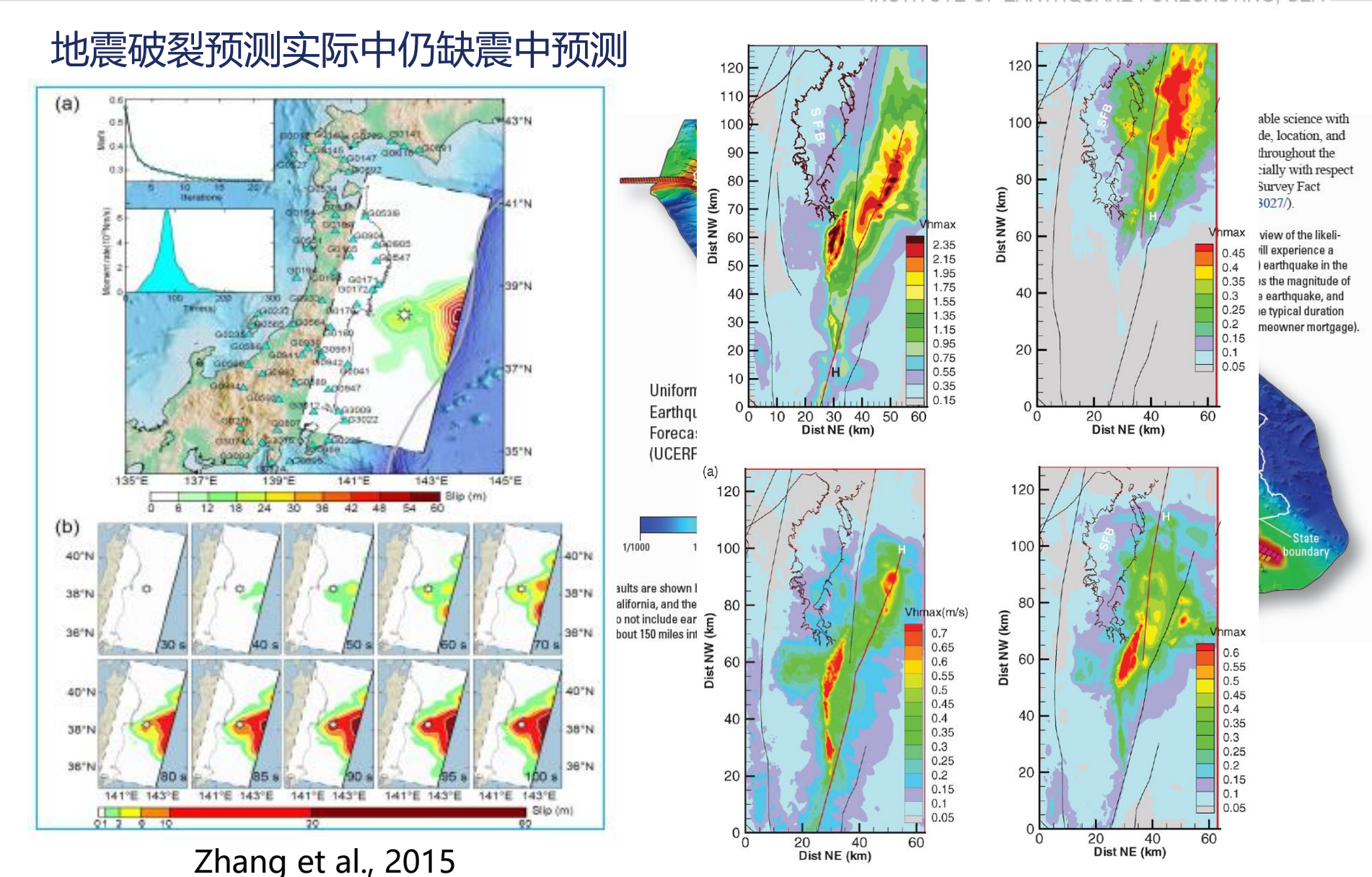




Kato et al.,2007



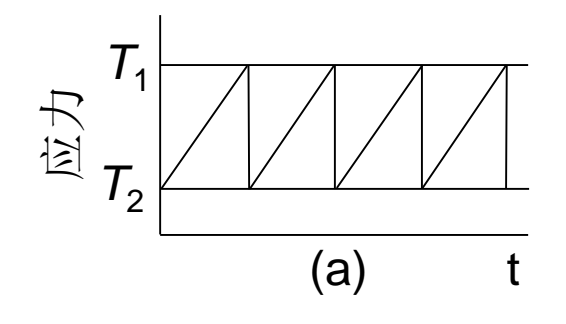




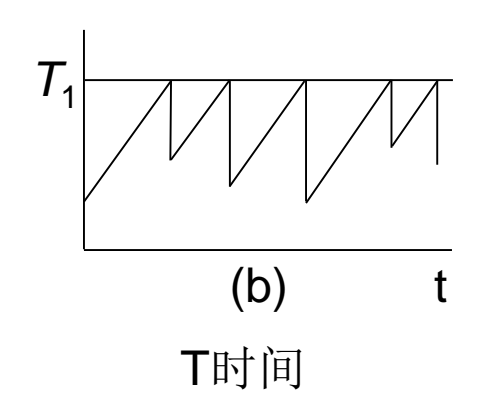
壳幔与断层的绝对应力确定

地震预测模型

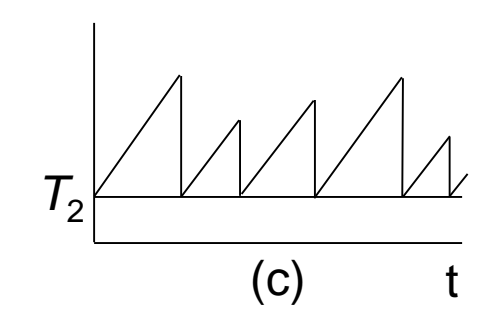
周期模型



时间可预测模型

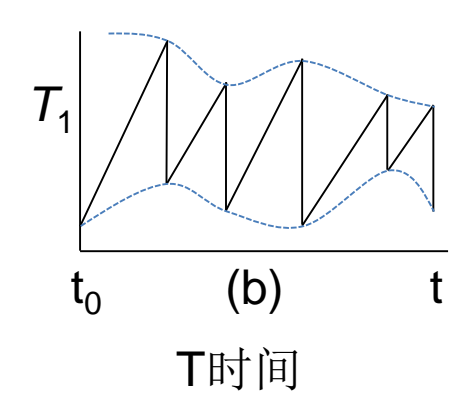


震级可预测模型



Shimazaki and Nakata, 1980

实际情况



If techniques were developed to probe not only stress buildup (as with geodesy) but also the spatial distribution of **absolute stresses**, we would be one **small step** away from being able to **estimate a time-dependent probability** based on **dynamic modeling**, opening the possibility for a weather forecasting approach to seismic hazard.



Jean-Philippe Avouac

Thank you!

中国地震局地震预测研究所

INSTITUTE OF EARTHQUAKE FORECASTING, CEA